

TMMOB ELEKTRİK MÜHENDİSLERİ ODASI

**Elektrik - Elektronik
Bilgisayar Mühendisliği
8. Ulusal Kongresi
6 -12 Eylül 1999**

 **Gaziantep**



TMMOB Elektrik Mühendisleri Odası
Gaziantep Şubesi

Gaziantep Üniversitesi
Elektrik-Elektronik Mühendisliği Bölümü

25. YIL

TÜBİTAK

Yayıncı:

Gaziantep İlinin Elektrik ve Elektronik Mühendislik Fakültesi
Elektrik-Elektronik Mühendisliği Bölümü
27310/GAZİANTEP

Elektrik Mühendisleri (Mas) Çarşı Şubesi

TÜBİTAK

ISBN 975 - 7375 - 211 - 7 (1C)

Yayın Hakkı © 1999, Gaziantep Üniversitesi, EMÖ, TÜBİTAK

Her hakkı mahfuzdur. Bu yayının hiç bir kısmı yayıncılardan Gaziantep Üniversitesi Mühendislik Fakültesi Elektrik - Elektronik Mühendisliği Bölümü, Elektrik Mühendisleri Odası Gaziantep Şubesi ve TÜBİTAK'ın yazılı izni alınmadan çoğaltılamaz ve hiç bir biçimde bir erişim sisteminde saklanamaz.

1. Basım : Eylül 1999
Uğur Ofset tarafından basılmıştır.
Telefax : (0 342) 220 34 02
GAZİANTEP

ÖNSÖZ

TMMOB Elektrik Mühendisleri Odası, Gaziantep Üniversitesi Mühendislik Fakültesi Elektrik-Elektronik Mühendisliği Bölümü ve TÜBİTAK'ın işbirliği ile düzenlenen Elektrik-Elektronik Bilgisayar Mühendisliği 8. Ulusal Kongresini bu yıl, ilk defa Güneydoğu Anadolu Bölgesinde; Gaziantep'te yapmaktan gurur ve mutluluk duyuyoruz. Kongre; 6-10 Eylül 1999 tarihleri arasında Gaziantep Büyükşehir Belediyesinin Belediye Sarayı'nda tarafımıza tahsis ettiği salonlarda 4 eş zamanlı oturum halinde gerçekleştirilecektir.

Kongreye gösterilen yoğun ilginin sonucu çok sayıda bildiri gönderilmesine karşın teknik programda yeterli sayıda zaman aralığı bulunmaması nedeniyle, hakemlerden gelen değerlendirmelerin ışığında, programa toplam 212 bildiri alınabilmektedir. Her ne kadar ön duyurumuzda kongrede sunumları kabul edilmiş ancak katılım ücreti ödenmemiş bildirimlerin Kongre Kitabı'nda yer almayacağını belirtmiş idiysek de Yürütme Kurulumuz bilimsel hedeflere öncelik tanıyarak, kongrede tartışılmayacak olsalar bile, kabul edilen tüm bildirimlerin Kongre Kitabı'nda yer almasını uygun bulmuştur. Kabul edilen bu 212 bildiri 2 cilt halinde sizlere sunulmaktadır. Kongrede tartışılacak, ilginizi çekeceğine inandığımız, bu bildirimleri doyurucu nitelikte bulacağımıza eminiz.

Kongre sırasında geniş bir katılımcı kitlesinin ilgisini çekeceğini umduğumuz iki konuda panel düzenlenmiş ve kongre içersinde çağrılı bildirimlere de yer verilmiştir. Ayrıca kongre salonlarının hemen yakınında, 2000m² kapalı alanda düzenlenen ve sektördeki firmaların katıldığı "Elektrobil'99" Fuarının da kongremize ayrı bir renk katacağı inancını taşıyoruz.

Kongremizin sponsor kuruluşlarına, Elektrobil'99 Fuarı'na katılarak kongremizi destekleyen özel ve kamu kuruluşlarının yetkililerine, panelistlere, kongreye çağrılı bildiri ile katılan değerli bilim adamlarımıza destek ve katkılarından dolayı teşekkür etmeyi borç biliyoruz

Kongreler, yapılan bilimsel çalışmaların ve üretilen teknolojik yeniliklerin daha geniş bilimsel kitlelerin hizmetine sunulduğu, tartışıldığı ve karşılıklı bilgi alışverişi yapıldığı ortamlardır. Bu yönüyle anılarınızda özel bir yer almasını dilediğimiz 8. Ulusal Kongre'nin, siz katılımcılar için başarılı ve doyurucu olmasını; ayrıca ülkemizin bilimsel ve teknolojik ilerlemesine yön vererek ve ivme kazandırarak amacına ulaşmasını diliyor, Yürütme Kurulumuz adına hepinize saygılarımızı sunuyorum.

Tuncay Ege
Yürütme Kurulu Başkanı

Elektrik-Elektronik-Bilgisayar Mühendisliği

8.Ulusal Kongresi

(6-12 Eylül 1999)

Kongre Yürütme Kurulu

Tuncay EGE
Muhammet KOKSAL
M. Sadettin ÖZYAZICI
Hamit SERBEST
Eyüp AKPINAR
Cemil ARIKAN
ArifNACAROĞLU
Gülay TOHUMOĞLU
Savaş UÇKUN
M. Hacim KAMOY
Serdar BOZKURT
H. Ali YİĞİT
M. Sıtkı ÇİĞDEM
Erol KARABAY
Doğan EYİKOÇAK
Mustafa KURT
Alaadin COŞKUN

Gaziantep Üniversitesi EE Müh. Böl.
İnönü Üniversitesi EE Müh. Böl.
Gaziantep Üniversitesi EE Müh. Böl.
Çukurova Üniversitesi EE Müh. Böl.
Dokuz Eylül Üniversitesi EE Müh. Böl.
TÜBİTAK
Gaziantep Üniversitesi EE Müh. Böl.
Gaziantep Üniversitesi EE Müh. Böl.
Gaziantep Üniversitesi EE Müh. Böl.
ASELSAN A.Ş. Genel Müdürü
SİMKO A.Ş.
E.M.O. Yönetim Kurulu Başkanı
E.M.O. Yönetim Kurulu Yazman Üyesi
E.M.O. Gaziantep Şb. Yön. Kur. Bşk.
E.M.O. Gaziantep Şb. Yön. Kurulu Bşk. Yrd.
E.M.O. Gaziantep Şb. Yön. Kurulu Yazman Üyesi
E.M.O. Gaziantep Şb. Yön. Kurulu Üyesi

Konular

- * Bilgisayar Ağları ve Donanımı
- * Devreler ve Sistemler
- * Elektrik Makinaları
- * Elektromagnetik Alanlar ve Mikrodalga tekniği
- * Elektronik
- * Enerji Üretim, İletim ve Dağıtım
- * Güç Eletronigi
- * Haberleşme Tekniği
- * Mekatronik ve Robotbilim

- * Optoelektronik
- * Otomatik Kontrol
- * Görüntü Tanıma, Sinyal İşleme, Görüntü Kodlama
- * Tıp Elektronigi
- * Tapay Sinir Ağları, Bulanık Mantık
- * Yüksek Gelirim Tekniği
- * Ölçme Tekniği
- * Mühendislik Eğitimi

YÜKSEK GRADYENTLİ MANYETİK ALANDA TUTULAN PARÇACIKLARIN MANYETİK ALINGANLIĞININ BELİRLENMESİ

Teymuraz ABBASOV, Saadetdin HERDEM, Arif MEMMEDOV

Elektrik-Elektronik Mühendisliği Bölümü

İnönü Üniversitesi 44069 Malatya

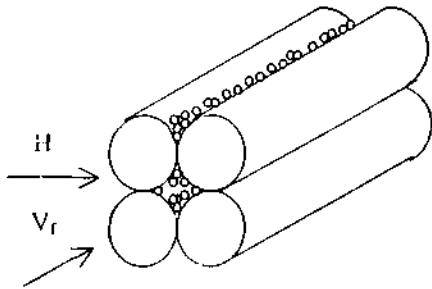
E-mail: sherdem@inonu.edu.tr, tabbasov@inonu.edu.tr, amemmedov@inonu.edu.tr

ABSTRACT

The average value of the magnetic susceptibility of the particles which are included in the real technological suspensions and captured by magnetic filters and separators is not known at the beginning. Therefore, the relationship between the filter performance of the magnetic filter and the intensity of the magnetic field in the filtration equation can not be assumed as correct. This problem can be solved by using the average expression for field gradient in the pores. The obtained results provide the determination of the technological parameters of the magnetic filtration and separation system.

1. GİRİŞ

Teknolojik sıvı ve gazların düşük konsantrasyonlu manyetik parçacıklardan temizlenmesi için kullanılan yeni ve etkin metotlardan biri de manyetik filtrasyon metodudur [1,2]. Manyetik filtrelerde süzme elemanı olarak dış homojen manyetik alanda mıknatıslanmış ferromanyetik cisimler (küre, çubuk, talaşlar, çelik ipler vs.) kullanılır. Mıknatıslanmış bu cisimler etrafında oluşan yüksek gradyentli alan bölgeleri (aktif bölgeler) manyetik parçacıkların kolaylıkla tutulmasına imkan sağlar. Eğer mıknatıslanmış cisimler birbirleriyle teğet durumundalarsa, o zaman aktif bölgeler teğet noktaları (veya çizgileri) etrafında oluşurlar. Manyetik filtre ve seperatörlerin süzme elemanları temel olarak ferromanyetik küre ve silindirik çubuklardan oluşturulurlar. Bu elemanların mıknatıslanmış çubuklardan oluşturulması durumu için sıvının taşıdığı parçacıkların gözeneklerde (aktif bölgelerde) tutularak toplanması olayının prensip şeması Şekil 1 'de verilmiştir.



Şekil 1. Mıknatıslanmış ferromanyetik çubuklardan oluşan gözeneklerde parçacıkların tutulması.

Bu tip manyetik filtrelerin performansı aşağıdaki bağıntıyla belirlenir [1,3]:

$$\frac{\psi}{\lambda} = 1 - \exp\left[-\alpha \chi H^f \delta^2 L / (\eta V_r d^3)\right]$$

Burada ψ filtre performansı, X sıvının taşıdığı karışımın içerdiği manyetik özellikli parçacıkların oranını gösteren katsayı, a sabit katsayı, x parçacıkların ortalama manyetik alinganlığı (susceptibility), H homojen dış alan şiddeti, L parçacıkların boyutu (çapı), L filtrenin uzunluğu, η sıvının dinamik viskozitesi, V_r sıvının filtrelenme hızı, d silindirik çubukların çapı, $f=0.5+1.5$ değerinde bir sabit katsayıdır.

Pratik açıdan $Dk \cdot l$ in kullanılması çok avantajlıdır. Çünkü bu denklem hem filtre performansının filtreleme sisteminin bütün parametrelerine (manyetik, hidrodinamik, geometrik) bağımlılığını ifade eder, hem de bu parametrelerin değerlerinin nasıl seçildiği durumunda daha yüksek performans elde edileceğinin incelenmesine imkan verir.

$Dk \cdot T$ in pratik uygulamalarında oluşabilecek dezavantaj, bu denklemin belirlenmesi çok kolay olmayan parametreleri, parçacığın boyutunu (S), ve manyetik alinganlığını (x) içermesidir. Bu dezavantajın $x \& ^{-2}$ değerlerinin örnek-deney yöntemi uygulanarak ortadan kaldırılması mümkündür. Fakat bu durumda da elde edilen sonuçlar pek anlamlı olmaz. Çünkü teknolojik sıvıların içerdikleri parçacıkların boyutları geniş bir spektrumda değişir, manyetik alinganlıkları (χ) ise manyetik alanın lokal değerlerine (h) bağımlıdır.

Manyetik filtreler ve seperatörlerde alanın lokal değeri çok büyük gradyente sahiptir. Yani değişkendir. Öte yandan x , manyetik filtrenin performansına etkiyen en önemli parametrelerden birisidir. Dolayısıyla bunun ortalama değerinin belirlenmesi manyetik filtrasyon-separasyon teorisi ve pratiğinin aktüel problemlerinden birisidir.

Bu bildiri de mıknatıslanmış ferromanyetik çubuklardan oluşturulmuş gözeneklerde tutulan parçacıkların ortalama manyetik alinganlığı belirlenmeye çalışılmıştır. Bu amaçla gözeneklerde oluşan yüksek gradyentli manyetik alan

şiddetinin ortalama değerinden yararlanılmıştır. Elde edilen sonuçlara göre manyetik filtrasyon denkleminin ifadesi daha da kesinleştirilmiştir.

2. YÜKSEK GRADYENTLİ MANYETİK ALANDA PARÇACIĞIN ALINGANLIĞININ BELİRLENMESİ

Manyetik filtrasyon ve sepasyon işlemlerinde reel çalışma durumunda temizlenen sıvı ve gazların içerdikleri karışımların manyetik alinganlığının ortalama değerinin belirlenmesi çok basit değildir. Çünkü gözeneklerde parçacığın yerleştiği bölgelerdeki lokal manyetik alan şiddeti (h), Dk. l'deki ifadede yer alan dış homojen alan şiddetinden (H) çok farklıdır (h>H). Gerçekte h'm değerleri direkt olarak dış homojen alan şiddetine bağımlıdır, fakat bu bağıntı nonüneerdir. Dolayısıyla parçacıkların manyetik alinganlığının belirlenebilmesi için öncelikle bu parçacıkların gözeneklerde yerleştikleri bölgelerdeki manyetik alan şiddetinin ortalama değeri <h>'ın belirlenmesi gerekir.

Gözenekli ortamlarda manyetik alan şiddetinin ifadesinin belirlenmesi matematiksel açıdan bazı zorluklar oluşturmaktadır. Çünkü bu alan şiddeti, genelde manyetik filtrasyon ve separasyon işlemleri için yaygın olarak kullanılan bir [4], iki [5] ve üç veya dört [6] silindirden oluşan ferromanyetik çubukların oluşturduğu alan şiddetinden farklıdır. Yazarlar tarafından gözenekli ortam sürekli bir manyetik devreymiş gibi göz önüne alınarak yapılan inceleme sonucunda, bu ortamlardaki silindirlerin teğet çizgilerine göre alan şiddetinin

$$h = \frac{\mu H}{[1 + r_s^2(\mu - 1)]^{0.5}} \quad (2)$$

şeklinde olduğu sonucu elde edilmiştir. Burada r=r/a, r teğet çizgilerinden parçacığa kadar olan uzaklık (polar koordinat), l silindirin manyetik geçirgenliği, a silindirin yarıçapıdır. Aktif bölgedeki manyetik alan şiddetinin ortalama değeri

$$\langle h \rangle = \frac{\mu H}{\sqrt{\mu - 1}} \ln(\sqrt{\mu - 1} + \sqrt{\mu}) \quad (3)$$

olarak belirlenir. Tek bir kat için ortalama manyetik geçirgenlik

$$\langle \mu \rangle = \frac{\mu}{\sqrt{\mu - 1}} \ln(\sqrt{\mu - 1} + \sqrt{\mu}) \quad (4)$$

şeklinde ve elemanlar tarafından zincir oluşturulmuş bir manyetik devre için

$$\langle \mu \rangle = \frac{1.5\mu}{\sqrt{\mu - 1}} \ln(\sqrt{\mu - 1} + \sqrt{\mu}) = \frac{\langle h \rangle}{H}$$

şeklinde olur [1].

Dk. 4'de yer alan H ve u değerleri birbiriyle bağıntılıdır. Bu bağıntı mknatıslanma eğrisine göre belirlenebilir. Manyetik filtre ve separatörlerde H'm geniş bir aralığı için (5-300 kA/m) bu parametreler arasındaki yaklaşık bağıntılar

$$\mu = 5.6 \times 10^5 / \bar{H}^{0.9}, \quad \mu - 1 = 10.5 \times 10^5 / \bar{H}^{0.96} \quad (5)$$

şeklinde [1]. Burada $\bar{H}=H/(l \text{ A/m})$ boyutsuz manyetik alan şiddetidir. Bu bağıntılar Dk. 4'te göz önüne alınarak gözeneklerdeki ortalama alan şiddeti için

$$\langle h \rangle = 546.34 \bar{H}^{0.58} \ln[748 \bar{H}^{-0.15} (1 + 1.37 \bar{H}^{-0.01})] \quad (6)$$

ifadesi elde edilir. Bu ifadeden yararlanarak manyetik filtrasyon için önemli olan $H=(30+100) \text{ kA/m}$ aralığında gözeneklerdeki ortalama manyetik alan şiddetinin değerleri hesaplanacak olursa, bu değerlerin $\langle h \rangle = 570 \sim 920 \text{ kA/m}$ civarlarında olduğu görülür. Parçacığın ortalama manyetik alinganlığı ise aşağıdaki gibi belirlenebilir [1]:

$$\chi = \chi' \langle h \rangle^{-0.8} \quad (7)$$

Burada χ' alinganlık katsayısı olup, magnetit ($\text{Fe}^{\cdot} \text{O}$) parçacıkları için $\chi' = 1.6 \times 10^4$ 'dür. O halde parçacığın manyetik alinganlığı

$$\begin{aligned} \chi &= \frac{1}{\langle h \rangle_s - \langle h \rangle_l} \int_{\langle h \rangle_l}^{\langle h \rangle_s} \frac{\chi'}{\langle h \rangle^{0.8}} d \langle h \rangle \\ &= \frac{5\chi'}{\langle h \rangle_s - \langle h \rangle_l} \left[\langle h \rangle_s^{0.2} - \langle h \rangle_l^{0.2} \right] \quad (8) \end{aligned}$$

ifadesiyle hesaplanır.

Yukarıdaki değerler göz önüne alınarak, yapılan hesaplama sonucu $\chi=0.33$ olarak belirlenir. Bu değer $\langle h \rangle = 720 \text{ kA/m}$ değerine karşılık gelir. Dolayısıyla Dk. 1'de manyetik alinganlığın yaklaşık sabit değeri olarak alan şiddetinin $700 \text{ H} - 720 \text{ kA/m}$ değerlerini karşılık gelen değerin alınması mümkündür.

Dk. 7'in pratik açıdan kullanılabilirliğini artırmak amacı ile manyetik alinganlığının (χ) değişken olduğu da varsayılabilir. Gerçekte de manyetik alinganlık zaten değişkendir. Bu durumda uygun bağıntıyı elde etmek için Dk. 7'den yararlanılabilir. Fakat o zaman da orta>a başka zorluklar çıkmaktadır. Bunlardan birisi. Dk. 1'de H'm derecesinin değişmesi (belirsiz olur), ikincisi ise denkleme önceden belirtmeyen $\langle h \rangle$ parametresinin dahil olmasıdır. Problemin çözümü yaklaşık yöntemle elde edildiğinden - h ve H arasındaki yaklaşık analitik bağıntı elde edilerek İm zorluklar ortadan kaldırılabilir. H'm 30-1100 kA/m aralığındaki değerleri için bu bağıntı

$$\langle h \rangle = 93 \bar{u} \bar{H}^{1.4} \quad (9)$$

şeklinde olur. O halde Dk. 7'deki bağıntıdan

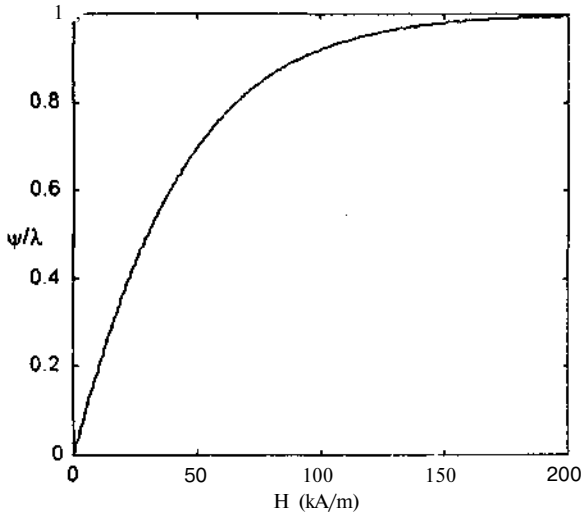
$$X = \frac{X'}{(1496H^{0.7})} \quad (10)$$

parçacığın ortalama manyetik alınganlığını elde edilebilir. Bu dönüşümün sonucu olarak Dk. 1'de H'in derecesinin değişimi problemi de çözülmüş olur. Başka bir deyişle, eğer Dk. 1'de parçacığın manyetik alınganlığı değişken olursa o zaman alan şiddetinin üssü de $f=(0.5-r1.5)+0.32 = 0.82^{-1.82}$ olur. Dolayısıyla yalnız bu durumda manyetik temizleme katsayısının alan şiddetine bağımlılığı daha doğru olur ve yalnız bu bağıntı $\psi/\lambda = cp(H)$ bağıntısının gerçek değişimini elde edilmesine imkan verir. Sonuçta manyetik filtrasyon denklemi

$$\frac{\psi}{\lambda} = 1 - \exp\left[-\alpha_1 \chi' H^{f+0.32} 8'L / (T, V, d^2)\right] \quad (11)$$

şeklini alır. Burada α_1 , katsayısı tabii ki Dk. 1'deki α katsayısından farklıdır.

Manyetik filtrenin performansının alan şiddetine bağımlılığı $d=5.7$ mm, $V_f=0.056$ m/s, $5=4$ μ m için Şekil 2'de gösterilmiştir. Burada alan şiddetinin değişik değerleri için parçacığın manyetik alınganlığının sabit kaldığı kabul edilmiştir. Şekilden görüldüğü gibi H'in yaklaşık olarak 70 kA/m'den büyük değerleri için manyetik filtrenin performansı yeteri kadar yüksektir (>0.8). Bu durum çok sayıda deney ile de kanıtlanmıştır [1-4].

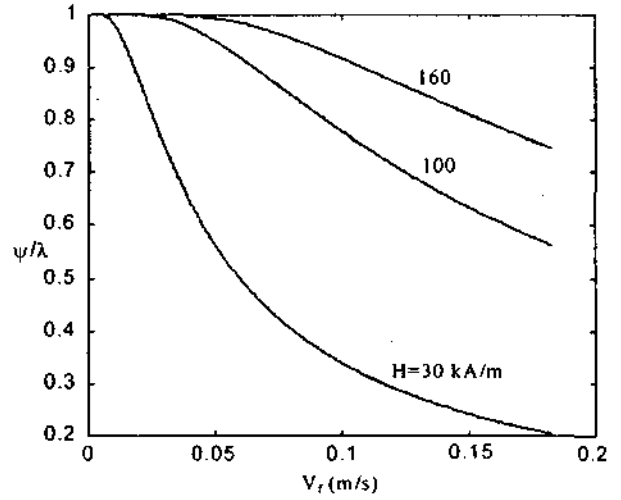


Şekil 2 Manyetik alan şiddetinin filtre performansına etkisi

Filtre performansının parçacıkları taşıyan sıvının akış hızına bağımlılığı Şekil 3'de verilmiştir. Şekilden görüldüğü gibi alan şiddetinin artırılması daha yüksek filtreleme hızlarına ulaşılmasına imkan sağlamaktadır.

Dk. 11 parçacığın alınganlığının değişimini de göz önüne alarak filtre performansının belirlenmesine imkan verir. Bu

durumda parçacığın alınganlığının önceden belirlenmesi gerekmez ve sadece homojen dış alan şiddetinin ölçülmesi yeterli olur. Teknik açıdan bu çok önemli bir sonuçtur.



Şekil 3 Manyetik filtrenin performansının parçacığı taşıyan sıvının akış hızına bağımlılığı.

3. SONUÇLAR

Manyetik filtrasyon ve separasyon işlemlerinde tutulan parçacıkların manyetik alınganlığının değişimi ile filtrasyon denkleminde manyetik alan şiddetinin etkisinin belirlenmesi zorlaşıyor. Bu zorlukları gözeneklerde alan şiddetinin ortalama değerinin hesaplanması ve tutulan parçacıkların bu alanda ortalama alınganlığının belirlenmesi ile aradan kaldırmak mümkün olur. Sonuçta elde edilen Dk. 11 filtrenin temizleme katsayısının manyetik alan şiddetine bağımlılığını daha hassasiyetle göstermektedir. Diğer taraftan bu yöntem tutulan parçacıkların manyetik alınganlığının önceden deneysel olarak belirlenmesi gibi yorucu hassasiyetli bir işlemin ortadan kaldırılmasına imkan vermektedir.

4. KAYNAKÇA

- [1] Sandulyak, AV., *Magnetic filtration of the liquids and gases*. Ximiya, Moscov. 1988.
- [2] Abbasov, T., Herdem, S., and Köksal, M., "Performance of High Gradient Magnetic Filters with Granular Matrix", *Separation Science and Technology*, vol. 34, no. 2, pp. 263-276, 1999.
- [3] Abbasov, T, Ceylan, K., "Estimation of the optimum fluid velocity in high gradient magnetic Filtration", *Separation Science and Technology* .vol. 33. no. 7, pp. 975-989. 1998.
- [4] Watson, J.H.P.. "Magnetic filtration". *J. Appl. Phys.* vol. 44, pp. 4209-4213. 1973.
- [5]. Chuhrov, A.Y., "On the motion of the particles around two parallel cylinders in the HGMS" (in Russian). *Magnitnaya Gidrodinamika*. vol. 4, pp. 43-47. 1984.
- [6] Simons, W.H., Treat, R.P., "Particle trajectories in a lattice of parallel magnetized fibers". *J. Appl. Phys* vol. 57, pp. 578-588. 1980.

MANYETİK ÖLÇÜMLERDE REFERANS NOKTALARI

Rauf MIRZABABAYEV ve Hüseyin KÖSE

Elektrik ve Elektronik Mühendisliği Bölümü

Gaziantep Üniversitesi

27310 Gaziantep

E-mail: mirza@gantep.edu.tr

ABSTRACT.

it has been shown that the Curie points used for the calibration processes in magnetic measurements are not uniquely defined, but are related to the time scale of the measuring method.

1.GİRİŞ

Herhangi bir ölçüm yapmadan önce ölçüm aletlerinin kalibrasyonu yapılmalıdır. Sıcaklık ölçümlerinde kesin iki ve üç faz değişimi sıcaklık noktaları kullanılır. Örneğin, buzun erime noktası ve suyun kaynama noktası genellikle çeşitli sıcaklık derecelerini oluşturmak için referans noktaları olarak kullanılır.

Maddelerin manyetik özelliklerinin ölçümlerinde manyetik faz değişim sıcaklıkları (Curie noktaları) kullanılır, ve genellikle faz değişimleri maddenin fiziksel özellikleri ile doğrudan bağlantılı fakat uygulanan ölçüm metoduna bağlı olmadığı farz edilir. Çeşitli metotlarla yapılan ölçümlerdeki Curie noktalarındaki farklılıklar elde edilen ölçümlerin istatistik ve sistematik hatalardan kaynaklandığı varsayılır. Bundan dolayı farklılıklar çok büyük olduğunda bu konuda ilgi çekici açıklamalar yapılmamıştır, ve bu durum pek araştırılmamıştır [1,2].

Çok hassas spektroskopik metotların uygulamaları ölçüm metotlarını bütün bu uygulamalara yeni bir bakış getirmeyi mümkün kılmıştır.

Bu çalışmanın amacı ölçüm metotlarından ölçeklendirme (scaling) teorisi ve Mossbauer spektroskopik oluşumuna bazı yeni yaklaşımlar uygulamaktır.

2.KRİTİK OLAYLAR

Ferromanyetik sistemler faz değişimini ve kritik olayları genellikle göstermekte kullanılan yardımcı olağanüstü

sistemlerin klasik örnekleridir, basit ferromagnetler lattislerin köşelerine yerleşen ve bunların komşuluklarında sabit bir şekilde durmaya eğilimli sistemler olduğu varsayılır. Dışarıdan manyetik etki olmayan yüksek sıcaklıklarda, termal iniş-çıkışlar spinleri sabit şekilde sıralanmak için eğilim gösterirler.ve manyetik bir sıralamaya sahip değildir. Ancak Curie sıcaklığının altında spinler arasında tüm sistem çapında büyük oranda dizilim oluşur.

2.1.Kritik Sistem Olarak Ferromagnetler

Ferromagnetlerin termodinamik özellikleri, magnetizasyon ve özel ısı olarak, Curie sıcaklığından ötede iyi davranışlıdır ve dışarıdan manyetik alan uygulandığında bütün sıcaklıklarda da durum böyledir. Ancak kritik noktada sonsuza yaklaşan değerde davranışı sabittir. Bundan dolayı kritik noktalar matematiksel olarak analitik olmayan noktalar, analitik sistemler dışında karakterize edilebilir.

Ölçeklendirme (scaling) teorisinden dolayı, kritik noktalarına yakın noktalarda sistemin davranışları sadece küçük sayıda genel karakteristiğine bağlı olmalıdır. Eğer düzenli benzer özellikleri ve parametreleri çeşitli sistemlerin kritik noktalarına yakın noktalarda sistemin davranışları sadece küçük sayıda genel karakteristiğine bağlı olmalıdır. Eğer düzenli benzer özellikleri ve parametreleri çeşitli sistemlerin kritik sistemlerin noktalarında bulunabilirse, aynı form her birine uygulanabilir, ve bir tanesi ile ilgili sonuçlar diğerleri genel bir bilgi verebilir.

Sabitleşmiş basit bir ferromagnet eşdeğer manyetik momentlerinin koleksiyonundan oluşur. Özel bir pozisvonda, fakat düzenli bir lattis oluşturma şartı yoktur. Her bir spin kendi etrafında serbest şekilde herhangi bir yöne döner fakat sıralı bir şekilde dizilim için komşu spinler arası değişimler vardır. Bu gibi bir sistemin önemli dış etkenleri sıcaklık (T) ve dış manyetik alan (H)'dir.

2.2 Ölçeklendirme Teorisi

Hiçbir dış etki olmayan ideal bir ferromagnette spinler kendi etrafında, $T=0K$ de, aynı yönde dönerler. Sistemdeki bu dizilimin derecesi dizilim parametresi olarak karakterize edilebilir $\langle a \rangle$. Burada a indirgenmiş manyetik momenttir. ($|CT| \leq 1$).

Ferromagnet termal enerjiye (kT) kadar ısıtıldığı zaman, bu enerji spin dalgasını ve spini döndürmeye ve $\langle a \rangle$ da düşüşe yol açmaya yeterlidir. Eğer sıcaklık yeteri kadar yüksek değilse spin dalgası ihmal edilebilir etkileşimlere sahiptir ve serbest ekzitasyonlar olarak ele alınabilir. Bu durum $T^{3/2}$ ye bağlı olduğu durumlarda, böyle sistemlerin magnetizasyonu için görülür. Sıcaklık arttığında ekzitasyonlar artar ve magnetin derecesinde hızlı bir düşüşe yol açar.

Kritik sıcaklık uygulandığında spin dalgaları yeteri kadar güçlü olur ki ekzitasyonlar artan bir oranda korelasyona (correlation) uğrar ve bu korelasyon uzunluğu olarak karakterize edilir, ve sıcaklığa bağlıdır;

$$\xi(T) = \xi_0 [(T-T_c)/T_c]^{-\nu} \quad (1)$$

burada, ξ_0 - korelasyon uzunluğunun genliği, ν - kritik üs' tür.

Korelasyon uzunluğu ekzitasyonlar için sonsuz olduğunda dizilim parametresi (a) kritik sıcaklık noktasında sıfır olur. [3]

Sıcaklık daha fazla arttırıldığında, termal korelasyon yeniden oluşur ve bu korelasyon uzunluğunda düşüşe sebep olur. Ancak $\langle a \rangle$ sıfır olarak kalırsa kritik sıcaklığın üzerinde makroskobik bir düzen olmaz.

Korelasyon uzunluğu oluştuğunda bütün atomların manyetik momentleri düzenli bir şekilde pozisyonları değişir. Davranışları bir bölgedeki manyetik mikrokristallerindeki gibidir.

3. MANYETİK ANİZOTROPI

Dış bir manyetik etki olmadan, büyük oranda manyetik olarak düzenlenmiş magnetizasyonun yönü basit yöndedir. Basit yön, spin sistemin düşük enerji yönleri olarak tanımlanmıştır ve enerji duvarı tarafından ayrılmıştır.

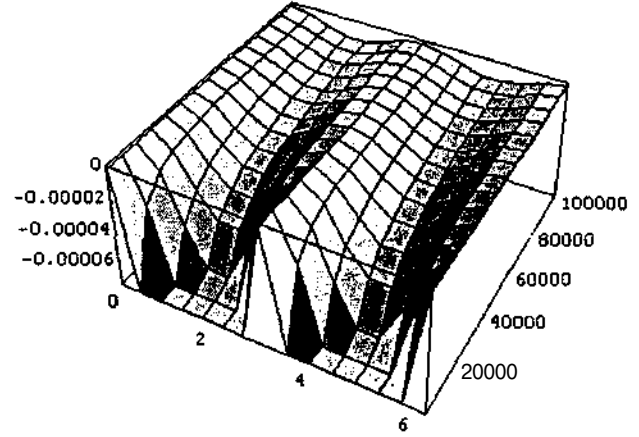
3.1 Küçük Manyetik Parçacıkların Enerji Duvarı

Magnetin büyüklüğü düşürüldüğü zaman termal enerji anizotropi enerjisiyle karşılaştırılabilir bir duruma gelir. Sonuç olarak manyetik olarak düzenlenmiş materyalin küçük parçacıklarında atomik spinin kendi etrafında dönüş yönleri bellidir fakat tüm spin sistemin enerjisi değişmeden boşlukta kendi etrafında döner. Manyetik anizotropi enerjisi aşağıdaki formülle verilmiştir. [4]

$$E(0) = KV \sin^2 \theta, \quad (2)$$

Burada, K - anizotropi enerji sabiti, V - parçacığın hacmi, θ - magnetizasyonun yönü ve basit yön arasındaki açı, olarak ifade edilmiştir.

Yukarıdaki formüle bağlı olarak $\theta = 0$ ve $\theta = \pi$ de KV ye eşit olan enerji duvarı ile ayrılmış iki enerji minimasi oluşur (Şekil 1).



Şekil 1. Manyetik parçacığın enerjisinin hacmine ve θ ya göre değişimini gösteren Mathematica 2.2 yardımıyla çizilmiş 3-Boyutlu grafik.

Dışarıdan simetri eksenini boyunca manyetik (H) bir etki olduğu zaman, ferromanyetik parçacığın enerjisi aşağıdaki gibi tanımlanmıştır.

$$E(\theta) = KV \sin^2 \theta - HM_s \cos \theta \quad (3)$$

$H < 2K/M_s$ için iki enerji minima, $\theta = 0$ ve $\theta = \pi$, fakat dışarıdan uygulanan daha büyük bir manyetik alan için $\theta = \pi$ deki minimum yok olur.

Küçük parçacıkların magnetizasyon vektörü ve basit yön ile arasında θ ve $d\theta$ kadar bir açı oluşur, bu açının oluşma olasılığı aşağıdaki formül ile tanımlanmıştır;

$$f(\theta)d\theta = \frac{\exp[-E(\theta)/kT] \sin \theta d\theta}{\int_0^\pi \exp[-E(\theta)/kT] \sin \theta d\theta} \quad (4)$$

Burada, k - Boltzman sabiti, T - Sıcaklık, olarak tanımlanmıştır.

KV , kT ile karşılaştırıldığında çok büyük olduğu zaman enerji minima dışında $f(\theta) \ll 0$ dir. Bundan dolayı magnetizasyonun sabit yönlü olduğu düşünülebilir. KV/kT in daha küçük değerlerinde $f(0)$ minima noktalarına yakın değerler alır. $KV/kT \leq 1$ için magnetizasyon hafifleme işleminin altında minimayı ayıran enerji duvarını yenen önemli bir olasılığa sahiptir.

Süperparamanyetik dinlenme (relaxation) zamanının sıcaklıkla değişimi aşağıdaki formülle ifade edilmiştir,

$$T = r_0 \exp(KV/kT) \quad (5)$$

T, 10^{10} s seviyesindedir.

3.2 Ölçülen Magnetizasyon

Ferromanyetik mikrokristalin magnetizasyonu, iniş-çıkış karakteristik zamanından uzun olan belli bir zaman etrafında ortalaanan değeri formül (4)' ü kullanarak bulunur.

$$\langle M \rangle = M_s \frac{\int_0^\pi \exp(-E(\theta) / kT) \sin^2 \theta d\theta}{\int_0^\pi \exp[-E(\theta) / kT] \sin \theta d\theta} \quad (6)$$

Uygulanan manyetik alanın etkisinin yanında, anizotropinin etkisi ihmal edildiği zaman, formül (6) aşağıdaki formüle indirgenir;

$$\langle M \rangle = M_s L(\mu H / kT) \quad (7)$$

burada $\mu = M_s V$: parçacığın manyetik momenti ve

$$L(\mu H / kT) = \coth(\mu H / kT) - kT / \mu H \quad (8)$$

klasik Langevin fonksiyonudur. Yüksek ve düşük manyetik alan limitinde $L(\mu H / kT)$ aşağıdaki gibi tanımlanır.

$$L(\mu H / kT) = \mu H / 3kT, \quad \mu H / kT \ll 1 \quad (9)$$

$$L(\mu H / kT) = 1 - (kT / \mu H), \quad \mu H / kT \gg 1$$

Dinlenme işleminin çalışmasını yaparken artma-azalma olayının zaman ölçeği, deneysel tekniğin zaman ölçeğine bağlı olduğu, ölçümün sonucunu gerçekleştirmek için önemlidir. Örnek olarak eğer dışarıdan uygulanan hiçbir manyetik alan yoksa, formül (6) ya bağlı olarak ortalama manyetik alan sıfırdır. Ancak, eğer süperparamanyetik dinlenme zamanı gözlemlene zamanı ile karşılaştırıldığında uzun ise, belli bir magnetizasyon değeri ölçülür. Eğer manyetik ekzitasyonun korelasyon zamanı gözlemlene zamanı ile karşılaştırıldığında kısa ise, ölçülen magnetizasyon aşağıdaki formül ile bulunur;

$$M(V, T) = M_s(T) \langle \cos \theta \rangle_T \quad (10)$$

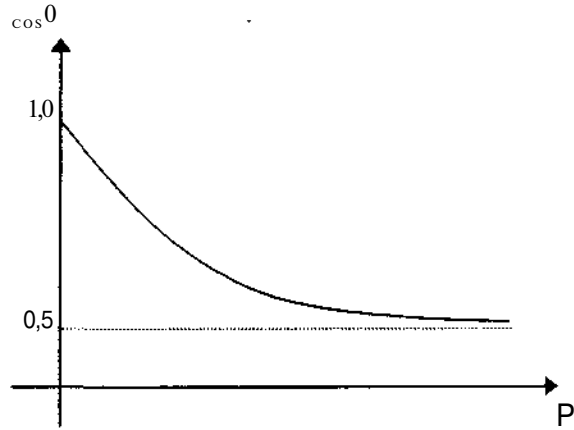
Burada $\langle \cos \theta \rangle_T$ minimumlarından birinin yakınındaki $\cos \theta$ nin termal ortalamasıdır. $kT/KV = P$ şeklinde ilişkilendirirsek,

$$\langle \cos \theta \rangle = \frac{\int_0^{\pi/2} \exp[(1/P) \sin^2 \theta] \cos \theta \sin \theta d\theta}{\int_0^{\pi/2} \exp[(1/P) \sin^2 \theta] \sin \theta d\theta} = \frac{(3^{1/2} \exp(1/3) - 1)}{2 \int_0^{P^{-1/2}} \exp(x^2) dx} \quad (11)$$

düşük sıcaklık limitinde ($KV/kT \gg 1$)

$$\langle \cos \theta \rangle_T \approx 1 - kT / 2KV \quad (12)$$

şeklinde olduğu bulunmuştur. Şekil 2 ölçülen magnetizasyonun değerinin düşüşünü gösteriyor.



Şekil 2. Ölçülen metodun zaman ölçeğinin ölçülen magnetizasyonun normalize edilmiş değerinin Microsoft Excel 8.0 yardımıyla çizilmiş grafiği,

Her ölçüm metodu kendisine has özel zaman ölçeği karakterize edilir ve ölçümün fiziksel kuralları tarafından tanımlanır. Manyetik olarak bölünmüş Mossbauer spektrinin gözlemi için zaman ölçeği yaklaşık olarak nükleer manyetik momentin Larmor dalgalanma zamanı T_L ile verilmiştir ($10^{-17} - 10^{-8}$ s). Manyetik ölçümler için yaygın olarak kullanılan susceptibility metodunda zaman ölçeği, saniye seviyesindedir,

Bu yüzden, Curie sıcaklığı tek başına tanımlanamaz fakat manyetik maddenin özelliklerinin çalışmalarında, deneysel tekniğin zaman ölçeğine bağlıdır. Bu ilk kez [5] de gözlemlenmiştir.

4- SONUÇ

Manyetik faz geçiş sıcaklıkları, maddelerin yalnızca gerçek özelliklerine bağlı değildir ayrıca dinlenme zamanı ve uygulanan ölçüm metodunun karakteristik zamanları arasındaki ilişkiyede bağlıdır. Manyetik materyal, iki farklı

metot ile ölçüldüğünde , genel olarak kabul edilmiş görüşten farklı olarak, gözlemlenen kritik noktalar birbirinden farklı olur.

5. KAYNAKÇA

- [1]. Long J.R., Mattozzi R.W., Journal of Applied Physics, 1984, v.55, N 6, p.2359.
- [2]. Kamzin A.S., Grigor'ev L.A., JETP Lett. ,vol. 57, N 9.
- [3]. Fisher M.E., Journal of Vacuum Science Technology, 1973, N5, p.665.
- [4]. Mörup S., Dumesic J.A., Topsoe H., Application of Mossbauer Spectroscopy, 1980, N.Y., Acad. Press., pp.1-53.
- [5]. Mirzababayev R.M., McGrath R.D., Walker J.C., Journal de Physique, 1979, v.40, N3,p.C2-216

MANYETİK ALAN ÖLÇÜMÜ İÇİN BİR YAKIN-ALAN PROBU TASARIMI

Özge ŞAHİN*

Haldun KARACA**

Elektrik ve Elektronik Bölümü

Dokuz Eylül Üniversitesi

35160 İzmir

E-maü*:ozge.sahin@eee.deu.edu.tr

E-mail**:haldun.karaca@eee.deu.edu.tr

ABSTRACT

in this paper, a near-field probe for magnetic field measurements is designed and implemented. The basic property of this probe is that its response over the frequency range of interest is flat and it does not require any probe performance factor correction. Basic equations related to the loop probe are derived. The equivalent circuit of the probe is analyzed and related values of the loop probe are calculated for further analysis.

1. GİRİŞ

Elektronik cihazların her alanda yaygın olarak kullanılması nedeniyle Elektromanyetik uyumluluk (EMU) kavramı gün geçtikçe daha çok önem kazanmaktadır. Günümüzde tasarımcılar, cihazın sadece laboratuvar koşullarında değil, aynı zamanda dış dünyada da diğer cihazlarla uyum halinde çalışabileceğinden emin olmak zorundadır. EMU ile ilgili bir takım uluslararası standartlar geliştirilmiştir. Bu standartların belirlediği sınırların aşılmaması için tasarım sırasında bazı ölçümlerin yapılması gerekir. Yakın alan problemleri bu aşamada cihazın uyumluluğu hakkında fikir vermesi açısından büyük önem taşır.

Bir elektromanyetik kaynağın çevresindeki alan iki temel bölgeye ayrılır. Yakın-alan ve uzak-alan. Kaynağın maksimum boyutu (D), dalga boyu (λ) ile karşılaştırıldığında çok küçük kalırsa yakın-alan ve uzak-alan arasındaki sınır $A. / 2\pi$ kadardır [1].

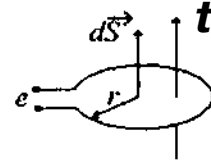
Bu iki bölge farklı ölçüm yöntemleri gerektirir. Uzak-alanda elektrik ve manyetik alan şiddetlerinin birbirine oranı sabittir ve yaklaşık olarak $Z = |E| / |H| = 377 \Omega$ 'a eşittir. Bu değer serbest uzay empedansı olarak bilinir. Yakın-alanda ise empedans, alanın karakteristiğine bağlı olarak değişir. Elektrik alan baskınsa empedans 377Ω 'dan büyük, manyetik alan baskınsa empedans 377Ω 'dan küçüktür. Bu nedenle, yakın-alanda elektrik ve manyetik alanların iki farklı prob kullanılarak ayrı ayrı ölçülmesi gerekir [2,3].

2. MANYETİK ALAN PROBU:

Prob, ilgili elektromanyetik büyüklüğü, terminal uçları arasında bir gerilim ya da akıma dönüştüren bir çeşit antendir. Yakın-alanda doğru ölçüm yapılabilmesi için probun kendisinin ortamdaki alanı bozması, alanı yerinde ölçebilmesi için yeterince küçük olması ve doğru ölçüm için yeterince büyük seviyede sinyal oluşturması gerekir. Manyetik alan ölçümünde genellikle küçük loop anten kullanılır [4,5].

Çeşitli manyetik alan problemleri bulunmakla birlikte bunların büyük bir çoğunluğu için frekansa göre değişen Prob Performans Faktörü (PF) söz konusudur. Performans Faktörü, prob yüzeyinde varolan alanın, probun uçları arasındaki gerilime oranı olarak tanımlanır [6]. Prob performans faktörü, ölçüm yapılan her frekans için hesaba katılmak zorundadır.

EMU testlerinde yaygın olarak kullanılan manyetik alan problemleri, Faraday endüksiyon kuralına göre çalışır: Tek çevrimli bir loop probun çıkış gerilimi, looptan geçen manyetik akının zamana göre değişimi ile orantılıdır [7].



Şekil 1. Temel loop prob yapısı

O toplam manyetik akı olmak üzere N sarımlı bir loop anten uçlarındaki gerilim;

$$e = -Af \frac{d\Phi}{dt} \quad (D)$$

olarak yazılabilir. Toplam manyetik akı;

$$\Phi = \int_S \vec{B} \cdot d\vec{S} \quad (2)$$

şeklinde ifade edilir. Eşitlik (2), eşitlik (1)'de yerleştirilirse;

$$e = -N \int \frac{d\vec{B}}{dt} \cdot d\vec{S} \quad (3)$$

Manyetik akı yoğunluğu S yüzeyi Özerinde eş dağılım gösteriyorsa;

$$e = -N.S \cdot \frac{dB}{dt} \quad (4)$$

ifadesi elde edilir. Manyetik akı yoğunluğu;

$$B = B_0 \cdot \cos(\omega t) \quad (5)$$

şeklinde yazılabilir. Bu durumda çıkış genliği;

$$e = -N.S \cdot \omega \cdot B_0 \cdot \sin(\omega t) \quad (6)$$

olarak elde edilir. Manyetik akı yoğunluğu;

$$B_0 = \mu_0 \mu_r \cdot H \quad (7)$$

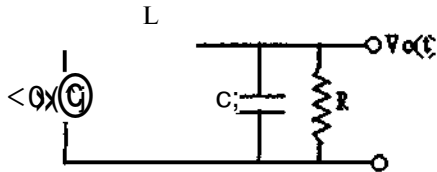
eşitliğinden çıkış gerilimi;

$$e = -N.S \cdot \omega \cdot \mu_0 \mu_r \cdot I_0 \cdot \sin(\omega t) \quad (8)$$

olarak elde edilir. Eşitlik (8)'de görüldüğü gibi, loop antenin frekans cevabı frekansla doğrudan orantılıdır. Bu çalışmada loop antenin frekans cevabını, çalışılan frekans aralığında sabit tutmak için yeni bir yöntem tanıtılmış ve özgün olarak gerçekleştirilmiştir[8].

3. MANYETİK ALAN ÖLÇÜM PROBU

Loop antenin frekans cevabını istenen frekans aralığında sabit duruma getirmek için düşük değerli bir direnç yük olarak kullanılmıştır. Loop antenin eşdeğer devresi Şekil 2'de gösterilmiştir.



Şekil 2. Loop antenin eşdeğer devresi

Bu devrede e(t) endüklenen gerilim, L loop endüktansı, C loop kapasitesi, R yük direnci, V(t) yük direnci üzerindeki gerilimi belirtir. Devrenin s-domeninde analizi aşağıdaki şekilde gerçekleştirilmiştir:

$$V_o(s) = E(s) \cdot \frac{1}{s^2 + \frac{1}{RC}s + \frac{1}{LC}} \quad (10)$$

$$s_1 = -\frac{1}{2RC} + \sqrt{\left(\frac{1}{2RC}\right)^2 - \frac{1}{LC}} \quad (11-a)$$

$$s_2 = -\frac{1}{2RC} - \sqrt{\left(\frac{1}{2RC}\right)^2 - \frac{1}{LC}} \quad (12-a)$$

x < 1 değerleri için;

$$\sqrt{1-x} \approx 1 - \frac{x}{2}$$

$$s_1 \approx -\frac{1}{RC} \quad (11-b)$$

R direncinin yeterince küçük değerleri için;

$$s_2 \approx -\frac{1}{LC} \quad (12-b)$$

yazılabilir. Bu durumda (10) no'lu eşitlik;

$$V_o(s) = E(s) \cdot \frac{1}{\left(s + \frac{1}{RC}\right) \left(s + \frac{1}{LC}\right)} \quad (13)$$

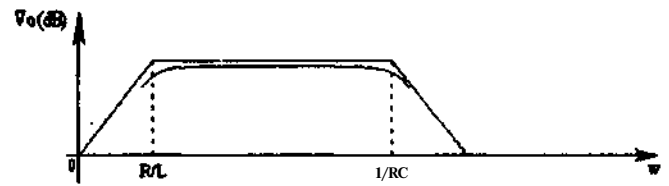
haline gelir. (6) no'lu eşitlik aşağıdaki şekilde yazılabilir:

$$E(s) = -N.S.B(s) \cdot s \quad (14)$$

(14) no'lu eşitliği, (13) no'lu eşitlikte yerine koyarsak;

$$V_o(s) = -\frac{N.S.B(s)}{LC} \cdot \frac{s}{\left(s + \frac{1}{RC}\right) \left(s + \frac{1}{LC}\right)} \quad (15)$$

elde edilir.

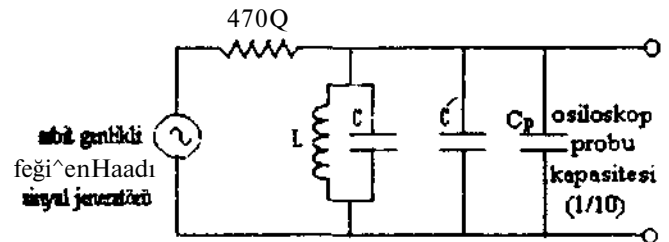


Şekil 3. Çıkış geriliminin frekansa bağlı değişimi

R/L < 1/RC değerleri için çıkış gerilimi sabittir ve manyetik akı yoğunluğu, buna bağlı olarak da manyetik alan şiddeti ile orantılıdır,

Çalışmamızda gerçekleştirilen loop prob 15 sarımlı, 6.5cm çaplıdır ve 1.08mm çaplı telden sarılmıştır.

Loop probun endüktans ve kapasite değerlerini hesaplamak için Şekil 4'teki devre kullanılmıştır.



Şekil 4. L ve C hesaplamaları için ölçüm düzeneği

Sinyal jeneratöründen değişken frekanslı, sabit genlikli bir işaret loop probun uçları arasına seri bir direnç üzerinden uygulanmıştır. Cp ile gösterilen osiloskop probu kapasitesi katalogdan 1/10 kademesi için 15pF olarak bulunmuştur. Daha sonra 22pF değerinde C' kapasitesi devreye bağlanmış ve rezonans frekansı 4.7MHz olarak kaydedilmiştir.

$$f_0 = \frac{1}{2\pi\sqrt{LC}} \quad (16)$$

Yukarıdaki eşitlik kullanılarak loop probun endüktans ve kapasite değerleri;

$$L \cong 20\mu H$$

$$C \cong 3pF$$

olarak hesaplanmıştır. Hesaplanan değerlerin doğruluğunu kontrol etmek amacıyla Şekil 4'teki C kapasitesinin değeri 100pF olarak değiştirilmiş ve rezonans frekansı 3.3MHz olarak ölçülmüştür.

$$f_0 = \frac{1}{2\pi\sqrt{20 \times 10^{-6} \cdot 118 \cdot 10^{-12}}} \cong 3.3 \text{ MHz}$$

Rezonans frekansı için ölçülen ve hesaplanan değerler birbiriyle uyumludur. Bu da, hesaplanan endüktans ve kapasite değerlerinin doğru olduğunu gösterir.

Şekil 2'deki devreye 12fi'luk yük direnci bağlandığında eşitlik (11-b)'den alt-kesim frekansı;

$$f_{\text{alt}} = \frac{R}{2\pi L} \cong 95 \text{ kHz}$$

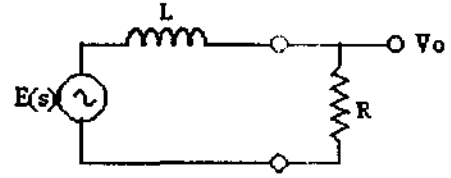
Eşitlik (12-b)'den üst-kesim frekansı;

$$f_{\text{üst}} = \frac{1}{2\pi RC} \cong 1.1 \text{ MHz}$$

olarak hesaplanır. Üst kesim frekans çok yüksek görünebilir. Fakat frekans arttıkça dalga boyu azalır ve loop probun toplam tel uzunluğu dalga boyu ile karşılaştırılabilir duruma geldiğinde endüktans değeri artarak üst kesim frekansının düşmesine neden olur.

Bizim ilgilendiğimiz çalışma frekansı 200KHz ile 30MHz aralığındadır. Bu durumda üst kesim frekansı, ölçümler için önemli bir kısıtlama getirmeyecektir. Buradaki önemli nokta, çalışma frekans aralığımızda V_0 karakteristiğinin sabit ve ölçmek istediğimiz manyetik alan değerleri ile doğrudan orantılı olmasıdır.

Loop probun kapasitesi, ancak çok yüksek frekanslarda etkili olduğundan çalışma frekans aralığımız için ihmal edilebilir. Bu durumda yük direnci bağlı iken probun eşdeğer devresi Şekil-5 de görüldüğü gibi olur.



Şekil 5. C ihmal edildiğinde, loop probun eşdeğer devresi

Çıkış gerilimi için daha önce yazılan eşitlikler basitleştirilerek;

$$V(s) = E(s) \frac{R}{sL + R} \quad (17)$$

şekline gelir. Eşitlik (14), eşitlik (17)'ye yerine koyulursa;

$$V_0(s) = -N.S.B.s \frac{\frac{R}{L}}{s + \frac{R}{L}} \quad (18)$$

elde edilir. Frekansın R/L den çok büyük değerleri için ;

$$V_0 \cong -N.S.B.j \quad (19)$$

$$\left| \frac{B}{V_0} \right| = \frac{L}{N.S.R} \quad (20)$$

Eşitlik (7), eşitlik (20)'de yerleştirilirse,

$$\left| \frac{H}{V_0} \right| = \frac{L}{\mu_0 N.S.R} \quad (21)$$

bağıntısı elde edilir. Görüldüğü gibi manyetik alan ile çıkış gerilimi arasındaki ilişki, frekans bağımsız hale gelmiştir. Bu da, ilgili frekans aralığında herhangi bir prob performans faktörü hesabına gerek duyulmayacağını gösterir. Bu çalışmada gerçek bir prob için manyetik alan ile çıkış gerilimi arasındaki ilişki;

$$\left| \frac{H}{V_0} \right| = \frac{20 \cdot 10^{-6}}{4\pi \cdot 10^{-7} \cdot 15 \cdot (6.5/2) \cdot 10^{-2} \cdot 12} = 26,6$$

olarak hesaplanmıştır.

4. SONUÇLAR

Yukarıda bahsedilen açıklamalar, eşitlikler ve hesaplamalar, gerçekleştirilen loop prob ile manyetik alan şiddeti veya manyetik akı yuvarlaklığının sıradan bir osiloskop ile gözlenebileceğini göstermektedir. Bu yöntem ile bilinen loop problemlerine kıyasla bağımsız olarak değişen prob performans faktörü elde edilmiş ve ilgili frekans aralığında sabit bir çıkış gerilimi elde edilmiştir. Çıkış gerilimi ile manyetik alan arasındaki ilişki de türetilmiştir. Bu tür problemler için maliyeti düşük ve uygulaması kolaydır. İstenen frekans aralığı için farklı yük direnci kullanılabilir veya loop probun yapısı değiştirilebilir.

5. KAYNAKÇA

- [1] Balanis, C. A. *Antenna Theory Analysis and Design*. John Wiley & Sons. 1997.
- [2]. Ott, H. W. *Noise Reduction Techniques in Electronic Systems*. John Wiley & Sons. 1988.
- [3] *Model 7405 Near-Filed Probe Set User's Manual*. EMCO, 1991.
- [4] Yordanov, B. & Doughty, K. "Near Filed Probes for EMC Applications", *EMC Test & Design*, May 1994, p 18-26.
- [5] Carsten, B. "Sniffer Probe Locates Sources of EMI", *EDN Access*, June 1998.
- [6] Paul, C. R. *Introduction to Electromagnetic Compatibility*. John Wiley & Sons. 1992.
- [7] Kraus, J. D. *Electromagnetics*. McGraw-Hill. 1991.
- [8] Kanda, M., "Standard Probes for Electromagnetic Filed Measurements", *IEEE Transactions on Antennas and Propagation*, vol. 41, no. 10, pp.1349-1364, Oct. 1993.

GENİŞ BANDLI DÜZLEMSEL ANTEN TASARIMI

Ahmet Serdar TÜRK^(1,2), Demet Sevil ARMAĞAN, Veysi ÖZTÜRK⁽¹⁾

1)TÜBİTAK Marmara Araştırma Merkezi (MAM)

Bilişim Teknolojileri Araştırma Enstitüsü 41470 Gebze/KOCAELİ

e-mail: ahmet@mam.gov.tr, demet@mam.gov.tr

2)Gebze Yüksek Teknoloji Enstitüsü (GYTE)

Elektronik Müh. Böl. Çayırova Yolu, PK141 41400 Gebze/KOCAELİ

e-mail: ahmet@penta.gyte.edu.tr

ABSTRACT

in this paper, it was studied on designing of planar antenna for GPR(Ground Penetrating Radar) that is especially used to detect buried objects under ground. This antenna can be designed as different types considering some electrical and physical limitations and portability. AH antenna types and their prototypes, which are designed on basis of some theoretical approaches, have been physically established and measured with HP85301B antenna measurement system. Typical characteristics such as frequency, bandwidth, gain, polarization and radiation pattern for air and soil medium have been obtained and analyzed.

1. GİRİŞ

Yeraltını incelemek için kullanılan GPR sistemi, kullanılacak anten tipinin tasarımına önemli derecede sınırlamalar getirir. İnceleme ortamının kayıplı olması ve çoğu kez izotropik karakteristik göstermemesi frekansa bağlı bir zayıflama etkisi yapmasına neden olur ve ortam alçak geçiren filtre gibi davranır. Bu yüzden çok yüksek frekanslarda yapılan tasarım toprak zayıflaması dolayısıyla verimli çalışmaz. GPR sistemi için yüksek çözünürlük istenmesi sebebiyle antenin frekans bandı çok geniş, faz cevabı ise doğrusal olmalıdır. Dolayısıyla uygulamalarda menzile ve çözünürlüğe bağlı olarak 10MHz-5GHz arasında bir band alınır. Bandın çok geniş olması ve özellikle alçak frekanslara yakın olması durumunda anten tasarımı zorlaştığından ve fiziksel boyutu büyüdüğünden bazen elektriksel boyu küçük antenler (Hertz dipolü vs.) tercih edilir. Ancak bu tip antenlerin kazançları düşük, huzmeleri geniştir[4].

Anten tipinin seçiminde dikkat edilmesi gereken ana hususlar şunlardır:

- Geniş frekans band cevabı
- Düşük yan lob seviyesi
- Alıcı ve verici anten arasında düşük kuplaj
- Yüksek anten kazancı ve uygun polarizasyon
- Band boyunca sabit ışıma gecikmesi (darbeli sistemler)

Bu çalışmada Bölüm 2'de sisteme uygun anten tiplerinden bahsedilecek ve genel davranışları anlatılacaktır. Bölüm 3'de tasarlanan anten konfigürasyonlarının geometrileri boyutları ile verilecek, bölüm 4'de ise ölçüm düzeneği blok şeması çizilerek kısaca anlatılacaktır. Son bölümde de elde edilen grafiklerden bazıları verilerek suretiyle genel bir

değerlendirme yapılacaktır.

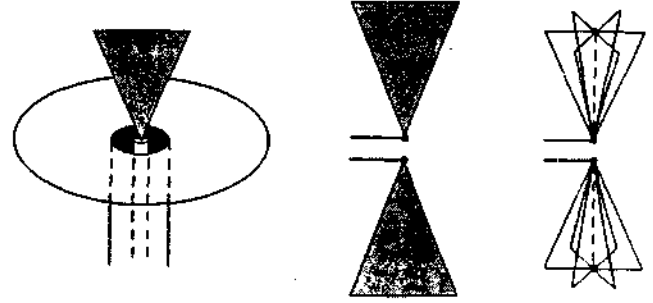
2. UYGUN ANTEN TİPLERİ

GPR sistemi için yapılan incelemelerde özellikle iki tür düzlemsel antenin frekans ve boyut bakımından elverişli olduğu görülmüştür. Bunlar bow-tie ve spiral antenlerdir. Aşağıda bu antenlere ilişkin ayrıntılı bilgi verilmektedir.

2.1 Bow-tie Anten

Darbe iletiminde önerilen geniş bantlı bir anten türüdür[1]. Şekil 1'deki gibi üçgen, daire vs. şeklinde kesilmiş metalik tabaka veya (benzer karakteristik veren) bükülmüş tel şeklindedir. Yapılan araştırmalar, bow-tie antenin silindirik dipole nazaran geniş ancak konik antene göre dar bantlı olduğunu göstermiştir.

Konik antenler (özellikle bikonikal) geniş bantda VHF+UHF bölgesinde yıllardır kullanılan standart bir çeşittir. Buna karşın bu antenler kaba ve ağır yapısı dolayısıyla pratik değildirler. Bu yüzden geometrik açıdan benzer yapıda olan ve iyi bir yaklaşıklık olarak kabul edilebilen Bow-tie anteni tercih edilebilir [3].



Şekil 1. (a) Üçgen tabaka (b) Bow-tie (c) Bikonikal antenin tel simülasyonu.

Moment metodu gibi sayısal hesaplamalar neticesinde çizilen grafiklere göre empedans değişimi açısından Bow-tie anteni geniş band karakteristiği göstermemektedir [2], Çünkü empedans band boyunca oldukça dalgalı bir karakteristik çizmektedir. Değişik bükülü tel yapılarıyla Bow-tie anteni özellikle bikonikal antene benzetmek mümkün olabilmektedir. İncelemeler Bow-tie antenin tabaka yerine onu çevreleyen tel şeklinde tasarlanmasının karakteristiğini fazla etkilemeyeceğini göstermiştir. Bikonikal antene benzetmek (Şekil 1.c) karakteristiği biraz

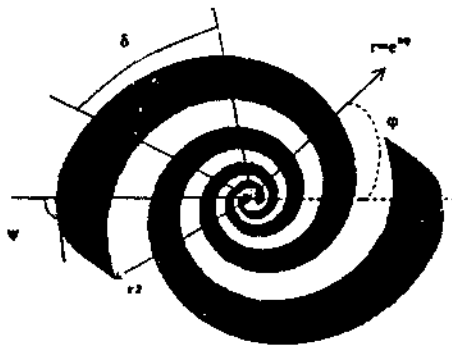
daha iyileştirmesine karşın fiziksel dayanıklılığı ve boyutu olumsuz etkiler.

Bow-tie anten genellikle metalik tabaka olarak yapılır. Ancak bu yapının kenar süreksizliğinin fazla olması sebebiyle verimliliği düşük, yansıması yüksektir. Dolayısıyla darbe düzgün olarak iletilemez. Bu yüzden rezistif yüklemeye veya geometrik yapının (özellikle kenarlarda) düzgünleştirilmesi gibi birtakım iyileştirmeler yapılır. Bu şekilde zaman domeninde antenden yansıma en aza indirilmeye çalışılır. Yapılan bazı incelemeler rezistif yüklemenin bu sorunu azalttığı ve özellikle yüzeyin normal yönünde darbe iletiminin düzgünleştiğini göstermektedir [1]. Ayrıca koaksiyel kablo girişinde kapasitif bir etkinin eklenmesi yansımanın azalmasını sağlamaktadır. Bu iyileştirme verimliliği %47'den %59'a çıkarabilmektedir. Yapılan araştırmalar Bow-tie antenin ışınma karakteristiğinin genel olarak dipole (özellikle silindirik dipole) benzer olduğunu göstermektedir. Bu yapı pratikte GPR sistemlerinde de sıklıkla kullanılır. Örneğin 35cm-60°'lik bir Bow-tie anten 0.5-1GHz civarında 10-sT likbanddakiyi bir performansa sahiptir. Birtakım rezistif yüklemeler ve iyileştirmelerle başarıyı arttırmak mümkündür. Bandı arttırmak için dielektrik kaplama yapılabilir. Ancak bir miktar iletkenliği olan kayıplı malzeme kullanılırsa verim belli ölçüde düşer.

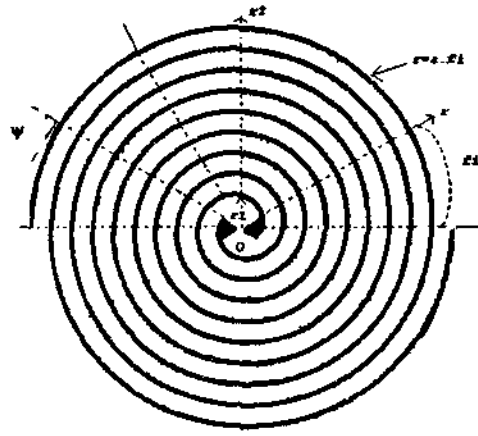
3.2. Spiral Antenler

Frekanstan bağımsız (pratikte çok geniş bantlı) anten tasarımında temel ilke açılal düşünce tarzıdır. Çünkü bantı sınırlayan elken, frekansa karşılık gelen dalga boyu mertebesinde boyutu olan bir antene ihtiyaç duyulmasıdır. özellikle düşük frekanslarda çok büyük uzunlukta antenler gerekebilir. Aksi takdirde verim oldukça düşer (örneğin Hertz dipolü) ve anten karakteristiklerinin frekansa bağımlılığı artar.

Spiral türü antenlerde uzun kollar açılal kıvrımlarla bükülmek suretiyle daha dar bir alana sığdırılabilir ve küçük boyutta daha yüksek bant genişliği elde edilebilir. Kıvrımlar ne kadar dar aralıklarla yerleştirilirse, o derece boyut kazancı sağlanır. Bu sayede silindirik, konikal veya bow-tie türü antenlere göre fiziksel avantaj söz konusu olabilmektedir. Spiral antenler düzlemsel, konik, slot, boşluk rezonatörlü, tek-çok kollu vs. şekilde tasarlanabilir.



Şekil 2.a Çift kollu logspiral ve parametrisasyonu



Şekil 2.b Çift kollu Arşimet spirali ve parametrisasyonu

Düzlemsel spiral antende alt sınır frekansını belirleyen etken toplam kol uzunluğunun dalga boyu mertebesinde olmasıdır. Üst kesim frekansını ise merkez dairesinin yarıçapı belirler. Kolları metalik tabaka olarak ele alınırsa anten tamamen bir spiral plaka veya slot yapıya dönüşür. Antenin iki kolu varsa sistem dengeli olur. Dengeli yapı sayesinde eksenel yönde düzgün bir ışınma elde edilir. Dengeli slot, plakaya nazaran daha kolay besleme ve uyumluluk yapabileme avantajlarına sahiptir [2].

Düğüün bir radyasyon paterni için spiral kol sargısı 0.5-3 tur arası olabilir. Yine toplam kol uzunluğu en büyük dalga boyu mertebesinde olmalıdır. Işınma diyagramı çift yönlü, tek loblu ve düzleme diktir. Ana lob civarında dairesel polarizasyonludur. Huzme genişliği genelde 60° civarında olup frekansa ve yapıya göre 10° seviyelerine düşebilmektedir. Simetrik yapılarda patem de simetriktir. Dengesiz besleme varsa simetriyi sağlamak için araya balun (dengeli-dengesiz dönüştürücü) konur. Balun tasarlanırken, empedans uyumluluğu da sağlanmalıdır.

Spiral anten boyunun dalga boyundan çok küçük olduğu düşük frekanslarda dipol gibi lineer polarizasyon karakteristiği gösterir. Frekans arttıkça kol boyu dalga boyu mertebesine yaklaşır ve dalga dairesel polarizasyona doğru yönelir. 10-4'l' lik bantda dairesel çok yakın bir eliptik polarizasyon elde etmek mümkündür. Kol sayısı arttıkça da eliptik polarizasyon dairesel doğru yaklaşır.

Dengeli spiral antenin giriş empedansı frekans arttıkça hızla değişir. Kol uzunluğu dalga boyu mertebelerine ulaşınca değişim azalır ve sabit bir değere yaklaşır. Işınma verimi de %98'lere kadar çıkabilmektedir. Ancak anten boyu küçüldüğünde verim hızla düşer. Besleme noktasının boyutları üst kesim frekansıyla birlikte empedansı da etkilemektedir. Anten empedansı genelde koaksiyel kablo karakteristik empedansından daha büyüktür. Deneysel çalışmalar kol kalınlığının çok küçük olması durumunda empedansın da düşeceğini göstermiştir.

Düzlemsel spiraller genelde Arşimet ve logperiyodik (veya eşaçılı) olmak üzere iki türdür (Şekil 2). Bu iki antenin band genişlikleri benzerdir. Arşimet spiralinin logspiralde farkı kollarının arasında sabit bir boşluk olmasıdır. Logspiralde ise bu boşluk sabit değil açıya bağlıdır. Dolayısıyla teorik açıdan frekanstan bağımsız

olarak değerlendirilemez. Ancak pratikte böyle birşey söz konusu değildir. Arşimed spiralinde alt kesim frekansı civarında ısınan sinyalin daireselliği daha iyi kontrol edilebilir. Alt kesim frekansını düşürmek için kollar arasında rezistif yükleme yapılabilir.

3. TASARLANAN ANTEN ÇEŞİTLERİ

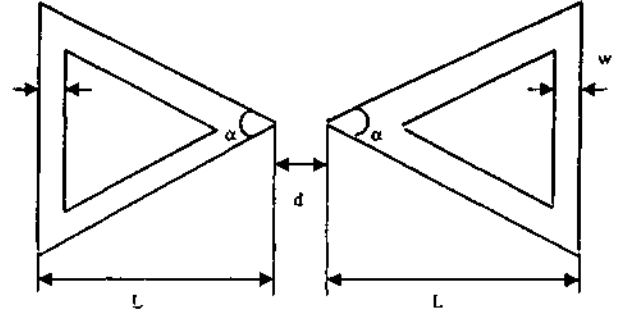
Tablo 1 ve 2'de GPR sistemi için tasarlanan antenlere ait fiziksel boyutlar verilmektedir. Bu çalışmada iki temel anten çeşiti olan bow-tie ve spiral antenler 6 ayrı konfigürasyonda incelenmiştir.

Tablo 1. Tasarlanan bow-tie anten konfigürasyonları.

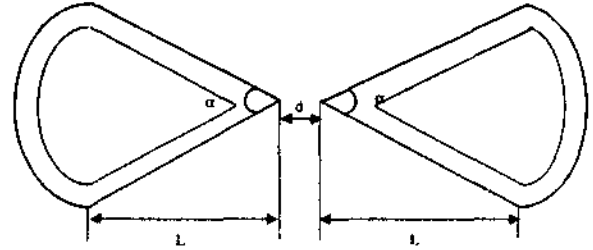
Sekil	Model	Fiziksel Boyutlar
3.a	BT2	$a=90^\circ, d=0.5\text{cm}, L=5.5\text{cm}$
3.b	BT7	$cc=90^\circ, d=0.5\text{cm}, L=5.5\text{cm}, w=0.5\text{cm}$
3.c	BTd	$a=90^\circ, d=0.5\text{cm}, L=5.5\text{cm}$
3.d	BWD	$a=90^\circ, d=0.5\text{cm}, L=3\text{cm}, w=0.5\text{cm}$

Tablo 2. Tasarlanan spiral anten konfigürasyonları

Sekil	Model	Fiziksel boyutlar
2.b	A2	$r_1=0.5\text{cm}, r_2=8\text{cm}, N=5$ sarım
2.b	A3	$r_1=0.5\text{cm}, r_2=8\text{cm}, N=5.5$ sarım
2.a	L2	$r_1=0.5\text{cm}, r_2=cm (r_{2d}=cm), N=$ sarım

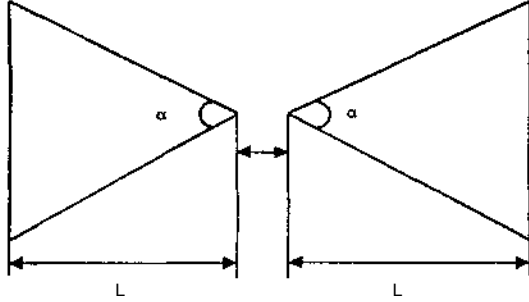


Şekil 3.c Ortası kesilmiş üçgen kesitli Bow-tie konfigürasyonu

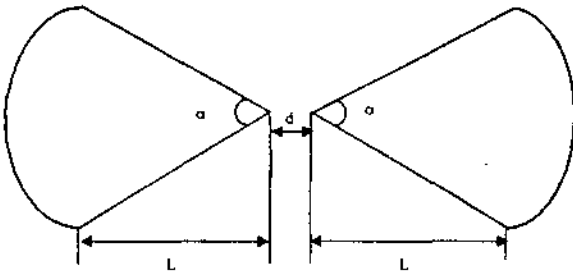


Şekil 3.d Ortası kesilmiş dairesel kesitli Bow-tie konfigürasyonu

Spiral anten konfigürasyonları Şekil 2'de verilmiştir.



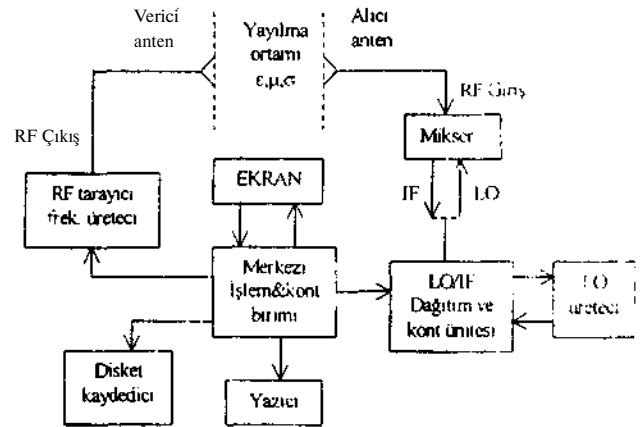
Şekil 3.a Üçgen kesitli Bow-tie konfigürasyonu



Şekil 3b Dairesel kesitli Bow-tie konfigürasyonu

4. ÖLÇÜM DÜZENEGİ

Gerçekleştirilen antenlerin J^P85301B sistemiyle ölçümleri yapılmıştır. Şekil 4'te ölçüm düzeneği verilmektedir. Yayılma ortamı hava ve kuru toprak olmak üzere iki şekilde ölçümler tekrarlanmıştır. Antenler arasındaki mesafe ise kullanılacakları GPR uygulamasına yönelik 60cm olarak belirlenmiştir. Elde edilen sonuçlardan bazıları Şekil 6'da verilmiştir.



Şeki! 4.Anten Ölçüm Düzeneği

5. SONUÇLAR

Yapılan ölçümler neticesinde teorik yaklaşımlar da baz alınarak anten fiziksel özellikleri ile elektromagnetik davranışı arasındaki ilişkiler tespit edilmiştir. Buna göre özetle şunlar söylenebilir:

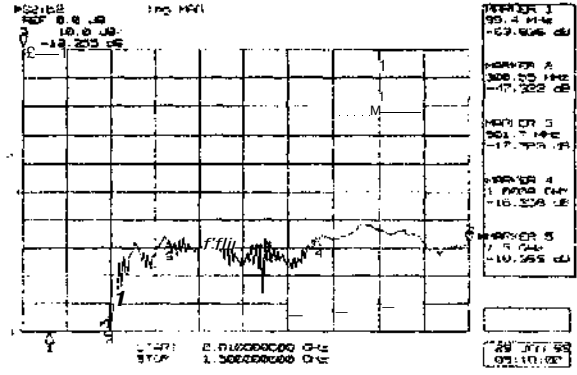
1. Antenin metrik boyutları ile sistemin frekans bandı yakından ilişkilidir. Görülmüştür ki, anten boyutunun dalga boyu mertebelerinden çok küçük olması durumunda ışımada yüksek kazanç ve verim sağlanamaz. Bu durum herhangi sonlu uzunluktaki bir antenin geniş bandlı bir sinyal uygulanması durumunda boyutundan çok küçük dalga boyuna karşılık gelen frekans bileşenlerini zayıf iletebileceği dolayısıyla yüksek geçiren filtre gibi davranacağını gösterir. Anten boyutunun sınırlı olması gerektiği düşünülürse, GPR verici sinyalinin alt kesim frekansı yüksek seçilmelidir. Pratikte kabaca 15-20cm'lik antenlerle çalışılmış ve ışımanın ağırlıklı olarak hava ortamında 700-4000MHz, toprak ortamında ise 200-2500MHz civarında olduğu görülmüştür.

2. Anten çalışma frekans bandına etkileyen en önemli etkenlerden biri yayılım ortamıdır. Ortamın toprak olması durumunda bünye parametreleri $E > 1$ ve $a > 0$ 'dir. Yani dielektrik sabiti havadan büyük ve iletken bir yayılım ortamı mevcuttur. İletkenlik elektromagnetik dalganın genliğinde frekansa bağlı zayıflatma etkisi yaptığından bir üst kesim frekansı sınırlaması oluşmaktadır. Buna karşın 4-30 arasında değişen dielektrik sabiti elektromagnetik dalga boyunu düşüreceğinden alt kesim frekansının aşağı çekilmesi gibi bir üstünlük getirmektedir. Öcmlük kuru toprak ortamında yapılan deneylerde kullanılan antenler için ortalama alt kesim frekansının 700MHz seviyelerinden (havada) 200MHz seviyelerine (toprakta) düştüğü görülmüştür. Bununla birlikte 5-6GHz'den sonra ciddi bir kayıp söz konusudur. Toprak nemliliği arttıkça iletkenlik artacağından bu sınır düşmekte, ortam kalınlığı düştükçe bu değer artmaktadır.

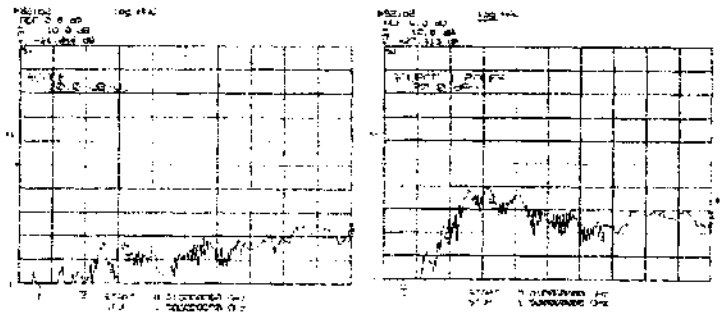
3. Ölçümler sonucu elde edilen grafiklerden bow-tie anten ve düzlemsel spiral antenlerin kazançları ve huzme diyagramları birbirine yakın olduğu tespit edilmiştir. Aralarındaki en önemli fark ise ısınan elektromagnetik daiganın polarizasyonudur. Bow-tie türü antenler lineer eğilimli eliptik polarizasyona sahip iken, spiral türü antenler dairesel eğilimlidir. Buna karşın Bow-tie anteni ters polarizasyona çok fazla duyarlı değildir. Ayrıca benzer boyutlardaki logaritmik spiral anten ile bow-tie antenin kazançlarının Arşimed spiraline nazaran alçak frekanslarda daha iyi, yüksek frekanslarda daha düşük olduğu gözlenmiştir. Bow-tie antenlerde boyut büyüdükçe frekans bandı aşağı doğru açılmak suretiyle genişlemekte, buna karşın üst frekanslarda kazançta bir miktar düşme gerçekleşmektedir.

6. KAYNAKÇA

- [1] K.L.Shlager, G.S.Smith, "Optimization of Bow-tie Antennas for Pulse Radiation", *IEEE Transactions on Antennas and Propagation*, vol. 42, no. 7, pp. 975-982, Jul 1994
- [2] C.Balanis, *Antenna Theory*
- [3] *VHF and UHF Antennas*
- [4] Daniels, D.J., *Surface Penetrating Radar*. IR: Radar. Sonar, Navigation and Avionics Series 6. London. 1996

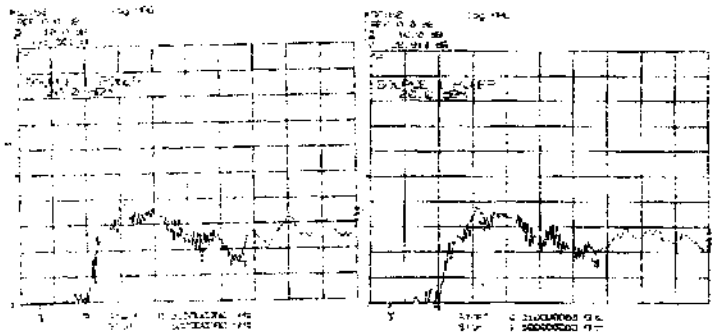


Şekil 5. L2 Spiral antenin frekans domeni davranışı

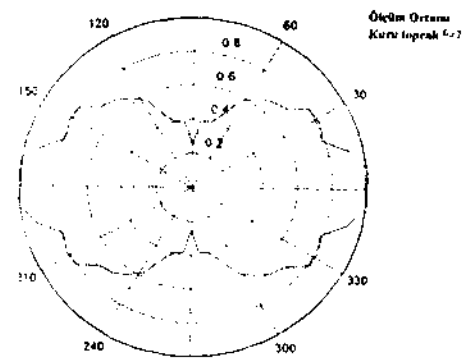


Şekil 6. BT1 antenin frekans domeni davranışı

(a) Düşey polarizasyon (b) Yatay polarizasyon



Şekil 7. BT7 ve BT2 antenlerin frekans domeni davranışları



Şekil 8 BT2 antenin toprak ortamında ışıma diyagramı, $f=1.25\text{GHz}$

YANSITICI ANTENLERDE KİRİŞLERİN ETKİSİ

Nursel AKÇAM, Cem NAKİBOĞLU

Gazi Üniversitesi, Mühendislik ve Mimarlık Fakültesi,
Elektrik-Elektronik Mühendisliği Bölümü 06570 Maltepe/Ankara
E-mail: aknursel@mikasa.mmf.gazi.edu.tr, cemnak@mikasa.mmf.gazi.edu.tr

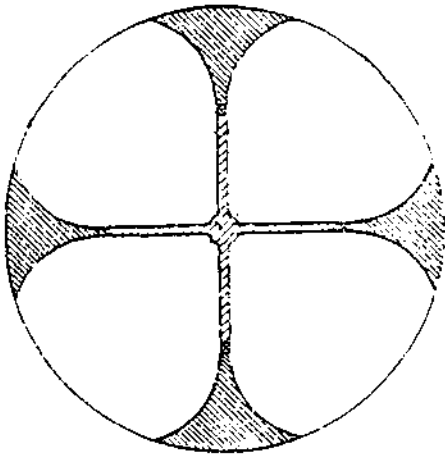
ABSTRACT

in a reflector antenna the feed system and its support struts block the aperture and thereby deteriorate the radiation characteristics. The E-field integral equation is applied to the rotationally symmetric reflector antennas with struts. Current is allowed to flow on all the reflector surfaces and continuity is enforced at the conductor junctions. In this paper the strut scattering is the primary topic, rather than the aperture blocking effects. The effects of the struts are clearly identified.

1. GİRİŞ

Bu çalışmada, parabolik yansıtıcı antenlerde besleme destek kirişlerinin anten açıklığında meydana getirdiği açıklık bloklaması incelenmektedir.

Besleme ve besleme destek kirişlerinin anten açıklığında neden oldukları blokama, antenin kazancını düşürür ve antenin maksimum yan-hüzme (side-lobe) seviyelerinin artırır (şekil 1). Blokamanın ışınma örüntüsü (radiation pattern) üzerindeki bu etkisinin anten tasarımında hesaba katılması gerekir. İstenmeyen bu etkilerin hızlı ve kolay tahmini için bir çok teknik kullanılmıştır. Eşdeğer akımlar (equivalent currents) ve gölge izdüşüm (projected shadow) ilk ve sık kullanılan metotlardır. GTD (Geometric Diffracted Theory) de genellikle geniş açı (wide angle) yan hüzmeye tahminleri için kullanılır. Bütün bu metotlar yüksek frekans yaklaşımlardır. Sadece açılal bölgeler (angular regions) geçerlidirler. Ayrıca iki >UA y. tındaki etkileşim (iki iletkenin ve bağlantı noktası: $\cdot LK^2$ -im akışı gibi) ihmal edilir.



Şekil 1. Açıklık blokama

Her hangi iletken uygulanan EFIE (Electric Field integral Equation) metod ile bütün yansıtıcı problemi çözülebilir. EFIE Maxwell eşitlikleri ve sınır şartlarından bulunur. Mükemmel iletken yüzeylere uygulanan bu basit metod bütün açılar ve frekanslar için geçerlidir. MOM (Method of Moment) metodu ile EFIE denkleminin çözümü yapılır (yüzey akımları bulunarak yayılan alanlar bulunur) ve ışınma örüntüsü bulunur. Metod herhangi bir geometriye uygulanabilmesine rağmen çözümün karmaşıklığından kurtulmak için bazı limitlemeler gerekmektedir.

Bu çalışmada besleme açıklık blokaması ihmal edilip giriş blokama etkisi incelenmiştir. Ayrıca giriş kesit alanının yeterince küçük olduğu farzedilip ince tel yaklaşımı yapılmıştır. Böylece eklem bölgesinde BOR (Bodies of Revolution) yüzeyine yaklaşılar. Polar koordinat sistemi disk üzerinde tanımlanır. Yansıtıcı anten yüzeyinin deksenel olarak simetrik olması gerekmektedir.

2. TEORİ

EFIE Maxwell eşitliklerinde ve sınır şartlarından türetilir ve herhangi gelişigüzel bir sonsuz, ince mükemmel iletken yüzeye uygulanabilir.

S yüzeyi üzerinde toplam teğetsel elektrik alan sıfırdır. Sınır şartlarından

$$-E_{\theta} = E_{\theta}^i \quad (D)$$

Burada, E^i S yüzeyinde elektrik yüzey akımından oluşan elektrik alanı, E^i gelen elektrik alanı, n boşluğun empedansı, t teğetsel alan olduğunu gösterir.

MOM metoduna göre;

$$J = Z (I' J' + I^* J^*) \quad (2)$$

yazmak mümkündür. Burada; I_n' ve I_n^* katsayılar. J_n' ve J_n^* yayılma (expansion) fonksiyonlarıdır. Aşağıdaki gibi ifade edilirler.

$$J_n' = u_n f_n(t) e^{in\phi} \quad (3)$$

$$J_n^* = u_n^* f_n^*(t) e^{in\phi}$$

Ağırlık (weighting) fonksiyonları ise;

$$W_{mi}^* = u, f, (t) e^{jm^*}$$

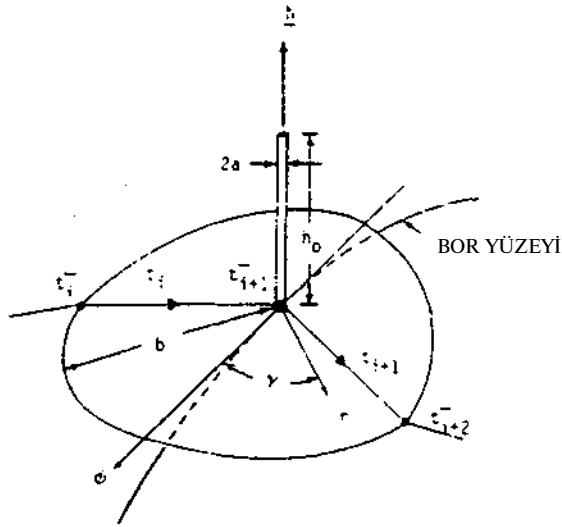
$$W_m = u, f, (t) e^{j^*}$$

olarak Galerkin metoduna göre seçilmişlerdir.

Ayrıca BOR için kirişler segmentlere bölünür ve üçgensel çoğalma (triangular expansion) fonksiyonlar tanımlanır.

$$J_j^w = h_j T_j(h) / (27ra) \quad (5)$$

Bütün kiriş temel fonksiyonları j indeksi ile gözden geçirilir. Kiriş eksenı boyunca değişen en büyük uzunluk h'dir. Kiriş yarıçapı a ise kirişin fiziksel boyutundan ve dalga boyundan oldukça küçüktür (şekil 2).



Şekil 2. Eklem bölgesi

Matris formunda yazılabilecek lineer eşitlikler için;

$$[Z] [I] = [V] \quad (6)$$

yazılabilir. Akım vektörü I çoğalan bilinmeyen sabitleri gösterir. Eşitlik (6) sonsuz bir settir, fakat; n bazı yakınsama kriterleri üzerine temellenmesi için bir maksimum değerin seçilmesi ile sonlu bir sete indirgenebilir.

$$V = Z(I) \quad (7)$$

$$V^* = T(Z^* I^* + r Z^* I^*)$$

Z'ler kare matrislerdir. Elemanlarının tesbiti aşağıdaki ifade ile bulunur.

$$(Z_{mn}^{-1})_{ij} = (1/n) \int_{-a}^a W_{mi}^* (j\omega A (J_n^q) + V(t) (J_m^*)) ds \quad (X)$$

Eşitlik (8) de p, t veya φ olabilir, q'da t veya φ olabilir.

$(\mu/E)^{1/2} = n$, V_m^1 ve V_m^* kolon vektörlerdir ve i.elemanı için şöyle ifade edilir.

$$V_{roi} = (1/n) \int_{-a}^a W_{mi}^* E^j ds \quad (9)$$

E^i koordinat sisteminin orjininden kaynaklanan özel besleme alanıdır. Besleme açıklık tarafından yapılan bloklama etkilerinin ihmal edileceği daha önce söylenmişti.

Eşitlik (6), matris formunda yazılabilecek lineer eşitlikleri EFIE indirmek için kullanılır.

$$\begin{bmatrix} Z^{11} & Z^{12} \\ Z^{21} & Z^{22} \end{bmatrix} \begin{bmatrix} I_1 \\ I_2 \end{bmatrix} = \begin{bmatrix} V_1 \\ V_2 \end{bmatrix} \quad (10)$$

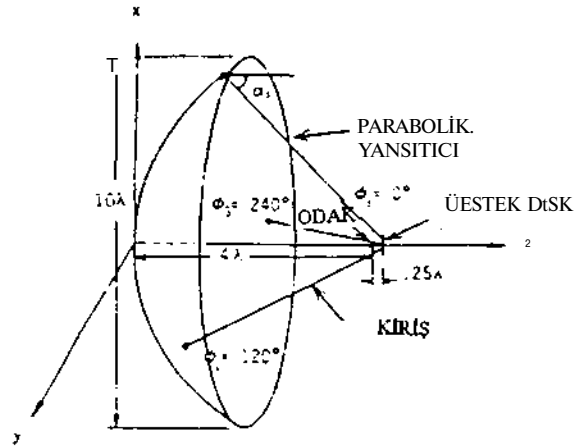
Yukarıdaki ifade geneldir. Bu durumda sırasıyla s yüzey, w tel (burada kiriş), j eklem olmak üzere eşitlik (10) yeniden yazılırsa aşağıdaki ifade elde edilir.

$$\begin{bmatrix} Z^{ss} & Z^{sw} & Z^{sj} \\ Z^{ws} & Z^{ww} & Z^{wj} \\ Z^{js} & Z^{jw} & Z^{jj} \end{bmatrix} \begin{bmatrix} p \\ r \\ j \end{bmatrix} = \begin{bmatrix} V^s \\ V^w \\ V^j \end{bmatrix} \quad (11)$$

Eşitlik (11)'de empedans blokları birçok alt matrislerden oluşur.

3. SONUÇLAR

Grafikler ve tablolar 10A çapındaki parabolik yansıtıcı anten (şekil 3) için verilmiştir. Burada 3 kiriş 120° açı ile kullanılmıştır. Kiriş eksenı ile Z eksenı arasındaki açı $\alpha_s = 50.2^\circ$ dir. Reflektör kenar açısı 64° ve kenar eğimi yaklaşık olarak 7dB'dir.



Şekil 3. Üç kirişli parabolik yansıtıcı

Tablo 1'de EFIE metodu ile kirişsiz ve farklı kiriş yarıçaplarına sahip yukarıda bahsedilen antenin kazancındaki kayıplar görülmektedir. Burada kirişsiz durum kayıpsız (referans) olarak alınmıştır. Kiriş yarıçapı amikça anten kazancının azaldığı görülmektedir.

Tablo 1. Kiriş yarıçapına bağlı olarak kazanç kaybı

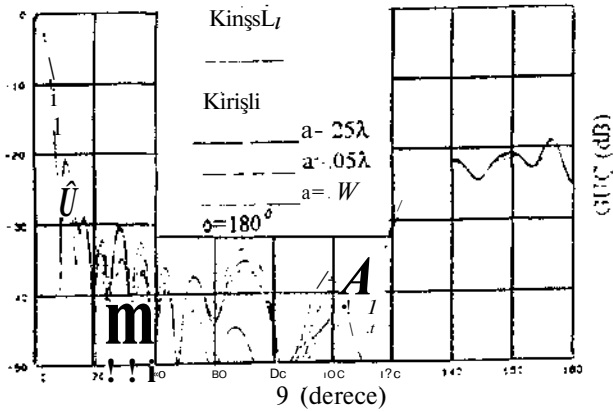
Kiriş yarıçapı	Kayıp (dB)
kiriş yok	referans
a=0.025X	0.096
a=0.050A.	0.278
a=0.10(R	0.392

Yansıtıcının kiriş sayısına göre kazancı ise tablo 2'de verilmiştir. Yarıçapı 0.0025° olan yansıtıcı antenin kiriş sayısı arttıkça kazancı azalmaktadır.

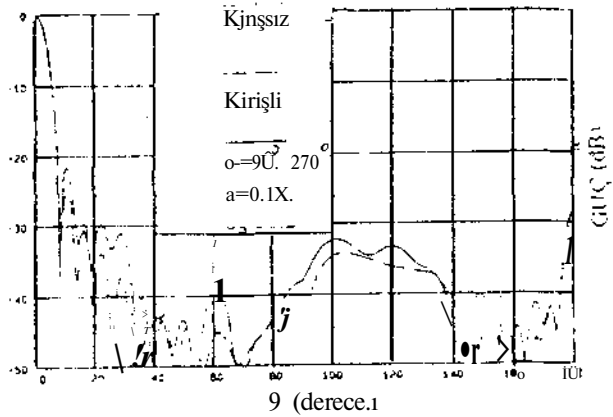
Tablo 2. Kiriş sayısına bağlı olarak kazaçtaki deęişimi.

Durum	Adet	Kazancı (dB)
Yansıtıcı	1	29.197
Yansıtıcı +disk	1	29.190
Yansıtıcı +kiriş	1	29.138
Yansıtıcı +kiriş	2	29.093
Yansıtıcı +kiriş	3	29.092

Şekil 4'de kirişsiz ve farklı kiriş yarıçaplarına sahip 10A çapındaki antenden yayılan alanlar görülmektedir. Aynı anten için H-düzlemindeki yayılım şekil 5'de görülmektedir.



Şekil 4. Yansıtıcıdan yayılan alanlar (kirişli ve kirişsiz durumlar için).



Şekil 5. H-düzleminde yayılım (kirişli ve kirişsiz durumlar için).

4. KAYNAKÇA

- [1] J. R. Mautz and R. F. Harrington, "H-field. E-field and combined field solutions for bodies of revolution", Syracuse Univ. Syracuse, NY, Tech. Rep. TR-77-2, Feb 1977.
- [2] J. Ruze, "Feed support blockage loss in parabolle antennas", Microwave J., Vol.11, No. 12, Dec.1968.
- [3] L. C. Gray, " Estimation of the effect of feed support member blocking on antenna gain and sidelobe level" Microwave J., Vol. 7, No. 3, Mar.1964.
- [4] J. R. Shaeffer and L. N. Medgyesi-Mitschang, " Radiation from wire antennas attached to bodies of revolution: The junction problem", IEEE Trans. Ant. Propagate, Vol.Ap-29, No.3, May. 1981.
- [5] E. H. Newman and D. M. Pozar, "Electromagnetic modeling of composite wire and surface geometries" IEEE Trans. Ant. Propagate, Vol.Ap-26, No.6. Nov. 1978.
- [6] N. C. Albertsen, J. E. Hansen and N. E. Jensen, " Computation of radiation from wire antennas on conducting bodies", IEEE Trans. Ant. Propagate, Vol.Ap-22, No.2. Mar. 1974.
- [7] Wail. Ko, Raj Mittra and S. W. Lee, " Aperture blockage in reflector antennas", IEEE Trans. Ant. Propagate, Vol.Ap-32, No. 3, Mar. 1984.
- [8] W. V. T. Rusch, " The current state of the reflector antenna art" IEEE Trans. Ant. Propagate, Vol.Ap-32. No.4, April 1984.

Nursel AKÇAM

Gazi Üniversitesi Elektrik-Elektronik Mühendisliği Bölümünden BSc, MSc,derecelerini 1986 ve 1993 yıllarında aldı. 1987 yılından beri Gazi Üniversitesi Elektrik-Elektronik Mühendisliği Bölümünde Araştırma Görevlisi ve doktora öğrencisidir.

K. Cem N A K İ BOĞ LU

İTÜ Elektrik Fakültesinden BSc. .KTÜ Elektrik-Elektronik Mühendisliği Bölümünden MSc, Derecelerini 1980 ve 1984 yıllarında,,aldı. 1981-1984 yılları arasında KTÜ.Elektrik-Elektronik Mühendisliği Bölümünde Araştırma Görevlisi, 1986-1988 yılları arasında Gazi Üniversitesi Elektrik-Elektronik Mühendisliği Bölümünde Öğretim Görevlisi olarak çalıştı. 1993 yılında doktora derecesini University of London, King's College den aldı 1994'den beri Gazi Üniversitesi Elektrik rlektronik Mühendisliği Bölümünde Yardımcı Doçent oLrak görev yapmaktadır.

İNCE, KAYIPLI BİR ŞERİTİN YÜZEY EMPEDANSININ İNCELENMESİ

Nursel AKÇAM, Cem NAKİBOĞLU

Gazi Üniversitesi, Mühendislik ve Mimarlık Fakültesi,
Elektrik-Elektronik Mühendisliği Bölümü 06570 Maltepe/Ankara
E-mail: aknursel@mikasa.mmf.gazi.edu.tr, cemnak@mikasa.mmf.gazi.edu.tr

ABSTRACT

Surface impedance can be used as a gauge of the surface itself and is a parameter which is dependent on the frequency of the incident field, the thickness of the strip and the conductivity. Imperfectly conducting (or lossy) strip of finite but small thickness can be considered. The functional dependence of the surface impedance on the three strip factors (frequency, thickness and conductivity) have been calculated.

1. GİRİŞ

Bu çalışmada, sonlu uzunlukta (finite), ince, kayıplı şeritin (lossy strip) yüzey empedansı frekans, iletkenlik ve kalınlık parametrelerine bağlı olarak incelenmiştir. Yüzey empedansı gelen alanın frekansına, şeritin kalınlığına ve iletkenliğine fonksiyonel olarak bağlıdır. Şeritin yüzey empedansını katagorize etmek için, yüzeyi kendi kendisinin bir ölçüsü olarak kullanabilmekteyiz.

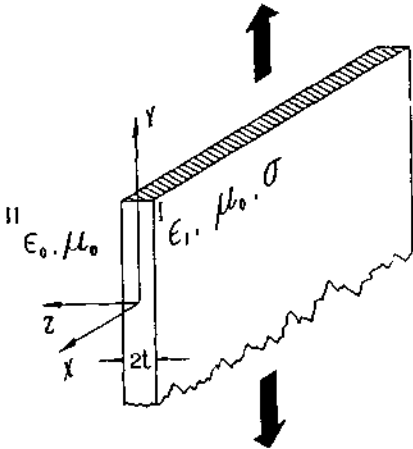
2. YÜZEY EMPEDANSI

Sonlu iletken bir düzlemsel yüzeyin, (şekil 1) normalize olmuş yüzey empedansı

$$Z_s = R_s + jX_s$$

(D)

tarafından karakterize edilebilir.



Şekil 1. İki boyutlu şeritin kesiti

Farzedelim yüzey TM formunda bir dalgaya sahip olsun. Bu durumda manyetik alanın H_y bileşeni ($Z > t$ için) yüzey üzerindedir.

$$H_y = A e^{h_z z} e^{-\alpha x} \quad (2)$$

Burada; $h_z^2 + \alpha^2 = -\omega^2 \mu \epsilon = -k^2$ dir. Maxwell eşitliklerinden yüzey üzerindeki elektrik alan bileşenleri;

$$E_x = 1/(j\omega \epsilon_0) (\partial H_y / \partial x) \quad (3)$$

$$E_z = -1/(j\omega \epsilon_0) (\partial H_y / \partial z) \quad (4)$$

olarak elde edilir. Dalga empedansı;

$$Z_1 = E_x / H_y = jh_z / (\omega \epsilon_0)$$

$$Z_1 = jh_z Z_0 / \epsilon_0 \quad (5)$$

olarak tanımlanır (Z_0 serbest uzayın karakteristik empedansıdır). $z=t$ de sınır şartlarının sağlanması için $Z^{\wedge} Z_s Z_0$ olması gerekir. Bu durumda;

$$h_z = -jk_0 Z_s = k_0 X_s - jk_0 R_s \quad (6)$$

elde edilir. Böylece yüzey empedansının reaktif kısmının endüktif olması gerekir. Yüzey empedansı ne kadar çok endüktif olursa, yüzey dalgasının sınırlardan o kadar çok sızmasını önler.

Benzer uygulama yüzey dalgasının TE formu için yapılabilir. Yüzey dalgasının elektrik alan bileşeni aşağıdaki formda olsun.

$$E_y = B e^{h_z z} e^{-\alpha x} \quad (7)$$

Bu durumda manyetik alan bileşenleri ,

$$H_x = 1/(j\omega \mu_0) (\partial E_y / \partial z) \quad (8)$$

$$H_z = -1/(j\omega \mu_0) (\partial E_y / \partial x) \quad (9)$$

olur. Dalga admitansı:

$$Y_s = H_x/E_y = jh_2 Y_0/k_0 \quad (10)$$

Burada $Y_0 = Z_0^{-1}$ dir. Doğal olarak oluşan yüzeylerin, yüzey empedanslarında bir endüktif reaktif terim olacaktır.

Kayıplı metal bir yüzey için Tablo 1 frekans 10GHz, kalınlık 0.000075 metre için, Tablo 2 frekans 10GHz, kalınlık 0.00075 metre için verilmiştir. Kullanılan çözümlerde Metot 1 yan sonsuz kalın bir levha için Richmond (2) kullanılmıştır. Metot 2 (h_2 için) eşitliğin çözümü için Nevton-Raphson metotda (1) sonlu kalın levha üzerindeki elektrik ve magnetik alan dağılımları üzerine oturtulmuştur. Tablo 1 daha ince malzemeler için oluşturulmuştur. Tablolarda da görüldüğü üzere düşük kayıplı bir çok materyal için (iletkenlik 100 ile 10^7 mhos/metre) Metot 1 ile daha iyi sonuçlar elde ediliyor. Yüzey empedanslarının değerleri (kalınlık/cidarkalınlığı) azaldıkça Metot 1'deki değerleri Metot 2' den büyük olmaktadır. Dikkat edilirse yüzey empedansı değerleri her iki metot içinde cidar kalınlığının dört katı ve yukarısı için birbirine eşittir. Bu değerler altında empedans değerleri metotlara göre farklılık gösteriyor. Tablolarda da görüldüğü gibi bu tip yapılarda baskın (dominant) modlar oluşur ve

endüktif reaktif reaktansları bulunmaz. Bireysel (individual) moda bağımlıdır ki buda hem TE hemde TM modlarını sağlar. Ancak bu çalışmada, kayıplı iletken tarafından sağlanan baskın (dominant) mod aranıyor. Çünkü bu mod en az zayıflayan moddur. Bundan dolayı dikkatimiz TM yüzey dalgasında ($H=H_y$) odaklanacaktır.

3.SONUÇLAR

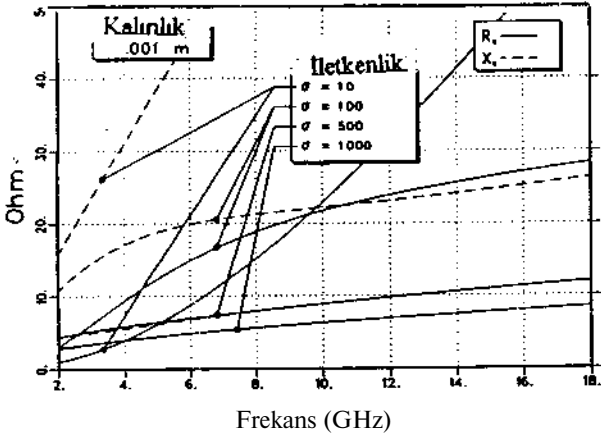
Şekil 2'de yüzey empedansı frekansın bir fonksiyonu olarak gösterilmiştir. Şekil 2.a farklı iletkenlikler, şekil 2.b ise farklı kalınlıklar için verilmiştir. Kalınlık değeri arttıkça empedansın da arttığı görülmektedir. Şekil 3 'de 0.00075metre kalınlık ve farklı iletkenlik için 2-18GHz frekans aralığında yüzey empedans değerleri görülmüyor. İletkenlik arttıkça empedans azaldığı gözlenmektedir. 10 GHz 'de farklı iletkenlikler için kalınlığa göre yüzey empedansında ki değişimi şekil 4'de verilmiştir. Bu grafikte de iletkenlik arttıkça empedans azalmaktadır. Aynı zamanda şekil 3 ve şekil 4 yüksek iletken özellikli (örneğin bakır) materyallerin yüzey empedanslarını göstermektedir. Şekil 5 10GHz'de farklı kalınlıklar için iletkenlik değişimine göre empedans değişimi vermektedir. Görüldüğü gibi düşük iletkenlikte kalınlık arttıkça yüzey empedansında artmaktadır.

Tablo 1. Yüzey empedansının iletkenliğe göre değişimi (frekansı 10GHz ve kalınlık 0.000075metre).

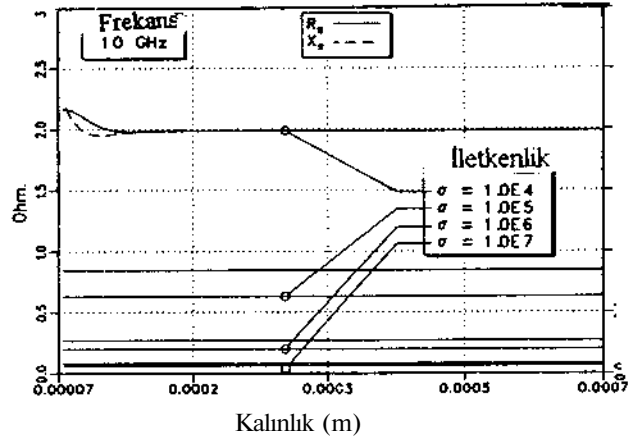
iletkenlik (mhos/meter)	Kalınlık Cidarkalınlığı	yüzey Empedansı			
		Metot 1		Metot 2	
		D	Y	R _s	X _s
10^7	42.12	0.0628	0.0628	0.0628	0.0628
10^6	14.90	0.1987	0.1987	0.1987	0.1987
10^5	4.71	0.6283	0.6283	0.6284	0.6284
10^4	1.49	1.826	1.771	2.161	2.233
10^3	0.47	12.95	2.039	0.8528	5.771
100	0.14	98.54	2.623	0.1206	5.920
10	0.04	293.8	4.710	0.3371	5.902
1	0.01	366.4	5.757	2.515	4.521

Tablo 2. Yüzey empedansının iletkenliğe göre değişimi (frekansı 10GHz ve kalınlık 0.00075metre).

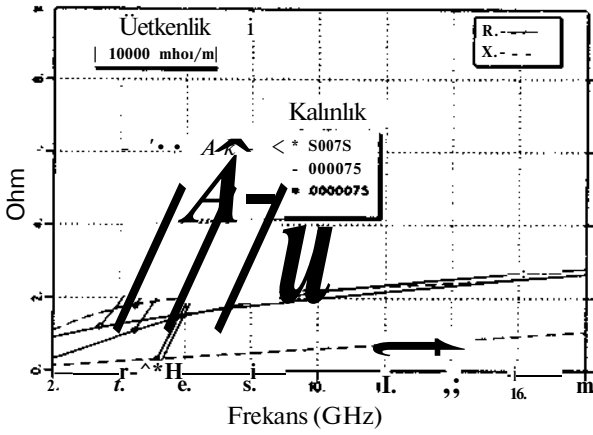
iletkenlik (mhos meter)	kalınlık cidarkalınlığı	yüzey empedansı			
		Metot 1		Metot 2	
		R _s	X _s	R _s	X _s
10^7	421.23	0.0628	0.0628	-----	-----
10^6	149.02	0.1987	0.1987	-----	-----
10^5	47.12	0.6283	0.6283	0.6283	0.6283
10^4	14.91	1.987	1.987	1.987	1.987
10^3	4.71	6.282	6.282	6.288	6.281
100	1.48	18.22	18.04	21.75	22.21
10	0.47	99.86	26.14	11.70	57.02
1	0.15	294.3	47.10	25.82	44.71



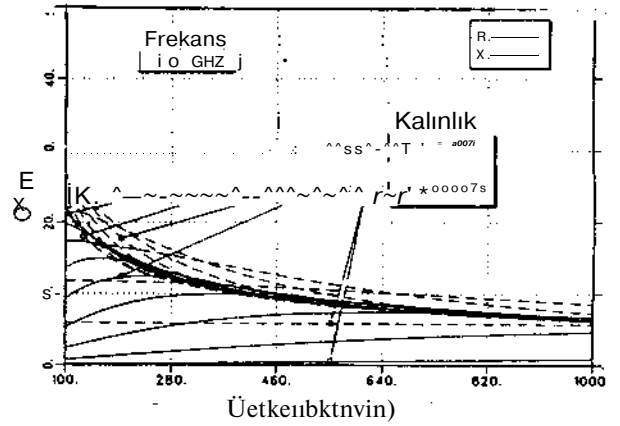
(a) Sabit kalınlık, farklı iletkenlik için



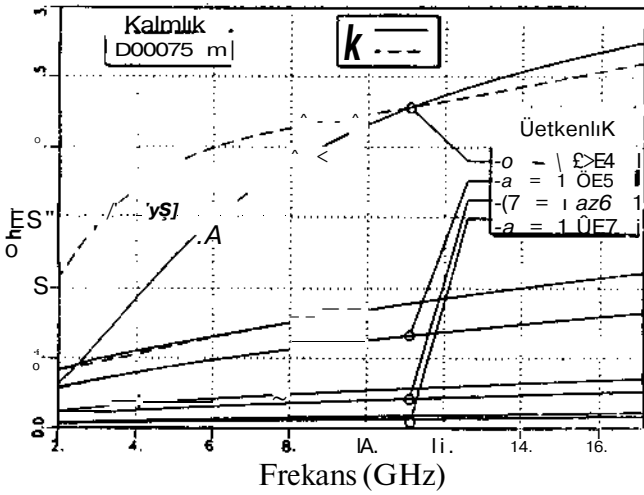
Şekil 4. Yüze empedansının kalınlığa göre değişimi (yüksek iletkenlik için)



(b) Sabit iletkenlik, farklı kalınlık için.



Şekil 5. Yüze empedansının iletkenliğe göre değişimi



Şekil 3. Yüze empedansının frekansa göre değişimi (yüksek iletkenlik için)

4. KAYNAKÇA

- [1] Richmond, Jack H., 'Propagation of surface waves on a thin resistive sheet on a coated substrate', Radio Science, vol.22, No.5, pp.825-831, Sep.-Oct. 1987.
- [2] Richmond, Jack H., 'An integral equation solution for TE radiation and scattering from conducting cylinders', Technical report 2902-7 NGL 36-008-138, Oct. 1972.
- [3] Richmond, Jack H., 'Scattering by thin dielectric strips. IEEE Trans. Ant. Propagate, Vol.Ap-33, pp.64-68, Jan. 1985.
- [4] Kraus, John D. and Carver, Keith R., Electromagnetics, Second Edition. Mc-Graw Hill, New York, 1973.
- [5] Collin, Robert E., Field Theory of Guided Waves Mc-Graw Hill, New York, 1960.

Nursel AKÇAM

Gazi Üniversitesi Elektrik-Elektronik Mühendisliği Bölümünden BSc, MSc,derecelerini 1986 ve 1993 yıllarında aldı. 1987 yılından beri Gazi Üniversitesi Elektrik-Elektronik Mühendisliği Bölümünde Araştırma Görevlisi ve doktora öğrencisidir.

K. Cem NAKİBOĞLU

İTÜ Elektrik Fakültesinden BSc, ,KTÜ Elektrik-Elektronik Mühendisliği Bölümünden MSc, Derecelerini 1980 ve 1984 yıllarında,,aldı. 1981-1984 yılları arasında KTÜ, Elektrik-Elektronik Mühendisliği Bölümünde Araştırma Görevlisi, 1986-1988 yılları arasında Gazi Üniversitesi Elektrik-Elektronik Mühendisliği Bölümünde Öğretim Görevlisi olarak çalıştı. 1993 yılında doktora derecesini University of London, King's College 'den aldı. 1994'den beri Gazi Üniversitesi Elektrik-Elektronik Mühendisliği Bölümünde Yardımcı Doçent olarak görev yapmaktadır.

BAKIŞIMSIZLIK PARAMETRESİ a VE GEÇİRGENLİĞİ ξ ARASINDAKİ UYUMSUZLUK

Savaş UÇKUN ve Tuncay EGE

Elektrik ve Elektronik Mühendisliği Bölümü
Gaziantep Üniversitesi, 27310 GAZİANTEP
savas@gantep.edu.tr vesavas@gantep.edu.tr

ABSTRACT

Different sets of empirical constitutive relations for bianisotropic media have been proposed and discussed in literature for a long time. In this study, incompatibility of chirality parameter a of Drude-Born-Fedorov representation and chirality admittance ξ of Post-Jaggard representation for reciprocal and lossless medium is discussed through the use of wave numbers.

1. GİRİŞ

İkili-yön-bağımsız (bianisotropic) ortamlar mikrodalgadan optik uygulamalara kadar uzanan birçok potansiyel uygulama alanına sahiptir. Bilim adamları 19. yüzyılın başından bu yana elektromanyetik dalgaların bu tür ortamlardaki hareketleri ile ilgilenmektedirler[1]. Son zamanlarda (chiral) bakışsız ortamın özellikleri yoğun ilgi görmektedir, çünkü yapay bakışsız ortamların yaratılmasındaki gelişmeler karma malzeme etkin ortam özelliklerinin tahmini ile ilgili teorik çalışmalara yeni bir ivme kazandırmıştır. Bu tür karma malzemelerin özel etkileri elektrik ve manyetik alanlar arasındaki eşleşmeden oluşur, ve elektrik ve manyetik nicelikleri eşleştiren deneysel yapı denklemleri ile tanımlanır. Son yıllarda bu tür ortamlar için birkaç yapı denklem takımı önerilmiş ve literatürde tartışılmıştır [2]-[5]. Sihvola ve Lindell [2] Tellegen' in yapısal ilişkiler parametreleri ile bundan başka üç farklı denklem takımları arasında ki ilişkileri tespit etmiş ve bunları Post-Jaggard, Condon-Tellegen ve Drude-Born-Fedorov (DBF) olarak adlandırmışlardır. Böylece bu yapısal ilişkilerin Tellegen' in bazı uyarlamalar geçirmiş gösterim parametrelerine eşit olduğunu göstermişlerdir Bu bildiride ise DBF gösteriminin [6] yapısal ilişkiler parametreleri ile iki taraflı (reciprocal) ve kayıpsız ortamlar için geliştirilmiş Post-Jaggard gösteriminin [5] yapısal ilişkileri *dalga sayıları* açısından karşılaştırılıp DBF gösteriminin bakışsızlık parametresi ve Post-Jaggard gösteriminin bakışsızlık geçirgenliğinin (admittance) uyumsuzluğu tespit edilmiştir

2. YAPISAL DENKLEMLER

Genel bir ikili-yön-bağımsız ortam

$$\mathbf{D} = \underline{\underline{\epsilon}} \cdot \mathbf{E} + \underline{\underline{\alpha}} \cdot \mathbf{B} \quad (1a)$$

$$\mathbf{H} = \underline{\underline{\delta}} \cdot \mathbf{E} + \underline{\underline{\beta}} \cdot \mathbf{B} \quad (1b)$$

yapısal bağıntıları ile tanımlanır [5], [7]. Burada $\underline{\underline{S}}$, $\underline{\underline{a}}$ ve $\underline{\underline{\delta}}$

3x3 boyutlarında matrisler olup tam bir malzeme tanımlama için 36 parametre gerekir. $\underline{\underline{\epsilon}}$, $\underline{\underline{a}}$, $\underline{\underline{\delta}}$ ve $\underline{\underline{S}}$ matrislerinin sayılı (scalar) nicelikler olmaları durumunda ikili-yön-bağımsız ortam ikili-yön-bağımlı (bi-isotropic) ortam haline dönüşür ve buna da Tellegen ortam denir. Böylelikle ikili-yön-bağımsız ortam örneği, yani yaygın isimle bakışsız ortam

$$\mathbf{D} = e\mathbf{E} + j\xi\mathbf{B} \quad (1a)$$

$$\mathbf{B} = \mu\mathbf{H} - j\mu\xi\mathbf{E} \quad (2b)$$

yapısal bağıntıları ile tanımlanır. Burada e ve $|\xi|$ sırasıyla ortamın yalıtkanlık sabiti (permeability) ve manyetik geçirgenliğini (permeability) gösterir, ve ξ bakışsızlık geçirgenliğinin simgesidir. Bu çalışmada $e^{i\omega t}$ zaman bağımlılığı varsayılmaktadır.

Literatürde bu tür yapısal bağıntılara alternatif olarak DBF. diğer adıyla Lakhtakia-Varadan-Varadan, yapısal denklemler vardır [6], [8]. Bu durumda manyetik-elektrik eşleştirme

$$\mathbf{D} = \epsilon(\mathbf{E} + \alpha \nabla \times \mathbf{E}) \quad (3a)$$

$$\mathbf{B} = \mu(\mathbf{H} - \alpha \nabla \times \mathbf{H}) \quad (3b)$$

şekliyle ifade edilir. Bir kez daha ϵ ve μ sırasıyla ortamın permittivity ve permeability sini temsil eder. a ve p ortamın uzunluk açısından bakışsızlık parametreleridir

3. DALGA SAYILARININ ELDE EDİLMESİ

Maxwell'in yön bağımsız (isotropic), tek türel (homogeneous), doğrusal (linear) ortam için zaman uyumlu (time-harmonic) denklemleri aşağıdaki gibidir.

$$\nabla \times \mathbf{E} = j\omega \mathbf{B} \quad (4a)$$

$$\nabla \times \mathbf{H} = -j\omega \mathbf{D} \quad (4b)$$

$$\nabla \cdot \mathbf{D} = 0 \quad (4c)$$

$$\nabla \cdot \mathbf{J} = 0 \quad (4d)$$

Denklem (3b) Denklem (4a) da kullanılırsa

$$\nabla \times \mathbf{E} = j\omega [\mathbf{M} + j\sigma \rho / N \times \mathbf{H}] \quad (5)$$

Aynı şekilde Denklem (3a) Denklem (4b) de kullanılırsa

$$\nabla \times \mathbf{H} = -j\omega \mathbf{E} - j\sigma \mathbf{E} \quad (6)$$

Denklem (4c) ve (3a) dan elde edilen $\nabla \cdot (\mathbf{E} + \mathbf{a} \nabla \times \mathbf{E}) = 0$, $\nabla \cdot \mathbf{E} = 0$ olduğunu gösterir, çünkü bir vektörün dolamının (curl) iraksaklığı (divergence) sıfırdır. Aynı şekilde Denklem (4d) ve (3b) ye bakıldığında $\nabla \cdot \mathbf{H} = 0$ olduğu görülür. Denklem (5) ve Denklem (6) dan $\nabla \times \mathbf{H}$ terimlerini eşitlersek manyetik alan vektörü \mathbf{H} , elektrik alan vektörü \mathbf{E} cinsinden

$$\mathbf{H} = \frac{j}{\omega \mu} [\mathbf{k}^2 \mathbf{B} \mathbf{E} - (\mathbf{k} \cdot \mathbf{a} \mathbf{p}) \nabla \times \mathbf{E}] \quad (7)$$

şeklinde elde edilecektir. $\nabla \times \mathbf{E}$ terimlerinin eşitlenmesinden ise elektrik alan vektörü \mathbf{E} , manyetik alan vektörü \mathbf{H} cinsinden

$$\mathbf{E} = \frac{j}{\omega \mu} [\mathbf{k}^2 \mathbf{a} \mathbf{H} - (\mathbf{k} \cdot \mathbf{a} \mathbf{p}) \nabla \times \mathbf{H}] \quad (8)$$

şeklinde olup burada $\mathbf{k} \cdot \mathbf{a} > \mathbf{k} \cdot \mathbf{I} \mathbf{E}$.

Denklem (7) 'nin dolamı alındığında ve Denklem (6) da $\nabla \times \mathbf{H}$ yerine konduğunda \mathbf{E} için aşağıdaki bakışsızlık Helmholtz denklemi elde edilecektir.

$$(1 - \mathbf{k} \cdot \mathbf{a} / \omega) \nabla \times \nabla \times \mathbf{E} - \mathbf{k}^2 (\mathbf{c} \mathbf{r} + \mathbf{a} / \omega) \nabla \times \mathbf{E} - \mathbf{k}^2 \mathbf{E} = 0 \quad (9)$$

Sol dairesel polarize (LCP) alan dalgasının bakışsız ortamda elektrik alanı

$$\mathbf{E} = E \mathbf{j} \times \mathbf{j} e^{j\omega t} \quad (10)$$

∴ ∴ 'ünde olacaktır.

Eğer E nin değeri Denklem (9) da yerine konulursa dalga sayısı (3_L);

$$\beta_L = \frac{k \left\{ \sqrt{4 + k^2 (\alpha - \beta)^2} + k(\alpha + \beta) \right\}}{2(1 - k^2 \alpha \beta)} \quad (11a)$$

şeklinde bulunur. Aynı şekilde sağa polarize dairesel (RCP) alan dalgası için dalga sayısı β_R ;

$$\beta_R = \frac{k \left\{ \sqrt{4 + k^2 (\alpha - \beta)^2} - k(\alpha + \beta) \right\}}{2(1 - k^2 \alpha \beta)} \quad (11b)$$

şeklinde elde edilebilir. Bu sonuçlar kaynak [8] deki sonuçlarla aynıdır.

Benzer şekilde, Post-Jaggard'ın yapısal denklemlerini(2) ve Maxwell denklemlerini (4) kullanarak sola ve sağa polarize dalga sayılan aşağıdaki gibi bulunabilir

$$\beta_L = \omega \mu \xi + \sqrt{\omega^2 \mu \epsilon + (\omega \mu \xi)^2} \quad (12a)$$

$$\beta_R = -\omega \mu \xi + \sqrt{\omega^2 \mu \epsilon + (\omega \mu \xi)^2} \quad (12b)$$

4. KARŞILAŞTIRMA

Bu dalga sayılarının, Denklem (11) ve (12), sağlaması için ilk olarak materyallerin bakışsız olduğunu varsayalım. Bu durumda Denklem (11) de $\mathbf{a} = \mathbf{p} = 0$ ve Denklem (12) de $\xi = 0$ konursa her iki takım yapısal bağıntı içinde çok iyi bilinen

$$\beta_L = \beta_R = k = \omega \sqrt{\mu \epsilon} \quad (13)$$

dalga sayılan elde edilecektir.

Literatürde bu sola ve sağa dairesel polarize yayımın sabitleri daha çok kayıpsız ortamlar için hesaplanmakta ve kullanılmaktadır. Tellegen'in ortamının varlığına itiraz eden Veiglhofer ve Lakhtakia [3] "İki taraflı olmayan ikili-yön-bağımsız ortamların var olmadıkları bilinir" demişlerdir Bu durumda ikili-yön-bağımsız iki taraflı ortamda \mathbf{a} ve \mathbf{p} birbirine eşit ve sayıl olacaktır. Bu da Denklem (11a) ve (11b) nin sırasıyla

$$\beta_L = \frac{\omega \mu \sqrt{\mu \epsilon}}{1 - \mathbf{a} \cdot \mathbf{c} \mathbf{y} / \omega} \quad (14a)$$

ve

$$\beta_R = \frac{\omega \mu \sqrt{\mu \epsilon}}{1 + \mathbf{a} \cdot \mathbf{c} \mathbf{y} / \omega} \quad (14b)$$

şekline indirgenmesine neden olacaktır. Eğer her iki yapısal bağıntı aynı bakışimsız ortamı tanımlıyor ve ϵ ve μ de bilinen anlamlara salıpsa bu dalga denklemleri, Denklem (12) ve (14), birbirine eşit olmalıdır. Eğer Denklem (12a) ve (14a) birbirine eşitlenirse, a nın değeri

$$a = \frac{1}{\omega\sqrt{\mu\epsilon}} - \frac{1}{\omega\left[\mu\xi + \sqrt{\mu\epsilon + (\mu\xi)^2}\right]} \quad (15)$$

şeklinde elde edilecektir. Benzer şekilde Denklem (12b) ve Denklem (14b) eşitlenirse a için

$$a = \frac{1}{\omega\sqrt{\mu\epsilon}} - \frac{1}{\omega\left[\mu\xi - \sqrt{\mu\epsilon + (\mu\xi)^2}\right]} \quad (16)$$

bulunacaktır. Denklem (15) ve (16) da ki a değerleri \ sıfır olmadığı sürece birbirine eşit değildir. ξ nın sıfır olması bakışimsızlığın ortadan kalkması demektir. Bu durumda iki taraflı, yön-bağımsız ve kayıpsız ortam için bakışimsızlık parametresi a bakışimsızlık geçirgenliği ξ ile uyuşmamaktadır.

Bu uyumsuzluk doğrudan yapı bağıntılarını karşılaştırarak ta görülebilir. Denklem (2a) ve (3a) dan $\nabla \times \mathbf{E} = j\omega\mathbf{B}$ olduğu görülür. $\nabla \times \mathbf{E}$ nin değerini Maxwell Denklemi (4a) dan yerine koyarsak

$$a = -\frac{\xi}{c\omega\epsilon} \quad (17)$$

kolayca bulunur. Denklem (17) yi kontrol etmek için Denklem (2b) ve (3b) yi $a=p$ olduğunu anımsayarak karşılaştıralım. Denklem (8) den $\nabla \times \mathbf{H}$ nin değeri Denklem (3b) de yerine konursa, vektör \mathbf{B} , \mathbf{H} ve \mathbf{E} cinsinden aşağıdaki gibi bulunur

$$\mathbf{B} = \frac{\mu}{1 - c\omega^2/\epsilon a^2} \mathbf{n} + j \frac{\omega\mu\epsilon a}{1 - c\omega^2/\epsilon a^2} \mathbf{E} \quad (18)$$

Yine ϵ ve μ nün genel anlamlarına sahip oldukları varsayılarak Denklem (2b) ve (18) karşılaştırılarak Denklem (17) deki a ancak ve ancak $1 - c\omega^2/\epsilon a^2 = 1$ ya da $a^2/j\omega\epsilon = 0$ ise bulunabilir.

5.SONUÇ

Literatürde her iki modelde yoğun biçimde kullanılmaktadır. Her ne kadar her iki modelde elde edilen dalga denkleminin çözümü sağ ve sol polarize olmuş dalgaları vermekteyse de bu dalgaların dalga sayıları yukarıda açıklandığı gibi birbirine eşit

değildir. Bu nedenle bu modelleri kullanırken ihtiyatlı yaklaşılmalıdır.

6.KAYNAKÇA

- [1] D.L.Jaggard, A.R.Mickelson, ve C.H.Papas "On electromagnetic waves in chiral media," Appl. Phys., 18, pp. 211-216, 1979
- [2] A.H. Sihvola ve I.V. Lindell, "Bi-isotropic constitutive relations," Microwave and Optical Technology Letters, Vol. 4, No. 8, pp. 295-297,1991
- [3] W.S.Weiglhofer ve A.Lakhtakia,"A brief review of a new development for constitutive relations of linear bi-anisotropic media," IEEE Antennas and Propag. Magazine,Vol.37,No. 3, pp. 32-35,1995
- [4] A.R Sihvola, "Are nonreciprocal bi-isotropic media forbidden indeed?" IEEE Trans. on Microwave Theory and Tech. Vol. 43, No. 9, 2160-2162, 1995
- [5] N.Englert ve D.L. Jaggard, "Electromagnetic chirality and its applications," IEEE Antennas and Propag. Newsletter, pp. 6-12, 1988
- [6] A. Lakhtakia, V.K. Varadan ve V.V. Varadan, Time-Harmonic Electromagnetic Fields in Chiral Media, Springer-Verlag, Berlin, 1989
- [7] E.J. Post, Formal Structure of Electromagnetics, North-Holland, Amsterdam,1962.
- [8] A. Lakhtakia, V.V. Varadan ve V.K. Varadan, "A parametric study of microwave reflection characteristics of a planar achiral-chiral interface," IEEE Trans. On Electromagnetic Compatibility Vol. EMC-28, No. 2, pp. 90-95, 1986

Bakışsız Levhadan Yansıma ve İletim Güç Katsayılarının Bulunması

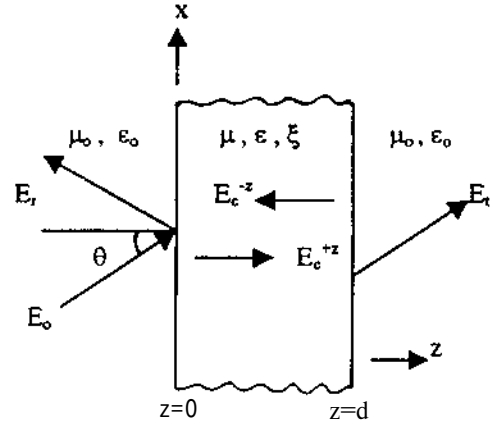
K. DELİHACIOĞLU ve S. UÇKUN
Elektrik ve Elektronik Mühendisliği Bölümü
Gaziantep Üniversitesi, 27310 GAZİANTEP
kemal@gantep.edu.tr ve savas@gantep.edu.tr

ABSTRACT

The power reflection and transmission coefficients have been analyzed analytically for TE and TM plane waves incident on a lossless, isotropic and homogeneous chiral slab. In the analysis of the chiral slab, the electric and magnetic fields are written in terms of the modal fields for a linearly polarized field and circularly polarized fields in air and chiral regions, respectively. In the chiral region, the electric and magnetic fields are expressed as the sum of left circularly polarized (LCP) and right circularly polarized (RCP) plane waves whereas in the air region a linearly polarized TE or TM plane wave is assumed and incident on a chiral slab. The derivation of power reflection and transmission coefficients are realized in a straightforward manner after matching the tangential components of the electric and magnetic fields at the boundaries where tangential components of the electric and magnetic fields are continuous. As a result, the effects of the chirality admittance, slab thickness and relative permittivity of the chiral medium on power reflection and transmission coefficients are presented.

1. GİRİŞ

Bakışsızlık (chirality) geometrik bir fikirdir. Bakışsız (chiral) nesne ile aynadaki görüntüsü arasında geometrik simetri yoktur. Bakışsız nesne ile aynadaki görüntüsü çakışmaz. Bu olay optiksel aktivite olarak bilinir. Bu tür nesne ya sol ya da sağ el polarizasyonlu olarak bilinir. Bakışsız olmayan nesnelere bakışsımlı (achiral) nesne denir. Bakışsız levha üzerine gelen doğrusal polarizasyonlu dalga bakışsız levha içinde faz hızlan, farklı, sol ve sağ el dairesel polarizasyonlu iki dalgaya ayrılır. Bakışsız levhanın arkasında bu iki dalga birleşerek, polarizasyon düzlemi gelen dalganın polarizasyon düzlemine göre dönmüş doğrusal polarizasyonlu bir dalga oluşturur. Dönme miktarı dalganın ortamda ne kadar hareket ettiğine bağlıdır. Elektromanyetik ve mikrodalga alanlarındaki potansiyel uygulamalarından dolayı son yıllarda bakışsız ortamlar üzerinde çalışmalar yoğunlaşmıştır. Bassiri ve arkadaşları [1] Fresnel denklemlerini paralel ve dik (normal) kipler cinsinden elde ederek yansız bakışsız ortamdaki yansıma ve iletim katsayılarının analizini yapmışlardır. Çalışmalarında, elektromanyetik dalganın yansız bakışsız ortama herhangi bir açıyla gelişinin nümerik çözüm için formüllerini elde



Şekil 1. Bakışsız Levhanın Geometrik Yapısı

etmişler ve normal açıyla gelen dalgalar için de analitik olarak çözmüşlerdir. Daha önce bakışsız bir levhaya herhangi bir açıyla gelen TM ve TE düzlemsel dalgalarının, yansıma ve iletim güç katsayıları elde edilip ortamın parametrelerinin frekansa göre değişimi yalnızca TE kipi için sunulmuştur [2]. Ayrıca bakışsız bir levha üzerine yerleştirilen meanderline şeritlerinin yansıma ve iletim güç katsayılarını nasıl etkilediği yazarlar tarafından çalışılmıştır [3]. Bu çalışmada ise, bakışsız bir levhaya herhangi bir açıyla gelen düzlemsel dalganın yansıma ve iletim güç katsayıları analitik olarak elde edilip, gelme açısına göre ortamın değişik parametreleri için TM kipinde incelenmiştir.

2. TEORİ

Yön bağımsız (isotropic), kayıpsız, kayınsız ve bakışsız ortamda genel yapı denklemleri [4],

$$\vec{D} = \epsilon \vec{E} - j \vec{\nabla} \times \vec{B} \quad (1)$$

$$\vec{H} = \kappa \vec{E} + \frac{1}{\mu} \vec{\nabla} \times \vec{B} \quad (2)$$

şeklinde olup, burada, ϵ , μ , ve κ , sırasıyla bakışsız ortamın, elektriksel geçirgenliği, manyetik geçirgenliği ve bakışsızlık admitansdır. (1) ve (2) nolu eşitlikler Maxwell denklemleri ile birlikte çözüldüğünde, Helmholtz denklemi aşağıdaki gibi elde edilebilir. ($e^{j\omega t}$ gi/Ji tutulmuştur.)

$$\nabla \times \nabla \times \begin{pmatrix} E \\ H \end{pmatrix} - \omega^2 \mu \epsilon \begin{pmatrix} E \\ H \end{pmatrix} = 0 \quad (3)$$

Bu denklem kullanılarak bakışsız ortamdaki sol ve sağ dairesel polarizasyonlu dalgalar için karakteristik dalga sayıları,

$$k_{\pm} = \frac{2\pi}{\lambda_{\pm}} = \pm \sqrt{k_0^2 - \beta^2} \quad (4)$$

olarak bulunur, burada + ve - alt simgeler sırasıyla, sağ ve sol dairesel polarizasyonlu dalgaların dalga sayılarının göstermektedir. Dolayısıyla bakışsız ortamda hem sol hem de sağ dairesel polarizasyonlu dalgalar farklı faz hızlarıyla, $v_{+} = a I k_{+}$ ve $v_{-} = c_0/k_{-}$, yayını yapmaktadırlar.

Bu çalışmada Şekil 1.'de görüldüğü gibi, TM düzlemsel dalganın $z = 0$ dan $z = d$ ye uzanan, d kalınlığındaki bakışsız levha boyunca yayını incelenmiştir. TM düzlemsel dalgası bakışsız levhaya havadan gelmekte olup $z = 0$ da bakışsız levha ile 9 açısı yapmaktadır. Amaç yansıyan ve iletilen elektrik ve manyetik alanlardan başlayarak yansıyan ve iletilen güç katsayılarını hesaplamaktır. Gelen ve yansıyan elektrik alanlar hava ortamında aşağıdaki gibi yazılabilir,

$$\vec{E}_i = E_0 \hat{x} e^{-jk_z z} e^{-j\omega t} \quad (5)$$

$$\vec{E}_r = \sum_{m=1}^{\infty} (j)^{m-1} \vec{E}_r^{(m)} \cdot \vec{\Psi}_m e^{j\gamma z} \quad (6)$$

burada, E_0 ve $\vec{E}_r^{(m)}$ sırasıyla gelen ve yansıyan dalgaların büyüklüğünü, $m = 1$ TM kipini ve $m = 2$ de TE kipini göstermektedir. (5) ve (6) nolu denklemlerde

$$\vec{k}_r = \hat{x} k_x \sin \theta + \hat{y} k_y \sin \theta, \quad \vec{r} = x \hat{x} + y \hat{y}$$

$$\gamma = \sqrt{k_0^2 - |\vec{k}_r|^2}, \quad k_0 = \omega \sqrt{\mu_0 \epsilon_0}$$

$$\vec{u}_1 = \frac{\vec{k}_r}{|\vec{k}_r|}, \quad \vec{u}_2 = \hat{z} \times \vec{u}_1, \quad \vec{\Psi}_m = e^{-jk_r \cdot \vec{r}} \vec{u}_m$$

olarak tanımlanmıştır. Şekil 1. den görüleceği gibi bakışsız levha içerisinde dört tane dalga olduğu varsayılmıştır. Bunların ikisi $z = d$ ye doğru +z yönünde ve diğer ikisi de $z = 0$ a doğru -z yönünde yayını yapan sağa ve sola polarize dalgalarıdır. Bakışsız levha içerisinde +z ve -z yönünde giden dalgalar için elektrik alan denklemleri aşağıdaki gibi yazılabilir;

$$\vec{E}_e^{+z} = \sum_{m=1}^{\infty} (j)^{m-1} \left(A_-^{(m)} e^{-j\gamma z} + (-1)^{m-1} A_+^{(m)} e^{j\gamma z} \right) \vec{\Psi}_m \quad (7)$$

$$\vec{E}_e^{-z} = \sum_{m=1}^{\infty} (-j)^{m-1} \left(B_-^{(m)} e^{j\gamma z} + (-1)^{m-1} B_+^{(m)} e^{-j\gamma z} \right) \vec{\Psi}_m \quad (8)$$

burada, $A_{\pm}^{(m)}$ ve $B_{\pm}^{(m)}$ kompleks katsayıları göstermekte

$$\text{olup } \gamma_{\pm} = \sqrt{k_0^2 - |\vec{k}_r|^2} \text{ dir.}$$

Bakışsız levhanın dışında iletilen elektrik alan denklemleri,

$$\vec{E}_t = \sum_{m=1}^{\infty} (j)^{m-1} \vec{E}_t^{(m)} \vec{\Psi}_m e^{-j\gamma(z-d)} \quad (9)$$

şeklinde olup burada E^{\wedge} iletilen dalganın büyüklüğünü göstermektedir. Gelen, yansıyan ve iletilen dalgalarla ilgili manyetik alanlar ise aşağıdaki denklem yardımıyla bulunabilir.

$$\vec{H} = \frac{-1}{j\omega\mu} (\nabla \times \vec{E} - \omega\mu\epsilon \vec{E}) \quad (10)$$

Yansıyan ve iletilen dalgalar Snell yansıma ve kırılma kanunlarına uyar. Yüzeyle teğet olan elektrik ve manyetik alanların $z = 0$ ve $z = d$ de sınır şartlarını sağlamasından sonra sekiz bilinmeyenli sekiz denklem elde edilir. Bu sekiz denklem ortak çözüldüğünde, yansıyan ve iletilen güç katsayıları analitik olarak gelen dalganın büyüklüğü ve modal (kipsel) admitanslar cinsinden bulunur. Aynı yöntemle benzer sonuçlar TE düzlemsel dalgası için de elde edilebilir.

3. NÜMERİK SONUÇLAR

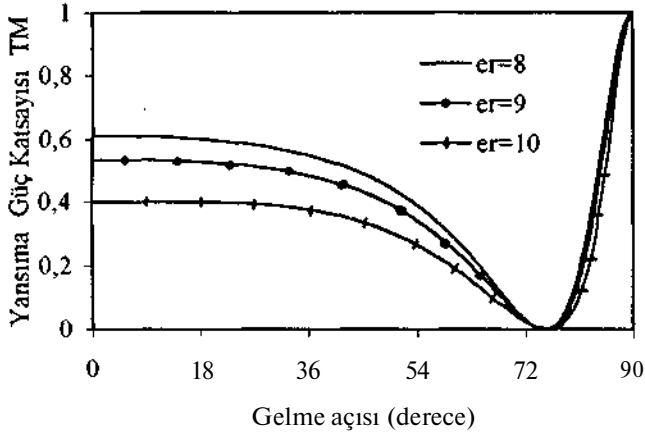
Bu bölümde, yansıma ve iletim güç katsayılarının değişik parametrelere bağlı olarak gelme açısı θ' ya göre grafikleri çizilmiştir. Bütün şekillerde $n = n_0$ ve $f = 12$ Ghz olarak kabul edilmiştir. Bakışsızlık admitansının sıfır değerinde hem TE hem de TM düzlemsel dalgalar için, çapraz-kutupsal (cross-polarized) yansıma ve iletim güç katsayıları sıfırdır. Bu çalışmada çapraz-kutupsal yansıma güç katsayısı (TE) sıfıra çok yakın olduğu için grafiği çizilmemiştir. Bütün şekillerde yansıma ve iletim güç katsayıları gelen dalgaya göre normalize edilmiştir. Sonuçlar enerjinin korunumu kanunu ile uyumludur. Yani ortak(co)- ve çapraz-kutupsal yansıma ve iletim güç katsayılarının toplamı bire eşittir. Enerjinin korunumu kanununu TM düzlemsel dalgası için yazacak olursak,

$$\left(E_r^{(1)} \right)^2 + \left(E_r^{(2)} \cos \theta \right)^2 + \left(E_t^{(1)} \right)^2 + \left(E_t^{(2)} \cos \theta \right)^2 = 1 \quad (11)$$

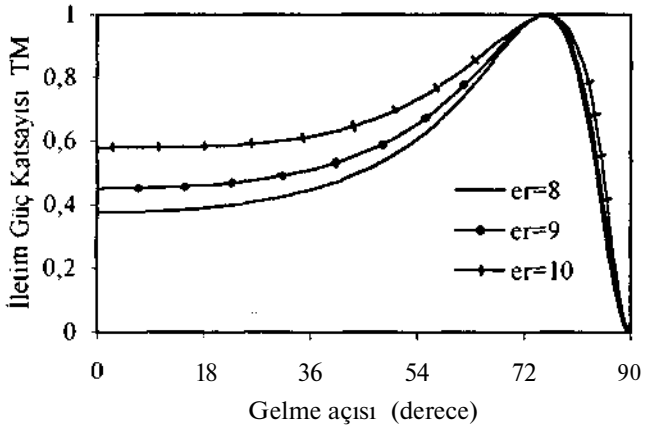
olup burada, $E^{(1)}$ ve E^{\wedge} ortak-kutupsal (TM), $E^{(2)}$ ve $E^{[2]}$ çapraz-kutupsal (TE) elektrik alanı anı göstermektedir.

Şekil 2. de bakışsızlık admitansının farklı değerleri için yansıma ve iletim güç katsayılarının gelme açısına göre grafikleri çizilmiştir. Bakışsızlık admitansı yansıma ve iletim güç katsayıları üzerinde etkili bir parametredir. Şekil 2.a'dan görüleceği üzere, ϵ_r arttıkça Brevster açısı daralan bant genişliği ile 90° ye doğru kaymaktadır. Brevster açısından sonra yansıma güç katsayısı (TM), hızlı bir şekilde artarak bir değerine ulaşmaktadır. Yine ϵ_r arttıkça ortak-kutupsal iletim güç katsayısının (TM) büyüklüğü azalmakta ve bant genişliği daralarak sağa doğru kaymaktadır. Ortak-kutupsal iletim güç katsayısının tepe değeri $\epsilon_r = 0$ için $\theta = 69^\circ$ de birdir. Çapraz-kutupsal iletim güç katsayısının (TE) büyüklüğü ise ϵ_r arttıkça artmaktadır.

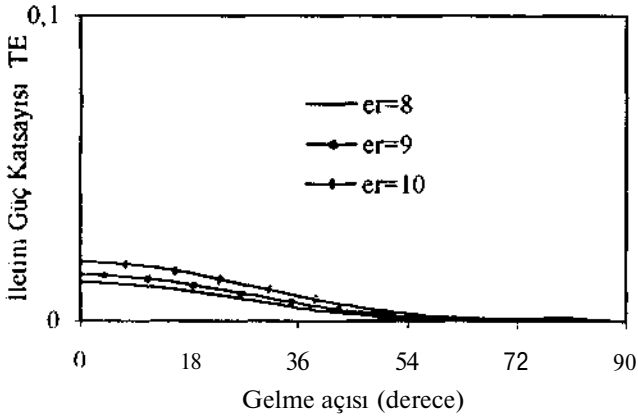
Şekil 3. de levha kalınlığının farklı değerleri için yansıma ve iletim güç katsayılarının gelme açısına göre grafikleri çizilmiştir. Levha kalınlığının $X/8$ ($d = 3.125$ mm)



(a)



(b)



(c)

Şekil 4. Dielektrik sabitinin farklı değerleri için yansıma ve iletim güç katsayılarının gelme açısına göre grafikleri. $\epsilon = 0.005$ S and $d = 6.25$ mm. (a) - Yansıma Güç Katsayısı TM, (b) - İletim Güç Katsayısı TM, (c) - İletim Güç Katsayısı TE.

değeri için Brewster açısı olmayıp ortak-kutupsal iletim güç katsayısı sıfıra yakinken, çapraz-kutupsal iletim güç katsayısı daha yüksektir. Levha kalınlığının $2/4$ ($d = 6.25$ mm) ve $7/2$ ($d = 12.5$ mm) değerleri için Brewster açısı $0 = 75^\circ$ de olup, her iki değer için de çapraz-kutupsal iletim güç katsayısı sıfıra yakındır.

Şekil 4. de dielektrik sabitinin farklı değerleri için yansıma ve iletim güç katsayılarının gelme açısına göre grafikleri çizilmiştir. Dielektrik sabitindeki değişimlerden Brewster açısının değişmediği gözlenmiştir. Dielektrik sabiti arttıkça, ortak-kutupsal yansıma güç katsayısı Brewster açısına kadar azalmakta ve bu değerden sonra hızlı bir şekilde artarak 90° de bire ulaşmaktadır. Ortak-kutupsal iletim güç katsayısı ise Brewster açısına kadar artmakta ve bu değerden sonra hızlı bir şekilde azalarak 90° de sıfır olmaktadır. Çapraz-kutupsal iletim güç katsayısındaki değişimler sıfıra yakın olduğu için ölçü küçültülerek çizilmiştir.

1. SONUÇ

Çeyrek dalga boyu kalınlıktaki bakışsız paralel bir levhanın düzlemsel bir dalgayı bir miktar döndürdüğü, böyle iki levha kullanılarak istenilen polarizasyondaki bir dalganın istenilen polarizasyondaki başka bir dalgaya dönüştürülebileceği [5] bilinmektedir. Bu tür dönüştürücülerde bakışsız levhanın yansıma ve iletim güç katsayılarını bilmek büyük avantajlar sağlayacaktır. Yine bu çalışmanın sonucu elektromanyetik alanlar, anten ve mikrodalga konularında değişik uygulama alanları bulabilir.

2. KAYNAKÇA

[1] S. Bassiri, C. H. Papas ve N. Engheta, "Electromagnetic wave propagation through a dielectric - clüral interface and Ürough a chiral slab", *J. Opt. Soc. Am. A*, vol. 5, pp.1450- 1459, SepL 1988.

[2] K. Delihacioğlu ve S. Uçkun, "Calculation of the Reflection and Transmission Powers of Ghiral Slab for TE and TM Wave Excitation", *Proceedings of 8th International Crimean Microwave Conference, Crimico'98*, 14-17 September 1998, Sevastopol, Crimea.Ukraine.

[3] K. Delihacioğlu, *Power reflection and transmission coefficients for a chiral slab and meander line polarizer with chiral siab*. A Master Thesis in Electrical and Electronics Engineering University of Gaziantep, Nov. 1998.

[4] N. Engheta ve D. L. Jaggard "Electromagnetic Clürality and its Applications", *IEEE Antennas and Propagation Society Newsletter*, vol. 30 pp. 6-12, Oct.1988.

[5] A.J. Viitanen ve I.V. Lindell, "Uniaxial chiral quarter-wave polarisatin transformer," *Electron. Lett.* Vol. 29, no. 12, pp. 1074-1075, 1993.

ZAMAN DÜZLEMİNDE SONLU FARKLAR YÖNTEMİ İLE MİKROŞERİT HAT ANALİZİ

Gonca SINMAZÇELİK, Doğan DİBEKÇİ, S. Cumhuri BAŞARAN

Elektronik ve Haberleşme Mühendisliği Bölümü

Kocaeli Üniversitesi 41300-Kocaeli

E-mail: sgonca@artemis.efes.net.tr

ABSTRACT

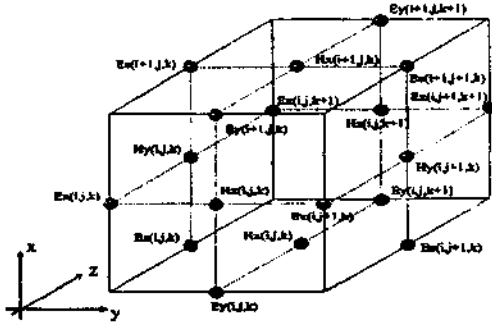
Finite Difference Time Domain Method (FDTD) is widely used in today's researches for solving the scattering problems, near to far field transformations, resonators, dielectric wave guides, radars, mobile phones. Microstrip lines are preferably chosen because of their structural properties in microwave integrated circuit technology. In this study, the time analysis of microstrip lines is done and the results, which are calculated with using MUR and DISPERSIVE absorbing boundary conditions are observed.

1. GİRİŞ

Modern bilgisayarların hafıza ve güç kapasitesinin her geçen gün artması sebebiyle araştırmacılar elektromanyetik alan problemlerini frekans düzlemi yerine zaman düzleminde çözmeyi tercih etmektedirler. Benzetim tekniklerinde diğer bir değişim kullanılan denklemlere sürekli değil ayrık yaklaşımın kullanılmasıdır. Çünkü ayrık yaklaşım bilgisayar yardımıyla denklemlerin çözümünde büyük kolaylıklar sağlamaktadır. Buna güzel bir örnek ayrık denklemler kullanılarak zaman düzleminde benzetim yapmamızı sağlayan üç boyutlu, zaman düzleminde sonlu farklar yöntemidir. Zaman Düzleminde Sonlu Farklar (ZDSF) yönteminin temelleri, 1966 yılında Kane S. Yee tarafından atılmış ve günümüzde en yaygın elektromanyetik modelleme tekniklerinden biri haline gelmiştir. [1] Sözü edilen yöntem ve mikroşerit hatlara uygulanması, takip edilen bölümlerde verilmektedir.

2. Z.D.S.F YÖNTEMİ

Zaman düzleminde sonlu farklar yönteminde, üç boyutlu problemlerde uzaydaki ayrıklaştırma, Yee tarafından önerilen birim hücre kullanılarak gerçekleştirilir. (Şekil 1)



Şekil 1. Yee Hücresi

ZDSF yönteminin formülasyonu için başlangıç noktası Maxwell'in rotasyonel denklemleridir. Bu denklemler, üç boyutlu ZDSF yönteminin uygulanabilmesi için, Yee birim hücresi gözönüne alınarak şu şekilde ayrıklaştırılmalıdır [2]:

$$E_x^{n+1}(i, j, k) = E_x^n(i, j, k) + \frac{\Delta t}{\epsilon} \left[\frac{H_y^{n+1/2}(i, j+1, k) - H_y^{n+1/2}(i, j, k)}{\Delta y} - \frac{H_z^{n+1/2}(i, j, k+1) - H_z^{n+1/2}(i, j, k)}{\Delta z} \right] \quad (D)$$

$$E_y^{n+1}(i, j, k) = E_y^n(i, j, k) + \frac{\Delta t}{\epsilon} \left[\frac{H_x^{n+1/2}(i, j, k+1) - H_x^{n+1/2}(i, j, k)}{\Delta z} - \frac{H_z^{n+1/2}(i+1, j, k) - H_z^{n+1/2}(i, j, k)}{\Delta x} \right] \quad (2)$$

$$E_z^{n+1}(i, j, k) = E_z^n(i, j, k) + \frac{\Delta t}{\epsilon} \left[\frac{H_x^{n+1/2}(i+1, j, k) - H_x^{n+1/2}(i, j, k)}{\Delta x} - \frac{H_y^{n+1/2}(i, j+1, k) - H_y^{n+1/2}(i, j, k)}{\Delta y} \right] \quad (3)$$

$$H_x^{n+1/2}(i, j, k) = H_x^{n-1/2}(i, j, k) - \frac{\Delta t}{\mu} \left[\frac{E_z^{n+1/2}(i, j, k) - E_z^{n+1/2}(i, j, k-1)}{\Delta z} - \frac{E_y^{n+1/2}(i, j, k) - E_y^{n+1/2}(i, j, k-1)}{\Delta y} \right] \quad (4)$$

$$H_y^{n+1/2}(i, j, k) = H_y^{n-1/2}(i, j, k) - \frac{\Delta t}{\mu} \left[\frac{E_z^{n+1/2}(i, j, k) - E_z^{n+1/2}(i, j, k-1)}{\Delta z} - \frac{E_x^{n+1/2}(i, j, k) - E_x^{n+1/2}(i-1, j, k)}{\Delta x} \right] \quad (5)$$

$$H_z^{n+1/2}(i, j, k) = H_z^{n-1/2}(i, j, k) - \frac{\Delta t}{\mu} \left[\frac{E_x^{n+1/2}(i, j, k) - E_x^{n+1/2}(i-1, j, k)}{\Delta x} - \frac{E_y^{n+1/2}(i, j, k) - E_y^{n+1/2}(i, j-1, k)}{\Delta y} \right] \quad (6)$$

Ax, Ay ve Az. problem uzayını ayrıklaştırmak için kullanılan birim hücrenin sırasıyla x, y ve z yönlerindeki boşotlarıdır. At ise zaman adımını ifade etmektedir. Zaman adımının tespitinde kullanılması gereken kararlılık koşulu;

$$c \cdot \Delta t \leq \left[\frac{1}{(\Delta x)^2} + \frac{1}{(\Delta y)^2} + \frac{1}{(\Delta z)^2} \right]^{-\frac{1}{2}} \quad (7)$$

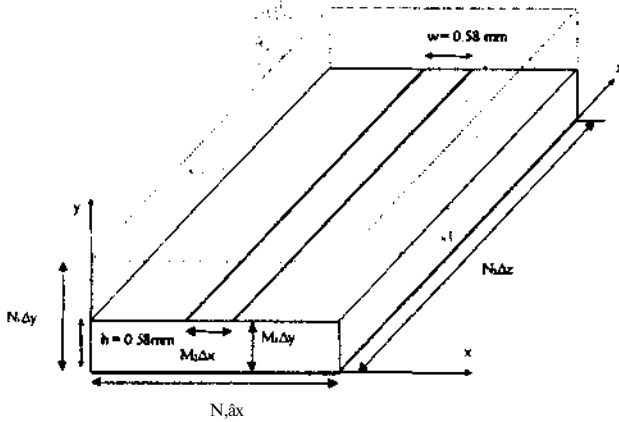
şeklinde ifade edilen " Courant Kararlılık Koşulu" dur [3]. Bu çalışmada $\Delta x = \Delta y = \Delta z$ alındığı için (7) numaralı denklem aşağıdaki gibi yazılabilir:

$$V_{ma} \cdot v_{At} \leq \frac{1}{\sqrt{3}} \cdot \Delta h \quad (8)$$

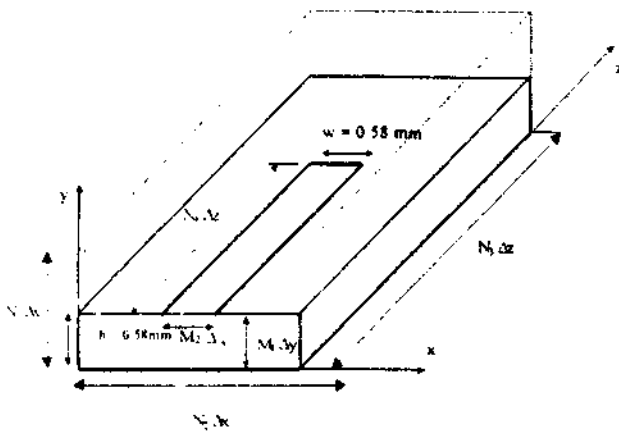
2. ZDSF YÖNTEMİNİN MİKROŞERİT HATLARA UYGULANMASI

ZDSF yönteminin uygulandığı mikroşerit hat üç boyutlu olarak tanımlanmıştır. Hattın tabanının sıfır kalınlıklı mükemmel iletken tabaka ile kaplı, üst kısmında ise w genişliğinde sıfır kalınlıklı mükemmel iletken şerit bulunduğu kabul edilmiş, mikroşerit hattı oluşturan hücrelerin kenarları $\Delta x = \Delta y = \Delta z = 0.058 \text{ mm}$ alınmıştır. Analizi yapılan hatların yapısı şekil 2 ve şekil 3'de görüldüğü gibidir. Programda kaynak olarak Gauss' fonksiyonu kullanılmıştır. Gauss

fonsiyonu, programda $e^{-a} (1 - P^{At})^2$, $a = (4/(JAt))^2$ şeklinde tanımlanmıştır.



Şekil 2. Mikroşerit Hat



Şekil 3. Sonu açık mikroşerit hat

2.1. Sınır Koşulları

Sınır koşulunun tanımlanması her zaman gerekli değildir. Eğer ZDSF problem uzayı sonlu fark denklemleri ile doğrudan tanımlanabilen koşullarla sonlandırılmışsa, sınır koşulu tanımına gerek kalmaz. Örneğin, dalga kılavuzu içindeki elektromanyetik olay modellenecek ise, teğet elektrik alan duvarlar üzerinde sıfırdır, ve bu durumda ayrıca sınır koşulu tanımına gerek duyulmaz. Ancak mikroşerit devre elemanlarının ZDSF yöntemi ile analizinde sınır koşulu tanımlaması yapılmadığı takdirde, gerçekte olmayan ancak bizim sınırlandırmamız ile oluşan yapay sınırlardan yansımalar meydana gelir. Bu çalışmada mikroşerit hattın sınırlarında birinci derece yaklaşık Mur tipi ve dağıtıcı sınır koşulları kullanılmıştır. Gerrit Mur tarafından tanımlanan 1. derece MUR tipi sınır koşulu denklemi $x=0$ düzlemi için,

$$(5x + c; 3t)E = 0 \quad (9)$$

şeklinde yazılabilir [4], $x=0$ düzleminde teğet elektrik alan bileşeni olan E_x için birinci derece Mur sınır koşulu,

$$E_x(O, j, k + 1/2) = E_x(1, j, k + 1/2) + \frac{c_x \Delta t - \Delta y}{c_x \Delta t + \Delta y} [E_x(1, j, k + 1/2) - E_x(0, j, k + 1/2)] \quad (10)$$

şeklinde sayısallaştırılabilir.

a faktörü ile düzeltilmiş dağıtıcı sınır koşulu tanımlaması,

$$(3z + v; 3t + a)E = 0 \quad (11)$$

şeklinde yapılmıştır [5]. Düzeltme katsayısı $c \frac{1}{\Delta z}$ olarak verilmektedir. (10) eşitliği sayısallaştırılırsa

$$Y_1 = \frac{J - p}{1 + p_i(1 + a, \Delta z)} \cdot \frac{v, \Delta t}{\Delta z} \cdot \frac{1 + p_i}{1 + p_i(1 + a, \Delta z)} \cdot \frac{1}{\Delta z} \quad (12)$$

$$E_x = (\beta + 1)E_v, - PE_x, -1 + (y + y) (E_{M, -1} - E_{x, -1}) - (pY + y) (E_{x, -1} - E_{x, -1} - Y \cdot Y \cdot E_{L, -1} - 2E_{L, -1} + E_{i, -1}) \quad (12)$$

olacaktır.

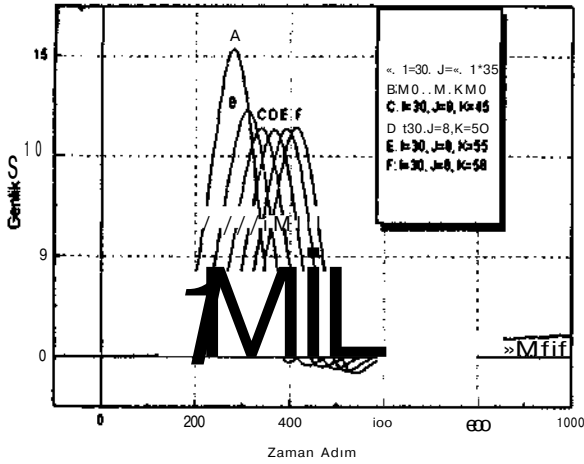
3. SAYISAL SONUÇLAR

Bu çalışmada, şekil 2 ve şekil 3' de verilen sonsuz uzun ve sonu açık mikroşerit hatların ZDSF yöntemi ile analizleri yapılmıştır. Hatlarda kullanılan parametreler aşağıda verilmiştir.

Dielektrik tabakanın kalınlığı	: $h = 0.58 \text{ mm}$
Metal şeritin genişliği	: $w = 0.58 \text{ mm}$
Metal şeritin kalınlığı	: $t = 0$
Hücre boyutu	: $\Delta x = \Delta y = \Delta z = 0.058 \text{ mm}$
$N_x = 20, N_y = 60, N_z = 140, N_4 = 90$	

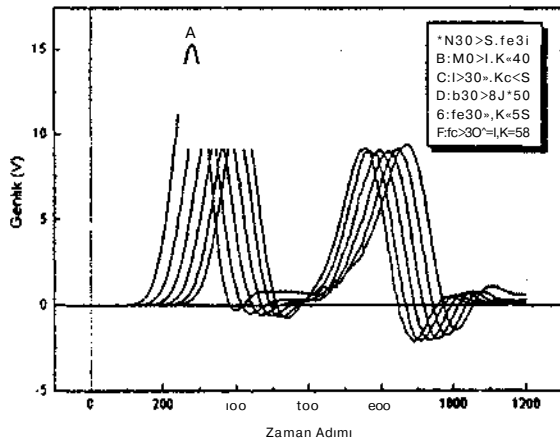
Sonsuz uzun mikroşerit hat üzerinde birinci derece MUR tipi sınır koşulu uygulanması durumunda elektrik alan bileşeni

Ey'nin zamana göre değişimi şekil 4 'de verilmiştir.



Şekil 4. Sonsuz uzun mikroşerit hat üzerinde elektrik alan bileşeni Ey'nin zamana göre değişimi

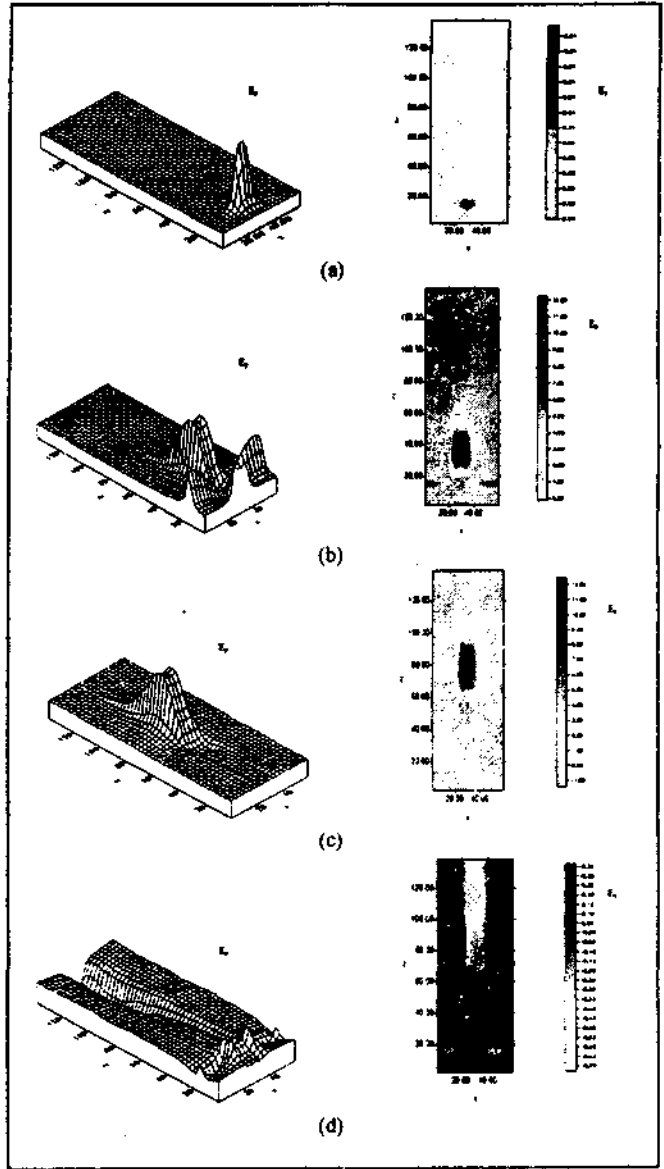
Şekil 4 'de verilen zaman analizi I ve J'nin sabit değerleri için K değiştirilerek yapılmıştır. Şekilden de görüldüğü gibi Ey alan bileşeni mikroşerit hat boyunca (z eksen yönünde) ilerlemektedir. Kaynağa yakın bölgede darbe genliği yüksektir, ancak birkaç zaman adımı sonrasında genlikte ani bir düşme meydana gelmekte ve yayılım kararlı bir hal almaktadır. Hat sonundan gözardı edilebilecek derecede az yansımaya olmaktadır alan bileşeni sonsuz uzun bir hat boyunca yayılıyormuş gibi davranmaktadır.



Şekil 5. Sonu açık mikroşerit hat üzerinde elektrik alan bileşeni Ey'nin zamana göre değişimi

Şekil 5'te sonu açık mikroşerit hat üzerinde Ey'nin zamana göre değişimi verilmiştir. Grafikten de görüldüğü gibi belli bir zaman adımından sonra (hattın açık ucundan) yansımaya meydana gelmektedir. Aşağıda sınırlarında MUR tipi sınır koşulu kullanılmış sonsuz uzun (şekil 6) ve sonu açık (şekil 7) mikroşerit hat üzerinde elektrik alan bileşeni Ey'nin davranışı verilmiştir. Benzer şekilde diğer elektrik ve manyetik alan

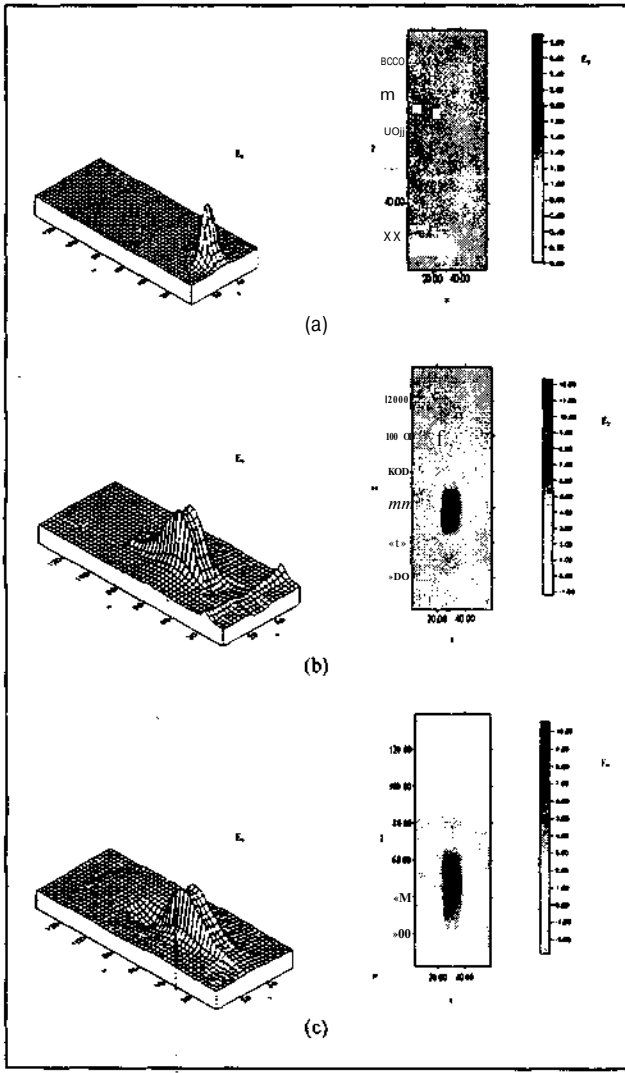
bileşenlerini de göstermek mümkündür.



Şekil 6. Ey alan bileşeninin sonsuz uzun mikroşerit hat boyunca farklı zaman adımlarındaki davranışı . grafiklerin çizildiği zaman adımları şöyledir:(a) 200At (b) 400At (c) 600At(d) 1000At

Şekil 6'da görüldüğü gibi enerjinin büyük bir kısmı seritin altında, z- doğrultusu boyunca iletilmektedir. 1100. Zaman adımında dalganın çok az bir kısmının geri yansıdığı ve ilerleyişini problem uzayının devamında sürdürüyormuş izlenimini verdiği görülmektedir. Bu da istenen bir durumdur çünkü mikroşerit hattın sonsuz uzun olduğu kabul edilmiştir, dolayısıyla yansımalar olmamalıdır. Günümüzde bu yansımaları minimuma indirebilmek için sınır koşulları ile ilgili çalışmalar devam etmektedir.

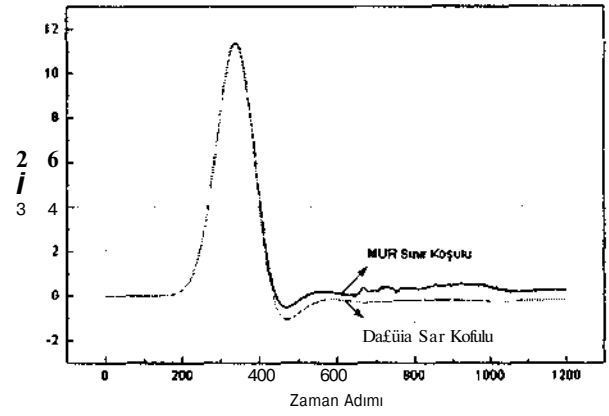
Şekil 7'de verilen grafikler sonu açık mikroşerit hatta elektrik alanı Ey'nin davranışını vermektedir.



Şekil 7. E_y alan bileşeninin sonu açık devre olan mikroşerit hat boyunca farklı zaman adımlarındaki davranışı . grafiklerin çizildiği zaman adımları şöyledir: (a) 200At (b) 500At (c) 900At

Şekil 7 'de görüldüğü gibi, sonu açık mikroşerit hatta ilerleyen dalga açık uçtan geriye yansımaktadır. Bu da uygulanan ZDSF yönteminin doğru sonuç verdiğinin bir göstergesidir.

1. derece MUR tipi sınır koşulu, mikroşerit hatlara uygulanabilirliğinin oldukça kolay olması ve gerçeğe yakın sonuçlar elde edilebilmesi sebebiyle yaygın olarak kullanılmaktadır. Ancak, sınır bölgelerinde radyasyon koşulunu tam olarak sağlayamaması ve sadece tek bir frekanstaki dalgalan yutabilmesi gibi olumsuzluklarından dolayı alternatif sınır koşulları üzerinde çalışmalar devam etmektedir. Son yıllarda literatürde sıkça rastlanılan dağıtıcı sınır koşulu olarak tanımlanan (Dispersive Boundary Condition) DBC, daha geniş bir frekans bandı üzerinde etkili olmaktadır. Şekil 8'de her iki sınır koşulu kullanılarak mikroşerit hat üzerinde elektrik alan bileşeni E_y 'nin zamana göre değişimi incelenmiştir.



Şekil 8. Sonsuz uzunluklu mikroşerit hat üzerinde E_y alan bileşeninin farklı sınır koşullarında zamana göre değişimi

Şekil 8'den de görüldüğü gibi dağıtıcı sınır koşulu uygulanması durumunda sınırdan yansımalar MUR tipi sınır koşuluna göre daha az olmaktadır.

4. SONUÇLAR

Bu çalışmada üç boyutlu ZDSF yöntemi sonsuz uzun ve sonu açık mikroşerit hatlara uygulanmış, yapay sınırlardan meydana gelen yansımaları engellemek amacıyla uygulanan MUR tipi ve dağıtıcı sınır koşulları incelenmiştir. Analizler neticesinde ZDSF yönteminin mikroşerit hatlarda iyi sonuçlar verdiği ve dağıtıcı sınır koşullarının MUR tipi sınır koşuluna kıyasla yansımaları daha çok engellediği gözlenmiştir.

5. KAYNAKÇA

- [1] K. S. Yee, " Numerical solution of initial boundary value problems involving maxwell's equations in isotropic media. " *IEEE Trans. Antennas and Propagat.*, AP-14, pp.302- 307, 1966.
- [2] David M. Sheen, Sami M. Ali, " Application of the three-dimensional finite-difference time-domain method to the analysis of planar microstrip circuits." *IEEE Trans. Microwave Theory Tech.*, vol. 38, no.7, pp.849-857, July 1990
- [3] Kunz Kari S., Liebbbers Raymond J. "Finite difference time domain method for electromagnetics" *CRC Press, Inc*, 1993.
- [4] G. Mur " Absorbing boundary conditions for the finite-difference approximation of the time-domain electromagnetic field equations." *IEEE Trans. Electromag. Compat.*, EMC-23, pp.377-382, Nov.1981.
- [5] Z. Bi. K. Wu C. Wu, J. Litva, " A dispersive boundary condition for microstrip component analysis using the fdtd method. " *IEEE Trans. Microwave Theory Tec/2.*, MTT-40, pp.774-777, 1992.

İKİ BOYUTLU TM PROBLEMİNDE PML EMİCİ SINIR ŞARTININ UYGULANMASI

Gölge ÖĞÜCÜ, Tuncay EGE
Elektrik ve Elektronik Mühendisliği Bölümü
Gaziantep Üniversitesi
27310 Gaziantep
E-mail: ogucu@gantep.edu.tr
ege@gantep.edu.tr

ABSTRACT

Perfectly matched layer (PML) is a new technique developed to solve the unbounded electromagnetic problems in finite-difference time-domain (FDTD) method. This layer absorbs electromagnetic waves incident upon it at all angles without any reflection. In this letter, the problem in two dimensions with a source located at the center of the computational domain terminated by PML is solved for TM case and the reflections from the boundaries are computed. The results are also presented.

1. GİRİŞ

Son yıllarda, açık-alan elektromanyetik problemlerinin modellenmesinde Maxwell denklemlerinin sonlu-farklar zaman-domeyni (FDTD) metodu ile çözümleri kullanılmaktadır. Sonsuz bir alan üzerinde hesaplama yapılamayacağından, bu modellerde öncelikli çalışmalar, hesaplamaların yapılacağı sınırsız alanı sonlandıracak emici sınır şartları (absorbing boundary conditions - ABC) üzerine olmuştur. Berenger'nin [1] tanıttığı tam benzeşimli tabaka (PML) metodu bu tür problemlerin çözümünde çok etkili bir yöntemdir. Bu teknik, elektrik ve manyetik alan elemanlarının farklı ortam parametreleri ile çarpılmış iki alt parçaya bölünmesine dayanır. Böylelikle Maxwell denklemleri modifiye edilerek, herhangi bir frekanstaki ve geliş açısındaki elektromanyetik dalganın PML'den yansıma katsayısının teorik olarak sıfır olması sağlanır. Bu özelliğinden dolayı ortam tam benzeşimli tabaka olarak adlandırılır.

Berenger'nin ilk çalışmasından sonra alternatif PML teknikleri geliştirilmiş [2],[3] ve orijinal tekniğe değişik modifikasyonlar yapılmıştır [4]-[7].

Berenger, PML'i orta noktasına dik elektrik (transverse electric - TE) dalgalar yayan bir kaynağın yerleştirildiği iki-boyutlu bir bölgeyi sonlandırmak için kullanılmıştır. Bu çalışmada, önce dik manyetik (transverse magnetic - TM) durumu için Maxwell denklemleri çıkarılmıştır. Daha sonra, orta noktasında silindirik TM dalgaları yayan bir kaynağın bulunduğu iki-boyutlu bir alanı sınırlandırmak için emici şart olarak PML kullanılmıştır. PML'den yansıyan dalgalara ait yansıma katsayıları nümerik olarak hesaplanmıştır ve bunlar grafiklerde gösterilmiştir.

2. İKİ-BOYUTLU TM DURUMU

Alan elemanları E_x , H_x ve H_y olan TM hali için iki-boyutlu Maxwell denklemlerini düşünelim. Eğer dış sınır tabakasındaki elektriksel iletkenliği a ve manyetik kaybı a' ile ifade edersek, açık hava ile dış sınır tabakası arasındaki arayüze normal bir açıyla gelen düzlemsel bir dalganın yansımadan geçebilmesi için

$$\frac{\sigma}{\epsilon_0} = \frac{\sigma'}{\mu_0} \quad (D)$$

koşulu sağlanmalıdır.

PML tekniğinde de bu koşula uyulur. Buna ek olarak elektrik alanı E_x iki alt bileşene, E_a ve $E_{a'}$ 'a bölünür. Maxwell denklemleri böylelikle

$$\epsilon_0 \frac{\partial E_x}{\partial t} = \frac{dH_x}{dx} \quad (2.a)$$

$$\frac{\partial E_x}{\partial t} = -\frac{dH_x}{dy} \quad (2.b)$$

$$\mu_0 \frac{\partial H_x}{\partial t} + \omega J H_x = -\frac{\partial (E_a + E_{a'})}{dy} \quad (2.c)$$

$$\mu_0 \frac{dH_x}{dt} + \sigma' H_x = \frac{S(E_a + E_{a'})}{dx} \quad (2.d)$$

şeklinde yazılabilir.

PML ortamında propagasyon yapan herhangi bir alan bileşenini $t//$ ve dalga empedansını da Z ile gösterebiliriz. Berenger'nin de belirttiği gibi [1], her bir (a, a') ve (a, a') çifti denklem (1)'deki şartı sağlarsa, $y//$ ve Z aşağıdaki gibi olur:

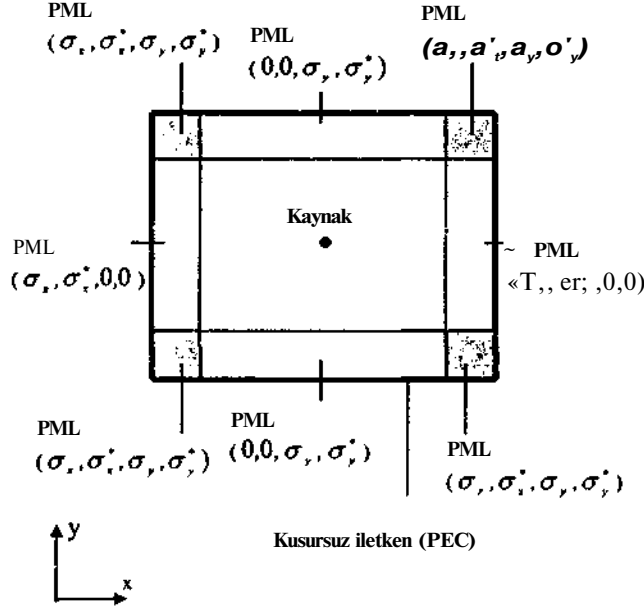
$$\psi = \psi_0 e^{j\omega \left(t - \frac{x \cos \phi + y \sin \phi}{c} \right)} e^{-\frac{\sigma_a \cos \phi}{\mu_0 c} x} e^{-\frac{\sigma_{a'} \sin \phi}{\mu_0 c} y} \quad (3.a)$$

$$Z = \sqrt{\frac{\mu_0}{\epsilon_0}} \quad (3.b)$$

Denklem (3)'de % dalga genliğini, c ışık hızını, $\hat{\epsilon}$ elektrik alan vektörünün y eksenine ile yaptığı açığı göstermektedir. Bu denklemlerden anlaşılacağı gibi, PML ortamındaki bir dalga, ışığın boşluktaki hızına eşit şekilde yayılır, fakat x ve y yönünde zayıflar. Buna ek olarak, PML ortamının dalga empedansı ve yayılım frekansı veya açısı ne olursa olsun, boşluğunkine tam olarak eşittir.

3. FDTD HESAPLAMA ALANI VE PML

Denklem (3)'deki sonuçlar, herhangi bir dalganın PML'den yansıma katsayısının teorik olarak sıfır olduğunu göstermek için yeterlidir.



Şekil 1. PML tekniği

Şekil 1'de PML tekniğinin iki boyutlu bir problem için genel bir uygulaması görülmektedir. FDTD hesaplama alanı PML ile çevrilmiş ve PML de kusursuz iletkenle (perfect electric conductor - PEC) kapatılmıştır. Sağ ve sol PML'de, (1)'deki şartı sağlayan (a_x, a'_x) çifti bulunmaktadır ve yansımaz bir yüzey için a_y, a'_y sıfır seçilmiştir. Aynı şekilde, üst ve alt PML'de (1)'deki şartı sağlayan (a_y, a'_y) çifti sıfırdan farklı alınırken a_x, a'_x sıfır alınmıştır. Dört köşede her iki çift de mevcuttur ve bunlar komşu PML'lerine eşitlenmiştir. Berenger ortamdaki kayıp, ortamın derinliği, p , ile artması gerektiğini saptamıştır. Eğer SPML ortamının kalınlığını gösterirse, iletkenlik

$$\sigma(\rho) = \sigma_{\max} \left(\frac{\rho}{s} \right) \quad (4)$$

olarak ifade edilebilir. (4)'de CT, hem ρ 'u hem de a_y 'i temsil etmektedir, n , ortam iletkenliğinin derinliğe göre nasıl değiştiğini gösteren bir parametredir ve tamsayı değerleri alır. Böylelikle PML yansıma faktörü olarak

$$R(\theta) = e^{-2\sigma_{\max} \delta \cos \theta / (n+1) \epsilon_0 c} \quad (5)$$

bulunur [8]. $\theta = 0$ olduğu durum normal geliş açışımı göstermektedir.

FDTD algoritmasında standart Yee [9] zaman-adımı yerine üstel zaman-farkı kullanılmıştır. Buna göre sağ PML'deki alan elemanları

$$E_x^{n+1}(i, j) = e^{\sigma_x(i) \Delta t / \epsilon_0} E_x^n(i, j) + \frac{(1 - e^{\sigma_x(i) \Delta t / \epsilon_0})}{\langle T, (i) A_x \rangle} [H_y^{n+1/2}(i + 1/2, j) - H_y^{n+1/2}(i - 1/2, j)] \quad (6.a)$$

$$E_y^{n+1}(i, j) = E_y^n(i, j) - \frac{\Delta t}{\epsilon_0 \Delta y} x [H_x^{n+1/2}(i, j + 1/2) - H_x^{n+1/2}(i, j - 1/2)] \quad (6.b)$$

$$H_x^{n+1/2}(i, j + 1/2) = H_x^{n-1/2}(i, j + 1/2) - \frac{\Delta t}{\mu_0 \Delta y} [E_x^n(i, j + 1) + E_x^n(i, j - 1) - E_x^n(i, j) - E_y^n(i, j)] \quad (6.c)$$

$$H_y^{n+1/2}(i + 1/2, j) = e^{-\sigma_y(i+1/2) \Delta t / \mu_0} H_y^{n-1/2}(i + 1/2, j) + \frac{(1 - e^{-\sigma_y(i+1/2) \Delta t / \mu_0})}{a_x(i+1/2) A_x} (i^n + 1/2) + E_y^n(i + 1, j) - E_y^n(i, j) \quad (6.d)$$

şeklinde kesikli hale getirilir. Yukarıdaki denklemde i, j , sırayla hücrenin x ve y yönündeki endeks sayılandır, n zaman adımını göstermektedir. Diğer PML'ler için de benzer şekilde FDTD denklemleri yazılabilir.

4. NÜMERİK SONUÇLAR

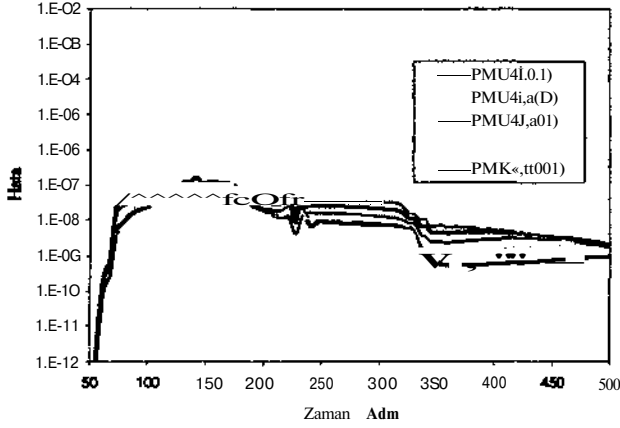
Buradaki problemin çözüm metodu [1]'dekine benzerdir. Test alanı olarak 100 X 50 FDTD hücresi kullanılmış ve bu alan değişik kalınlıklardaki PML'lerle çevrilmiştir. Referans alanı olarak da 400 X 400 hücreli sonlandırılmamış bir FDTD alanı seçilmiştir. Hücre kenarı 1,5 cm ve zaman artımları 25 ps alınmış, her iki alanın da tam orta noktasına [1]'dekinden farklı olarak elektrik kaynağı yerleştirilmiştir.

Nümerik çözümden kaynaklanan yansımaları hesaplamak için her zaman adımında test ve referans alanındaki elektrik ve manyetik alanların farkını hesaplanıp global bir hata elde etmek için bunların kareleri alınıp toplanmıştır. Şöyle ki

$$Hata = \sum_{i=1}^{100} \sum_{j=1}^{50} [E_z(i, j) - E_x(i, j)]^2 \quad (7)$$

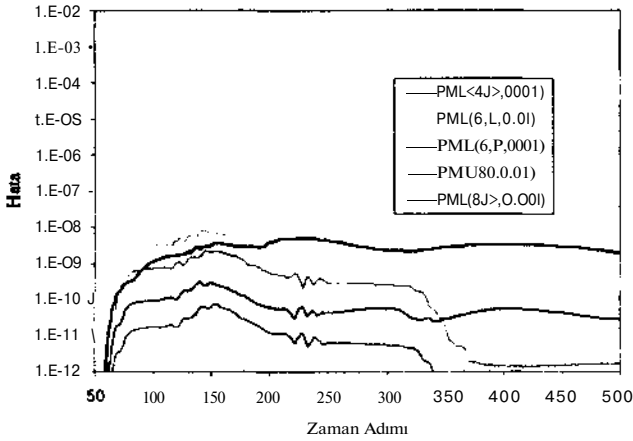
Burada alt-indis r referans bölgesindeki elektrik alanını temsil etmek için kullanılmıştır.

Şekil 2'de dört hücrelik PML'lerle sınırlandırılmış alan için yansımadan doğan hatalar, değişik normal yansıma faktörleri için gösterilmiştir. $R(Q)$ düşürüldükçe hatanın arttığı görülmektedir. Bu da her kalınlık için optimum bir $R(0)$ değeri olduğunu gösterir.



Şekil 2. Değişik $R(0)$ değerleri için elektrik alanındaki yansımalar

Şekil 3'de farklı PML ortamlarıyla elde edilen optimum sonuçlar karşılaştırılmıştır. Lineer ve ikinci dereceden değişimli kayıpları olan dört, altı ve sekiz hücrelik PML'ler kullanılmıştır. Beklenildiği gibi kaybı lineer olarak değil ikinci dereceden değişen PML'lerde yansıma daha azdır. PML'in kalınlığı artırıldığında, hatada daha büyük bir düşüş sağlanmaktadır.



Şekil 3. Dört-sekiz hücreli PML'lerden yansıma

H_x ve H_y için de benzer yansımadan doğan hatalar hesaplanıp grafikleri çizilebilir [8].

5. SONUÇLAR

Burada, Berenger'nin tanıttığı emici sınır şartı PML, TM dalgalarının propagasyon yaptığı alanı sonlandırmak için kullanılmıştır. Bu sınırlamadan doğan yansımalar ϵ^{\prime}-afikler-

de gösterilmiştir ve bu hataların oldukça düşük olduğu görülmüştür. PML çok etkili emici bir ortam karakteristiği gösterdiğinden birçok elektromanyetik alan probleminde kullanılabilir.

6. KAYNAKÇA

- [1] Berenger, J. P., "A perfectly matched layer for the absorption of electromagnetic waves," *J. Comput. Phys.*, vol. 114, no. 2, pp. 185-200, 1994.
- [2] Gedney, S. D., "An anisotropic perfectly matched layer-absorbing medium for the truncation of FDTD lattices," *IEEE Trans. Antennas Propag.*, vol. 44, no. 12, pp. 1630-1639, 1996.
- [3] Sacks, Z. S., Kingsland, D. M., Lee, R. ve Lee, J.-F., "A perfectly matched anisotropic absorber for use as an absorbing boundary condition," *IEEE Trans. Antennas Propag.*, vol. 43, no. 12, pp. 1460-1463, 1995.
- [4] Chew, W. C. ve Weedon, W. H., "A 3D perfectly matched medium from modified Maxwell's equation with stretched coordinates," *Microwave Opt. Tech. Lett.*, vol. 7, no. 13, pp. 599-604, 1994.
- [5] Rappaport, C. M., "Perfectly matched absorbing boundary conditions based on anisotropic lossy mapping of space," *IEEE Microwave Guided Wave Lett.*, vol. 5, no. 3, pp. 90-92, 1995.
- [6] Fang, J. ve Wu, Z., "Generalized perfectly matched layer - An extension of Berenger's perfectly matched layer boundary condition," *IEEE Microwave Guided Wave Lett.*, vol. 5, no. 12, pp. 451-453, 1995.
- [7] Uno, T., He, Y. ve Adachi, S., "Perfectly matched layer absorbing boundary condition for dispersive medium," *IEEE Microwave Guided Wave Lett.*, vol. 7, no. 9, pp. 264-266, 1997.
- [8] ögücü, G., *PML concept for the reflectionless absorption of electromagnetic waves*, Gaziantep On. Elek. Elekt. Müh., Yüksek Lisans Tezi, Gaziantep, 1998.
- [9] Yee, K. S., "Numerical solution of initial boundary value problems involving Maxwell's equations in isotropic media," *IEEE Antennas Propag.*, vol. 14, no. 3, pp. 302-307, 1966.

ZAMAN UZAMINDA BOŞLUK DİADİK GREEN FONKSİYONUNUN KÜRESEL DALGA FONKSİYONLARI İLE AÇILIMI İÇİN BİR İFADE

S. Alp AZİZOĞLU

ASELSAN A.Ş.

HC Elektronik Tasarım Müdürlüğü

06172 Ankara

e-mail: SAzizoglu@hc.aselsan.com.tr

S. Sencer KOÇ

Orta Doğu Teknik Üniversitesi

Elektrik ve Elektronik Müh. Bölümü

06531 Ankara

e-mail: skoc@ed.eee.metu.edu.tr

O. Merih BÜYÜKDURA

Orta Doğu Teknik Üniversitesi

Elektrik ve Elektronik Müh. Bölümü

06531 Ankara

e-mail: bdura@ed.eee.metu.edu.tr

ABSTRACT

The importance of expanding Green's functions in terms of orthogonal wave functions is practically self-evident when frequency domain scattering problems are of interest. Simultaneous expansions are expected to be useful in time domain problems as well. In this paper, an expression, expanded in terms of orthogonal spherical vector wave functions, for the free-space time domain dyadic Green's function is presented.

1. GİRİŞ

Bu makalede, zaman uzamı boşluk diadik Green fonksiyonunun, küresel bir yüzey üzerinde ortogonal olan vektörel dalga fonksiyonları cinsinden açılımı için bir ifade verilmektedir. Bu ifadede fonksiyonun \bar{R} ve \bar{R}' bağımlılığının yanı sıra \bar{R} ve \bar{R}' bağımlılığı da "ayrılmış" biçimdedir. Burada "ayrılmış"dan kasıt, açılımın her bir teriminin \bar{R} nin bir fonksiyonu ile \bar{R}' nün bir fonksiyonunun katlanması (convolution) halinde olmasıdır.

Problem, formel olarak 2. bölümde verilmiş, 3. bölümde ifade bulunmuştur. Nümerik bir örnek olarak da 4. bölümde mükemmel iletken bir küreden saçılım incelenmiştir.

2. PROBLEM

İlgilendiğimiz problem

$$\nabla \times \nabla \times \bar{\gamma}_o(\bar{R}, \bar{R}'; t) + \frac{\partial^2}{\partial t^2} \bar{\gamma}_o(\bar{R}, \bar{R}'; t) = -\bar{I} \delta(\bar{R} - \bar{R}') \delta(t) \quad (1)$$

kısmi diferansiyel denklemi ile birlikte radyasyon koşulunu sağlayan Green fonksiyonunu bulmaktır. Burada \bar{R} ve \bar{R}' , sırasıyla gözlem noktası ve kaynak noktasını gösteren

pozisyon vektörleri, \bar{r} birim diadidir. Bu Green fonksiyonu, $\bar{f}(\bar{R}, t)$ kaynağının boşlukta yarattığı $\bar{H}(\bar{R}, t)$ alanını bulmakta kullanılır. Başka bir deyişle,

$$\nabla \times \nabla \times \bar{A}(\bar{R}, t) - \Delta \bar{A}(\bar{R}, t) = \bar{J}(\bar{R}, t) \quad (2)$$

inhomojen kısmi diferansiyel denkleminin çözümü

$$\bar{\Psi}(\bar{R}, t) = - \int_V \int_{-\infty}^{\infty} \bar{\gamma}_o(\bar{R}, \bar{R}', t - \tau) \bar{f}(\bar{R}', \tau) d\tau dV' \quad (3)$$

ifadesiyle verilir. Burada V kaynağın içinde kaldığı bölgedir. Görüldüğü gibi, dalgaların boşluktaki yayılma hızı olarak $c=1$ aldık ki bu, frekans uzamı ifadelerimizin tümünde dalga numarası k ile açısal frekans ω nın aynı olduğu anlamına

gelir. (3) denkleminde de görülmektedir ki, $\bar{\gamma}_o$, uzay bağımlılığı olarak göz önüne alındığında bir süperpozisyon entegrali içinde yer aldığı için gerçekten bir Green fonksiyonu, ancak zaman bağımlılığı incelendiğinde bir katlanma (convolution) entegrali içinde gözüktüğü için bir darbe tepesi (impulse response) olarak yorumlanabilir.

3. FORMÜLASYON ve ÇÖZÜM

(1) denkleminin frekans uzamındaki kapalı ifade çözümü şöyledir:

$$\bar{\Gamma}_o(\bar{R}, \bar{R}'; k_o) = - \left[\frac{\nabla \nabla}{k_o^2} + \bar{I} \right] \langle \bar{R}, \bar{R}' \rangle \quad (4)$$

Burada $G_o(\bar{R}, \bar{R}'; k_o) = \frac{e^{-j k_o |\bar{R} - \bar{R}'|}}{4\pi |\bar{R} - \bar{R}'|}$, skalar frekans

uzamı Green fonksiyonudur.

Aynı denklemin, yine frekans uzamındaki çözümünün, küresel bir yüzey üzerinde ortogonal olan vektörel dalga fonksiyonları cinsinden açılımı denklem (5) de verildiği gibidir:

$$\bar{\Gamma}_o(\bar{R}, \bar{R}'; k_o) = \frac{1}{4\pi} \sum_q \frac{e^{j 2n + 1} (n-m) \setminus}{r(n+1)(n+m)!} \begin{cases} \bar{M}_q^{(4)}(k_o, \bar{R}) \bar{M}_q^{(1)}(k_o, \bar{R}') + \bar{N}_q^{(4)}(k_o, \bar{R}) \bar{N}_q^{(1)}(k_o, \bar{R}'), & |\bar{R}| > |\bar{R}'| \\ \bar{M}_q^{(1)}(k_o, \bar{R}) \bar{M}_q^{(4)}(k_o, \bar{R}') + \bar{N}_q^{(1)}(k_o, \bar{R}) \bar{N}_q^{(4)}(k_o, \bar{R}'), & |\bar{R}| < |\bar{R}'| \end{cases} \quad (5)$$

Bu ifadenin kaynak bölgesinde de geçerli olması için eklenmesi gereken terim gösterilmemiştir. Buradaki q endeksi

pnm endeksinin yerini tutmaktadır ve q endeksi üzerindeki toplam asalda verildiği gibidir:

$$\sum_V = \sum_{> \langle=0\rangle,=0}^{\infty} \sum_{n=0}^{\infty} \quad (6)$$

Endeks p, simetrik (e) ve antisimetrik (o) "değerlerini" alabilir, f_o = 1 ve m sıfırdan farklı iken, f_e = 2 dir.

M, N, m, n, l, vektörel dalga fonksiyonlarının ve t//skalar dalga fonksiyonunun birbirleriyle olan ilişkileri aşağıda verilmiştir.

$$\begin{aligned} \bar{M}_q^{(1),(4)}(k\bar{R}) &= \nabla \times (\bar{R}\psi_q^{(1),(4)}(k\bar{R})) \\ &= z_n^{(1),(4)}(kR)\bar{m}_q(\theta, \phi) \end{aligned} \quad (7)$$

$$\begin{aligned} \bar{N}_q^{(1),(4)}(k\bar{R}) &= \frac{1}{k} \nabla \times \bar{M}_q^{(1),(4)}(k\bar{R}) = \frac{z_n^{(1),(4)}(kR)}{kR} \bar{l}_q(\theta, \phi) \\ &+ \frac{d}{dR} \left[\frac{Rz_n^{(1),(4)}(kR)}{kR} \right] \bar{n}_q(\theta, \phi) \end{aligned} \quad (8)$$

$$\psi_{e, nm}^{(1),(4)} = z_n^{(1),(4)} P_n^m(\cos\theta) \begin{matrix} \cos m\phi \\ \sin m\phi \end{matrix} \quad (9)$$

$$z_n^{(1)}(kR) = j_n(kR)$$

$$z_n^{(4)}(kR) = h_n^{(2)}(kR)$$

$$\bar{m}_{e, nm}(\theta, \phi) = \begin{matrix} P_n^m(\cos\theta) \sin n\phi \\ \sin m\phi \end{matrix} \quad (10)$$

$$\bar{a} \bar{o} = \begin{matrix} P_n^m(\cos\theta) \\ \sin m\phi \end{matrix} \quad (12)$$

$$\bar{n}_q(\theta, \phi) = \hat{R} \times \bar{m}_q(\theta, \phi) \quad (13)$$

$$\bar{l}_{e, nm}(\theta, \phi) = n(n+1)P_n^m(\cos\theta) \begin{matrix} \cos m\phi \\ \sin m\phi \end{matrix} \hat{R} \quad (14)$$

f_e^m Associated Legendre fonksiyonlarını, j_n ve h_n⁽²⁾ sırasıyla küresel Bessel ve ikinci türden küresel Hankel fonksiyonlarını göstermektedir.

R ve R' bağımlılığını R nin bir fonksiyonu ile R' nün bir fonksiyonunun katlanması olarak yazmak istediğimiz zaman uzamı Green fonksiyonunu bulmak için (5) denkleminin ters Fourier dönüşümünü almamız gerekir. Bunun için (5) denkleminde \bar{M}, \bar{N} fonksiyonlarının yerine (7) ve (8) denklemleri kullanılarak \bar{m}, n, l cinsinden ifadeleri yazılır ve düzenlemelerden sonra $|\bar{R}| > |\bar{R}'|$ için aşağıdaki ifade elde edilir:

$$\begin{aligned} \bar{h}_n^{(2)}(\bar{R}, \bar{R}'; k_o) &= \frac{1}{4\pi} \sum_{n=0}^{\infty} \frac{(2n+1)}{n(n+1)} \left\{ \left[j_k h_n^{(2)}(k_o R) j_n(k_o R') \right. \right. \\ &+ \left. \left. \frac{y f_{n,}}{k_o^2 R R'} \right] + \left[\frac{y f_{n,}}{k_o^2 R R'} \right. \right. \\ &+ \left. \left. \frac{h_n^{(2)}(k_o R) j_n(k_o R')}{\sum_{>=e, o, m=0}^n \epsilon_m} \frac{(n-m)!}{(n+m)!} \bar{l}_q(\theta, \phi) \bar{l}_q(\theta', \phi') \right] \right. \\ &+ \left. \left[\frac{\Delta}{k_o^2 R R'} h_n^{(2)}(k_o R) \frac{d}{dR'} [R' j_n(k_o R')] \sum_{p=e, o, m=0}^n \epsilon_m \right. \right. \\ &+ \left. \left. \frac{(n-m)!}{(n+m)!} \bar{l}_q(\theta, \phi) \bar{n}_q(\theta', \phi') \right] + \left[\frac{\Delta}{k_o^2 R R'} \frac{d}{dR} [R h_n^{(2)}(k_o R)] \right. \right. \\ &+ \left. \left. j_n(k_o R') \sum_{p=e, o, m=0}^n \epsilon_m \frac{(n-m)!}{(n+m)!} \bar{n}_q(\theta, \phi) \bar{l}_q(\theta', \phi') \right] + \left[\frac{\Delta}{k_o^2 R R'} \frac{d}{dR} [R h_n^{(2)}(k_o R)] \right. \right. \\ &+ \left. \left. \frac{d}{dR} [R h_n^{(2)}(k_o R)] \frac{d}{dR'} [R' j_n(k_o R')] \sum_{p=e, o, m=0}^n \epsilon_m \frac{(n-m)!}{(n+m)!} \right. \right. \\ &+ \left. \left. \bar{n}_q(\theta, \phi) \bar{n}_q(\theta', \phi') \right] \right\} \quad (15) \end{aligned}$$

Aşağıdaki dönüşüm bilinmektedir [1],[2] :

$$\mathbf{0}^\circ) \quad F^{-1} \{ j_k h_n^{(2)}(kR) j_n(kR') \} = \frac{-(-1)^n}{2RR'} U_n(R, t-R) \left[P_n \left(\frac{t}{R'} \right) P \left(\frac{t}{R'} \right) \right] \quad (16)$$

Buradaki p(., (-1,1) aralığında bire, dışarıda sıfıra eşittir; ®, katlanma operasyonunu gösterir ve U_n dışa doğru yayılan dalgaları temsil eder:

$$\begin{aligned} U_n(R, t-R) &= \delta(t-R) \\ &+ \sum_{i=1}^{\infty} \frac{(-1)^i}{i!} (t-R)^i \delta(t-R-iR) \quad (17) \end{aligned}$$

Ancak,

$$F^{-1} \left\{ \frac{j_k}{k^2} h_n^{(2)}(kR) j_n(kR') \right\}$$

dönüşümü bilinmemektedir. Burada, pa\ddadaki ^2 teriminden kurtulmamız gerekiyor. Bu nedenle yeni bir diadik Green fonksiyonu tanımlarız ve bunu çözmeye çalışırız.

$$\bar{K} \wedge \bar{R} \wedge k_o = -k_o^2 f_{e, (R, \bar{R}'; k_o)} \quad (18)$$

Bu tanıma göre örneğin. (2) denkleminin elektrik alan için boşluktaki çözümü şöyledir:

$$\bar{E}(\bar{R}, t) = \mu_0 \int_{t'=-\infty}^{\infty} \int_{V'} \bar{K}_0(\bar{R}, \bar{R}'; t-T) \cdot p(\bar{R}', T) dT dv' \quad (19)$$

Burada

$$\bar{\rho}(\bar{R}, t) = \frac{1}{2} \text{sgn}(t) \otimes \mathcal{J}(\bar{R}, t) \quad (20)$$

olarak tanımlanmıştır, ve \bar{J} elektrik akım kaynağıdır.

(15) denklemini $(-k_c^2)$ ile çarpıp ters Fourier dönüşümünü aldığımızda $|\bar{R}| > |\bar{R}'|$ için zaman uzamı diadik Green fonksiyonu ifadesini buluruz:

$$\begin{aligned} \bar{\kappa}_0(\bar{R}, \bar{R}'; t) &= \frac{1}{8\pi R R'} \sum_{n=0}^{\infty} \frac{(2n+1)}{n(n+1)} (-1)^n \left\{ \left[-\frac{d^2}{dt^2} \right. \right. \\ & U_n(R, t-R) \otimes \left[P_n\left(\frac{t}{R}\right) P_n\left(\frac{t}{R'}\right) \right] \sum_{p=e,o} \sum_{m=0}^n \varepsilon_m \frac{(n-m)!}{(n+m)!} \\ & \bar{m}_q(\theta, \phi) \bar{m}_q(\theta', \phi') \left. \right] + \left[\frac{1}{R R'} U_n(R, t-R) \otimes \right. \\ & \left. \left[P_n\left(\frac{t}{R}\right) P_n\left(\frac{t}{R'}\right) \right] \sum_{p=e,o} \sum_{m=0}^n \varepsilon_m \frac{(n-m)!}{(n+m)!} \bar{l}_q(\theta, \phi) \right. \\ & \left. \bar{l}_q(\theta', \phi') \right] + \left[\frac{1}{R} U_n(R, t-R) \otimes \frac{d}{dR'} \right. \\ & \left. \left[P_n\left(\frac{t}{R'}\right) P_n\left(\frac{t}{R'}\right) \right] \sum_{p=e,o} \sum_{m=0}^n \varepsilon_m \frac{(n-m)!}{(n+m)!} \bar{l}_q(\theta, \phi) \right. \\ & \left. \bar{n}_q(\theta', \phi') \right] + \left[\frac{1}{T' I R} (U_n(R, t-R)) \otimes \right. \\ & \left. \left[\mathbf{i} \wedge \mathbf{H} \wedge \right] \sum_{p=e,o} \sum_{m=0}^n \varepsilon_m \frac{(n-m)!}{(n+m)!} \bar{n}_q(\theta, \phi) \right. \\ & \left. \bar{l}_q(\theta', \phi') \right] + \left[\frac{d}{dK} (U_n(R, t-R)) \otimes \right. \\ & \left. \frac{d}{dR'} \left[P_n\left(\frac{t}{R'}\right) P_n\left(\frac{t}{R'}\right) \right] \sum_{p=e,o} \sum_{m=0}^n \varepsilon_m \frac{(n-m)!}{(n+m)!} \bar{n}_q(\theta, \phi) \right. \\ & \left. \bar{n}_q(\theta', \phi') \right] \left. \right\} \quad (21) \end{aligned}$$

Benzer işlemler sonucunda $|\bar{R}'| < |\bar{R}|$ için de zaman uzamı diadik Green fonksiyonu ifadesini buluruz:

$$\bar{\kappa}_0(\bar{R}, \bar{R}'; t) = \frac{1}{8\pi R R'} \sum_{n=0}^{\infty} \frac{(2n+1)}{n(n+1)} (-1)^n \left\{ \left[-\frac{d^2}{dt^2} \right. \right.$$

$$\begin{aligned} & U_n(R', t-R') \otimes \left[\mathbf{i} \wedge \mathbf{K} \wedge \right] \sum_{p=e,o} \sum_{m=0}^n \varepsilon_m \frac{(n-m)!}{(n+m)!} \\ & \left. \left[P_n\left(\frac{t}{R}\right) P_n\left(\frac{t}{R'}\right) \right] \sum_{p=e,o} \sum_{m=0}^n \varepsilon_m \frac{(n-m)!}{(n+m)!} \bar{l}_q(\theta, \phi) \right. \right. \\ & \left. \left. \bar{l}_q(\theta', \phi') \right] + \left[\frac{1}{R R'} U_n(R', t-R') \otimes \right. \right. \\ & \left. \left. \left[P_n\left(\frac{t}{R}\right) P_n\left(\frac{t}{R}\right) \right] \sum_{p=e,o} \sum_{m=0}^n \varepsilon_m \frac{(n-m)!}{(n+m)!} \bar{l}_q(\theta, \phi) \right. \right. \\ & \left. \left. \bar{n}_q(\theta', \phi') \right] + \left[\frac{1}{R'} U_n(R', t-R') \otimes \frac{d}{dR} \right. \right. \\ & \left. \left. \left[P_n\left(\frac{t}{R}\right) P_n\left(\frac{t}{R}\right) \right] \sum_{p=e,o} \sum_{m=0}^n \varepsilon_m \frac{(n-m)!}{(n+m)!} \bar{l}_q(\theta, \phi) \right. \right. \\ & \left. \left. \bar{l}_q(\theta', \phi') \right] + \left[\frac{d}{dR'} (U_n(R', t-R')) \otimes \right. \right. \\ & \left. \left. \frac{d}{dR} \left[P_n\left(\frac{t}{R}\right) P_n\left(\frac{t}{R}\right) \right] \sum_{p=e,o} \sum_{m=0}^n \varepsilon_m \frac{(n-m)!}{(n+m)!} \bar{n}_q(\theta, \phi) \right. \right. \\ & \left. \left. \bar{n}_q(\theta', \phi') \right] \right\} \quad (22) \end{aligned}$$

4. MÜKEMMEL İLETKEN BİR KÜREDEN SAÇILIM
Bu bölümde, yukarıda verilen ifadelerin bir uygulaması ve testi olarak, mükemmel iletken bir küreden saçılım ele alınacaktır. (22) denkleminin formundan esinlenerek a yançaplı mükemmel iletken bir küreye gelen vektörel dalgayı,

$$\begin{aligned} \bar{E}'(\bar{R}, t) &= \mathcal{L} d_m \wedge \mathbf{i} \wedge \mathbf{K} \wedge \otimes \left[P_n\left(\frac{t}{R}\right) P_n\left(\frac{t}{R}\right) \right] \\ \bar{m}_q(\theta, \phi) &= \frac{1}{R^2} h_q(t) \otimes \left[P_n\left(\frac{t}{R}\right) P_n\left(\frac{t}{R}\right) \right] \bar{l}_q(\theta, \phi) \\ &- \frac{1}{R} h_q(t) \otimes \frac{d}{dR} \left[P_n\left(\frac{t}{R}\right) P_n\left(\frac{t}{R}\right) \right] \bar{n}_q(\theta, \phi) \quad (23) \end{aligned}$$

şeklinde yazabiliriz. Burada

$$j_{r,m} = -\frac{(-1)^n (2n+1) n(n-m)!}{\% / m(n+1) (n+m)!} \varepsilon_m \quad (24)$$

dır. Bilinen bir gelen yığın \bar{E}' için U_n ve h_q bilinmektedir. Özel olarak pozitif r ekseninden gelen polarizasyonu x önünde olan bir darbe Jüzlem dalga için

$$\begin{aligned} \bar{E}'(\bar{R}, t) &= \hat{a}_x \delta(t+z) \\ &= \sum_{n=1}^{\infty} a_{on1}(t) \otimes \left[P_n \left(\frac{t}{R} \right) p \left(\frac{t}{R} \right) \right] \bar{m}_{on1}(\theta, \phi) \\ &+ \frac{1}{R} b_{on1}(t) \otimes \left[P_n \left(\frac{t}{R} \right) p \left(\frac{t}{R} \right) \right] \bar{l}_{on1}(\theta, \phi) \\ &+ b_{on1}(t) \otimes \frac{d}{dR} \left[P_n \left(\frac{t}{R} \right) p \left(\frac{t}{R} \right) \right] \bar{n}_{on1}(\theta, \phi) \end{aligned} \quad (25)$$

$$a_{on1}(t) = -(-1)^n \frac{1}{2R} \frac{2n+1}{n(n+1)} \delta(t) \quad (26)$$

$$b_{on1}(t) = -(-1)^n \frac{1}{4R} \frac{2n+1}{n(n+1)} \text{sgn}(t) \quad (27)$$

yazabiliriz. Bu gelen dalga için, (21)'deki ifadeden esinlenerek, saçılan alanı da

$$\begin{aligned} \bar{E}^s(\bar{R}, t) &= -\text{Ivr.} \frac{\infty}{2Rt} \hat{a}_x (-1)^n \frac{2n+1}{n(n+1)} \left\{ c_{on1}(t) \otimes \right. \\ &\left[P_n \left(\frac{t}{a} \right) p \left(\frac{t}{a} \right) \right] \otimes U_n(R, t-R) \bar{m}_{on1}(\theta, \phi) + \frac{1}{2R} d_{on1}(t) \\ &\otimes \text{sgn}(0) \otimes \left[P_n \left(\frac{t}{a} \right) p \left(\frac{t}{a} \right) \right] \otimes U_n(R, t-R) \bar{l}_{on1}(\theta, \phi) \\ &+ \frac{1}{2} \langle \dots \rangle \otimes \text{sgn}(0) \otimes \left[\frac{d}{dR'} \left[P_n \left(\frac{t}{R'} \right) p \left(\frac{t}{R'} \right) \right] \right] \otimes \\ &\left. \frac{d}{dR} (U_n(R, t-R) \bar{n}_{on1}(\theta, \phi)) \right\} \end{aligned} \quad (28)$$

yazarız. $c_{on1}(t)$ ve $d_{on1}(t)$ 'i bulmak için kürenin yüzeyinde sınır koşulunu, yani

$$\left(\bar{E}_t^s + \bar{E}_t^i \right) \Big|_{r=a} = 0 \quad (29)$$

uygulanır. Burada t endeksi küreye teğet bileşenler anlamındadır. Çözmemiz gereken denklemler

$$c_{on1}(t) \otimes U_n(a, t-a) = -\delta(t) \quad (30)$$

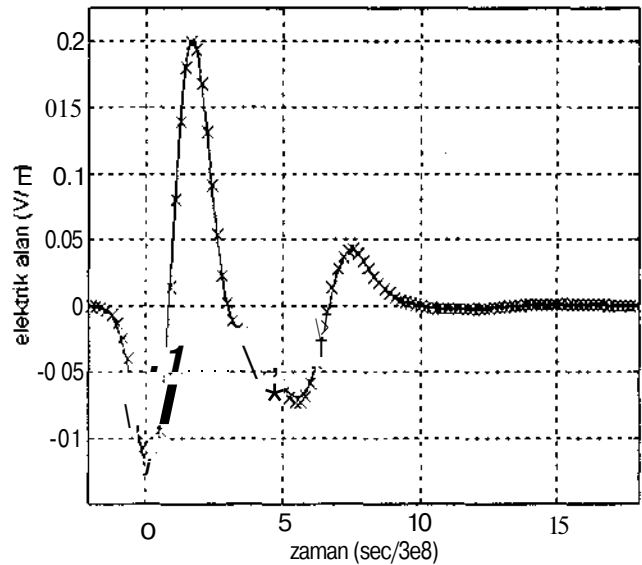
$$d_{on1}(t) \otimes \left[\frac{d}{dR} - \{jR, t-R\} \right]_{R=a} = -6(t) \quad (31)$$

dir. (iömlüğü gibi (21) ve (22)'deki açılımların ortogonal fonksiyonlu bir cinsinden olması, (29)'daki iki toplamın eşitliğini terim-terim eşitlik halinde yazmamıza elverdi. (30) ve (31)'deki denklemler doğrudan ters katlanma yöntemiyle ya da sistem tanımlama yöntemiyle çözülebilir. $c_{on1}(t)$ (0'ın A'ya 1(O) bulduktan sonra da 1'te yerine konarak saçılan alan bulunur.

Şu örnek bu örnek olarak $a=1$ yarıçaplı mükemmel iletken bir kürenin gelen bir düzlem dalgayı nasıl saçtığına bakalım. (gelen dalga \hat{a}_x eksenli yönünden gelsin ve sinyal biçimi

(dalganın zamana bağımlılığı, vwaveform) $e^{-j\omega t}$ ile veriler Gaussian bir dalganın zamana göre türevi yani,

$\delta(t)$ olsun. Bu dalganın süresi yaklaşık 6'dır. Fiziksel olarak saçıcı küre \hat{a}_x yönündedir ve gelen dalganın süresi yaklaşık olarak 20 nanosaniyedir. Gelen dalga, eğer yayılma hızı boşluktaki ışık hızına eşitse, $t=0$ anında xy düzleminin etrafında antisimetrik olarak 6 metrelik bir bölgeyi işgal etmektedir. Saçılan alanı bulmak için yapmamız gereken yalnızca (28) ifadesini Gaussian sinyalin türevi ile katlamaktan ibarettir. Şekilde $x=0$, $y=0$ ve $z=+3$ noktasındaki saçılan alan (sadece x bileşeni vardır) zamana karşı verilmiştir. Kesiksiz çizgi, yukarıda belirtilen doğrudan ters katlanma yöntemiyle, X işaretleri ise iyi bilinen frekans uzamı çözümünün ters Fourier dönüşümünün FFT yöntemiyle alınmasıyla bulunmuştur. Her iki çözümde de açılımlardan sadece 4 terim kullanarak bulunmuştur. Nümerik deneylerimizde gördük ki, skalar durumda olduğu gibi, [1],[2], saçıcı kürenin boyutu, gelen dalganın sinyal biçimindeki en yüksek frekans bileşenindeki dalga boyuna göre küçük olduğunda, çözüm hızlıca yakınsamaktadır.



Şekil: Gaussian sinyalin türevi biçimli bir düzlem dalganın yarattığı, geri-saçılım (backscatter) yönünde, $R=3$ uzaklığında saçılan alan - zamana karşı. Saçan küre $a=1$ yarıçaplı. Düz çizgi zaman uzamı, X frekans uzamı.

5. KAYNAKÇA

[1] Büyükdura, O. M. ve Koç, S. S. , "Zaman Uzamında Boşluk Green Fonksiyonunun Küresel Dalga Fonksiyonları İle Açılımı İçin İki İfade", *TMMOB Elektrik Mühendisleri Odası Elektrik-Elektronik Bilgisayar Mühendisliği 7. Ulusal Konuştu-şu*, Cilt 1. Sayfa 276-279, Ankara. 1997.

[2] Büyükdura, O. M. and Koç, S. S. . "Two alternative expressions for the spherical wave expansion of the time domain scalar free-space Green's function and an application: scattering by a soft sphere", *Jour. Acoust. Soc.Amer.*, Vol. 101, pp 87-91. 1997.

[3] Abramowitz, M. and Stegun, I. E. , *Handbook of Mathematical Functions*, Dover. New York, 1972.

SONLU FARKLAR YÖNTEMİ İLE STATİK ELEKTRİK ALAN PROBLEMLERİNİN İNCELENMESİ

Arif DOLMA - N. Erol ÖZGÜNER
Elektronik ve Haberleşme Mühendisliği Bölümü
Kocaeli Üniversitesi
41100 Kocaeli
E-mail: adolma.falkou.edu.tr
erolozg*/fkou.edu.tr

ABSTRACT

in this study, we examined electrical field with finite difference method. When we studies Electrical field , various boundary conditions can be considered. In high voltage technics and designing antenna we need to solve lots of electrical fields' problem .To design device both economical and trustable depends on electrical fields' scattehng to be known completely correct. A lot of problems about field can solve finite difference method. In this method, ali of solution zone divide rectangle grate and is written finite difference equation for each nodes and then this equation systems can solve direct or indirect.

1.GİRİŞ

Günümüz tasarımı tekniklerini etkileyen önemli bir etken sayısal bilgisayarların ortaya çıkışıyla başlayan geniş ölçüdeki hesap kolaylıklarıdır. Bu sayede Fizik ve Mühendislikte sınır değer ve ilk değer problemlerinde ortaya çıkan kısmi diferansiyel denklemlerinin yaklaşık çözümleri için çeşitli sayısal yöntemler geliştirilmiştir. Bu yöntemlerin başlıcaları şunlardır:

- Moment Yöntemi (Method of moment)
- Varyasyonel (Variotional) Yöntem
- Sınır Elemanları (Boundary Elemen) Yöntemi
- Sonlu Elemanlar (Fi nite Element) Yöntemi
- Sonlu Farklar (Fimle Difference) Yöntemi

Bu Yöntemlerin bazı ortak noktaları olduğu gibi, bazı özel duitınılarda da birbirine dönüşebilmektedir. Adı geçen yöntemlerin çoğunda, problemi karakteri/e eden diferansiyel /integral denklemi bir matıks denkleme dönüştürülebilmekle ve hu inatnks denklemin çözümü bilgisayarda Gauss Llmıııı.svonu \ s gibi direkt yöntemlerle \ada iieranı ' leknlkler-k- \apılmaktadır lw koşullu (\ell-conditioned) hır matriks denklemi elde edildiği anda çözülmüş kabul edilebilmektedir Bu yöntemlerden en fazla kullanılanı Sonlu Farklar ve Sonlu Elemanlar Yöntemidir (4).

Sonlu Farklar yöntemi, alan hesapları için bilgisayardan önce geliştirilmiş ve kullanılmıştır. Yöntemin esası çözüm bölgesinin tamamını dikdörtgen ızgaralara bölmek ve her düğüm için sonlu fark denklemini kurarak bu işlem sonucunda oluşan denklem sistemlerini iteratif ya da doğrudan yöntemlerle çözerek düğüm potansiyellerini bulmaktır. Bu yöntemde denklem takımlarının iteratif çözümü gibi hesapların bilgisayar kullanılmadan yapılmasının zor olmasına rağmen küçük modeller ilk zamanlar bilgisayarlarda da yapılabilmektedir.

Sonlu Farklar Yönteminin iki temel dezavantajı vardır. Birincisi potansiyel fonksiyonunun yüksek dereceden terimlerinin ihmal edilmesiyle ortaya çıkan kesme hatasıdır. Diğeri ise yüksek gerilimlerde karşılaşılan eğrisel sınırların şüksek bir doğrulukla ifade edilememesidir

Sonlu Farklar Yönteminde sonsuz geniş bir açık uza\ probleminin incelenmesi mümkün değildir Çözüm bölgesinin uzayda değeri bilinen sınır koşulları ile sınırlanmış sonlu bir bölge olması gerekir. Bu \iizden çözüm bölgesi açık olan bazı problemlerde ancak kısmi bir bölgenin belirli koşulları sağlayacak biçimde sınırlanmış bölge olması gerekir. Bu yüzden çözüm bölgesi açık olan bazı problemlerde ancak kısmi bir bölgenin belirli koşulları sağlayacak biçimde sınırlanmasıyla sınırlanmış bu bölge içinde alan hesabı yapılabilir.

2. SINIR KOŞULU TİPLERİ

İkinci mertebeden bir kısmi diferansiyel denklemde Laplace denklemi;

$$V_{,x} + V_{,y} = 0 \quad (1)$$

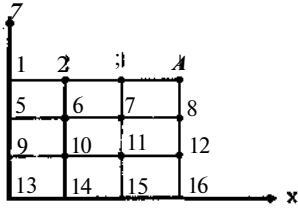
şeklinde olur. Laplace denklemi bir tanım bölgesinin sınırlarında geçerli değildir. Laplace denkleminde üç tip sınır koşulu tanımlanmıştır. Bunlar;

1) V potansiyelinin tüm değerlerinin sınırlar üzerinde serildiği durumdur. Bu sınır tipi koşuluna Dirichlei sınır koşulu denir.

2) Sınır üzerinde V'nin türev değerlerinin belirtildiği durumdur. Bu tür sınır koşuluna Neumann sınır koşulu denir.

3) Vnin sınırlar üzerinde ve türev değerlerinin belirtildiği durumların ikisinde aynı anda bulunduğu durumdur. Bu sınır koşuluna da Robbins Sınır Koşulu denir.

Şimdi bu koşullardan Dirichlet sınır koşuluna örnek verelim. Laplace Denklemi basit bir kare bölge üzerinde gösterilsin (Şekil -1)



Şekil 1. Yazılım için örnek ızgara

Bölgenin sınırlarında Dirichlet sınır koşullarının verilmesi durumu ele alınacaktır. ızgara üzerinde V_1, V_2, V_3, V_4 değerleri biliniyor. Bunlar dışındaki düğümlere ilişkin potansiyeller ise sınır koşulları ile verildiği için biliniyor. Bilinmeyen düğümlere:

$$V_{jj} = \frac{1}{4}(V_{w,j} + V_{s,j} + V_{e,j} + V_{k,j}) \quad (2)$$

uygulandığında;

$$\begin{aligned} 4V_6 &= V_5 + V_7 + V_9 + V_{10} \\ 4V_7 &= V_6 + V_8 + V_3 + V_{11} \\ 4V_{10} &= V_9 + V_{11} + V_6 + V_{14} \\ 4V_{11} &= V_7 + V_{12} + V_8 + V_{15} \end{aligned} \quad (3)$$

olur. Bu denklem sisteminde bilinen değerler bir tarafa ve bilinmeyen değerler diğer tarafta olacak şekilde düzenlenirse;

$$\begin{aligned} 4V_6 - V_5 - V_7 - V_9 - V_{10} &= V_5 - rV_5 \\ 4V_7 - V_6 - V_8 - V_3 - V_{11} &= V_3 - rV_3 \\ 4V_{10} - V_9 - V_{11} - V_6 - V_{14} &= V_6 - rV_6 \\ 4V_{11} - V_7 - V_{12} - V_8 - V_{15} &= V_8 - rV_8 \end{aligned} \quad (4)$$

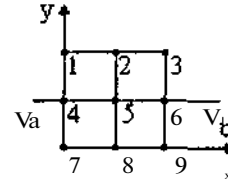
şeklini alır. Bu denklem sistemi;

$$[A] \cdot fV = [b] \quad (5)$$

şeklinde matris yazılım ile gösterilebilir. Burada

$$[A] = \begin{bmatrix} 4 & -1 & -1 & 0 \\ -1 & 4 & 0 & -1 \\ 0 & -1 & -1 & 4 \\ 0 & -1 & -1 & 4 \end{bmatrix}, [V] = \begin{bmatrix} V_6 \\ V_7 \\ V_{10} \\ V_{11} \end{bmatrix}, [b] = \begin{bmatrix} V_5 - rV_5 \\ V_3 - rV_3 \\ V_6 - rV_6 \\ V_8 - rV_8 \end{bmatrix}$$

şeklini alır. Burada b matrisi yalnız bilinen V_i değerlerini içerir. Böylece denklem sistemi yukarıda gösterilen yöntemlerle çözülebilecek duruma gelir. Bu seferde sınırlar için Neumann Sınır Koşulları verilmiş olsun.



Şekil 2. Neumann sınır koşulu örnek ızgarası

Potansiyel değeri bilinmeyen düğüme ilişkin sonlu fark bağıntısı yazıldığında çözüme ulaşılabilmemesi için ızgara dışında oluşturulan ve türev sınır koşulunu kullanarak fark denkleminin yazıldığı V_a ve V_b noktalarından yararlanılır. Bu:

$$\begin{aligned} 4V_5 &= V_4 + V_6 + V_7 + V_8 \\ 4V_4 &= V_a + V_5 + V_7 + V_8 \\ 4V_6 &= V_5 + V_6 + V_7 + V_9 \end{aligned} \quad (6)$$

anlamına gelir. Bu denklemlerde V_a ve V_b yerine lüres koşulu kullanılarak, bu noktalara ilişkin fark denklemleri yazılırsa, sonuçta bu denklemlerden;

$$\begin{aligned} V_a &= V_5 \\ V_b &= V_5 \end{aligned} \quad (7)$$

bulunur. Bu denklemler yerine konulup düzenlenirse.

$$\begin{aligned} 4V_5 - V_4 - V_6 - V_7 - V_8 &= V_5 - rV_5 \\ 4V_5 - 2V_7 - V_8 &= V_5 + rV_7 \\ 4V_5 - 2V_9 - V_6 &= V_5 + rV_9 \end{aligned} \quad (8)$$

Bu da çeşitli yöntemlerle elde edilir.

2.1. Düzensiz Bölgelerde Sonlu Fark Yazılımı

Buraya kadar ızgara aralıklarının eşit olduğu durumu ele alındı. ızgara aralıklarının farklı olduğu fark bağıntısını incelerken her bir uzunluk birim uzunluk olan h ile orantılı M/h ile gösterilir.

Sınır noktaları ızgara üzerine denk gelmediği zaman sınır noktalarına komşu noktalar ve dikdörtgen gözlerden oluşan ızgara noktaları için kullanılır. Bu işlemlerde bazı zorluklara neden olursa da hatanın küçük olması için çoğunlukla ancak bu şekilde ulaşılır. Düzensiz bölgelerdeki ızgara noktalarına ilişkin sınır koşulları Neumann sınır koşulu olursa işlemler daha da karmaşık duruma gelebilir.

2.2. Laplace Denklemi Üç Boyutlu Sonlu Fark Yazılımı

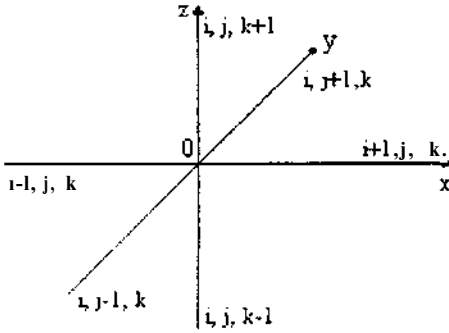
Sonlu Fark Yöntemi yıllardır başarılı bir şekilde iki boyutlu elektrosiyatik alan problemlerine uygulanmaktadır. Bununla birlikte üç boyutlu uygulamalarda bazı zorluklarla karşılaşmaktadır. Üç boyutlu uygulamalarda

50.50.50. = 125000 düğüm kullanmak uygun olur. Kartezyen koordinatlarda üç boyutlu Laplace Denklemi

$$\frac{\partial^2 V}{\partial x^2} + \frac{\partial^2 V}{\partial y^2} + \frac{\partial^2 V}{\partial z^2} = -\frac{\rho}{\epsilon_0} \quad (10)$$

şeklinde yazılabilir.

Şekildeki x, y, z yönlerine ilişkin indisler sırasıyla i, j, k ile gösterilebilir.



Şekil 3. Üç boyutlu durumda düğüm gösterimi

Laplace denkleminin fark denklemi şeklinde yazılması iki boyutlu durumdakine benzer şekilde yapılır, tki düğüm arasındaki uzaklığın h olarak alınması durumunda gerekli düzenlemeler yapılırsa;

$$V_{i,j,k} = \frac{1}{6} [V_{i-1,j,k} + V_{i+1,j,k} + V_{i,j-1,k} + V_{i,j+1,k} + V_{i,j,k-1} + V_{i,j,k+1}] \quad (11)$$

şeklini alır. Bu denklemlerden de görüldüğü üzere üç boyutlu Sonlu Fark Yazılımında bir noktaya ilişkin potansiyel, komşusu olan altı noktanın potansiyellerinin aritmetik ortalaması ile bulunabilir.

3. SONUÇ

Sonlu Farklar Yöntemi (SFY) ile elektrik alan dağılımının bulunması üzerine yapılan bu çalışmalardan elde edilen sonuçlar şu şekilde sıralanabilir :

1) Sonlu Farklar Yöntemi kullanılarak çözülen alan hesaplamalarında yapılan ilk iş problemin çözüleceği bölgeye uygun biçimde bir ızgara oluşturulmasıdır. Dolayısıyla çözümün doğruluğu kullanılan ızgaranın gö/ boyutlarına, ızgara düzenine (düzgün yada düzgün olmayan ızgara olmasına) ve ızgara dış düğüm noktalarının sınıra uyumuna bağlıdır.

2) Sonlu Farklar Yöntemi ile alan dağılımı bulunmasında hesaplamaların yapıldığı bölgeye ilişkin sınır koşullarının verilmesi gereklidir. Aksi durumda elde edilen denklem sistemindeki bilinmeyen sayısı denklem sayısından fazla olur ve çözüme ulaşılması mümkün olmaz. Bu durumun \öntcınınin kapalı bölgeler için çözüm vermesi ilkesini zorladığından özellikle açık bölgeli problemlerin incelenmesinde problemin çözüm

bölgesini etkilemeyecek şekilde hayali ve sınır koşulu verilen sınırlarla kapatılmasını gerektirmektedir.

3) Sonlu Farklar Yöntemi'nin uygulanmasında orla\ a çıkan büyük boyutlu denklem sisteminin çıkması bilgisayar ile çözümden büyük çözüm zamanına gereksinim duyulmasına neden olur. Ancak kullanılan ızgaranın sınırlara u\ unu ve incelenen problemin simetrisi hem programlamayı kolaylaştırmakta hem de giriş verilerinin a/ almasını sağlamaktadır.

4. KAYNAKÇA

- [1] DİBEKÇİ, D.. " Elektromagnctik Alan Teorisi Ders Notları " Kocaeli Üniversitesi Müh. Fak. 19'7
- [2] CONTE, S.D.. "Elementary Numerical Analysis"
- [3] DERVİŞOĞLU, A." Mühendislikte Bilgisayarla Analiz Yöntemleri Ders Notları". 1984.
- [4] GÜNALP, N.. "Elektromagnetikte Kullanılan Sayısal Yöntemler" Çukurova Üniversitesi Yaz Okulu Ders Notu. s. 1-2. 1988.